

الله يحيى



دانشکده مهندسی معدن، نفت و ژئوفیزیک

گروه نفت و ژئوفیزیک

مدل سازی شکستگی ها به روش شبکه گسسته شکستگی در یکی از میادین
جنوب ایران

علمدار فرامرزی

اساتید راهنمای:

دکتر بهزاد تخمچی

دکتر مجید انصاری جعفری

پایان نامه ارشد برای دریافت درجه کارشناسی ارشد

در رشته اکتشاف نفت

شهریور ۱۳۹۲



مدیریت تحصیلات تکمیلی
فرم شماره (۶)

شماره: ۶۹۲، ۱۱۴۳
تاریخ: ۴۲/۷/۸
ویرایش:

با اسمه تعالیٰ

فرم صورت جلسه دفاع از پایان نامه تحصیلی دوره کارشناسی ارشد

با تأییدات خداوند متعال و با استعانت از حضرت ولی عصر (عج) نتیجه ارزیابی جلسه دفاع از پایان نامه کارشناسی ارشد خانم / آقای علمدار فرامرزی رشته مهندسی نفت گرایش اکتشاف تحت عنوان مدل سازی شکستگی ها به روش شبکه گسسته شکستگی در یکی از میدانیں جنوب ایران که در تاریخ ۱۳۹۲/۶/۲۴ با حضور هیأت محترم داوران در دانشگاه صنعتی شهرورد برگزار گردید به شرح ذیل اعلام می گردد:

مردود

دفاع مجدد

قبول (با درجه: **خوب** امتیاز ۱۷/۱)

۲- بسیار خوب (۱۸/۹۹ - ۱۸/۹۸)

۱- عالی (۲۰ - ۱۹)

۴- قابل قبول (۱۵/۹۹ - ۱۴/۹۹)

۳- خوب (۱۷/۹۹ - ۱۶/۹۹)

۵- نمره کمتر از ۱۴ غیر قابل قبول

امضاء	مرتبه علمی	نام و نام خانوادگی	عضو هیأت داوران
 	استادیار	دکتر بهزاد تخمچی دکتر مجید جعفری انصاری	۱- استادراهنما ۲- استادراهنما
 	استادیار	دکتر امین روشنده کاھو دکتر ابوالقاسم کامکار روحانی	۳- نماینده شورای تحصیلات تکمیلی
 	دانشیار	دکتر حسین میرزائی ناصرآباد	۴- استاد ممتحن
	استادیار		۵- استاد ممتحن

رئیس دانشکده:



تو نه مثل آفتابی که حضور و غیبت افتد دگران روند و آیند و تو همچنان که هستی

خالصانه و خاضعانه

تقدیم می‌گردد به سقای آب و ادب

عباس ابن علی (ع)

تشکر و سپاسگذاری

شکر شایان نثار ایزد منان که توفیق را رفیق راهم ساخت تا این پایان نامه را به پایان برسانم. از خانواده مهربانم که مرا یارای بسیار بودند، تشکر و قدردانی می‌نمایم. بی‌شک بدون حمایت این عزیزانم، پیمودن این مسیر کاری دشوار و غیرممکن بود.

از اساتید فرزانه و دلسوز، جناب آقای دکتر بهزاد تخمچی و جناب آقای دکتر مجید انصاری جعفری که در کمال سعه سدر، از هیچ کمکی در این عرصه بر من دریغ ننموده‌اند و راهنمایی این پایان نامه را بر عهده گرفتند، کمال تشکر و سپاسگذاری را دارم.

از آقایان، دکتر ابوالقاسم کامکار روحانی دانشیار دانشکده مهندسی معدن، نفت و ژئوفیزیک و دکتر حسین میرزایی نصیرآباد استادیار دانشکده مهندسی معدن، نفت و ژئوفیزیک که زحمت داوری این پایان نامه را بر عهده داشتند، کمال تشکر و قدردانی را دارم.

از کلیه دوستان مهربانم، علیرضا حیدری، مهدی افشاری، محمد جواد رحیم‌دل، محمد صادقی، محمد شیخ‌الشرعیه، مهدی رستگارنیا، محمدرحمان کمالی، اسماعیل سیفی و کلیه عزیزانی که مرا در انجام این مهم یاری رساندند تشکر می‌نمایم و از خداوند منان سلامت و سعادت ایشان را خواستارم.

باشد که این خردترین، بخشی از خدمات آنان را سپاس گویم.

چکیده

شکستگی‌های طبیعی مسیرهای پیچیده‌ای برای عبور سیال ایجاد می‌کنند که در نتیجه آن توصیف مخزن، عملکرد تولیدی مخزن و بازیافت کلی را تحت تأثیر قرار می‌دهند. مطالعه و استفاده از خصوصیات شکستگی‌ها در مخزن عامل مهمی برای بهینه کردن عملکرد مخزن است. هدف از این مطالعه، چگونگی جمع‌آوری اطلاعات مورد نیاز از منابع مختلف استاتیکی و دینامیکی، آنالیز این اطلاعات و در نهایت ساختن مدل‌های شکستگی‌ها است. مطالعه حاضر بر روی یکی از میدان‌کاری‌های سنگ‌آهک، دولومیت، آنیدریت و شیل در لایه‌های مخزنی، سازندهای کنگان و دلان است. از روش شبیه‌سازی تصادفی شبکه گسسته شکستگی در این پایان‌نامه جهت استخراج مدل سه‌بعدی شکستگی‌ها استفاده شده است. جهت استخراج ورودی‌های لازم در فرآیند مدلسازی شکستگی‌ها با استفاده از این روش لازم است تا آنالیزهای ضروری بر روی شکستگی‌ها انجام گیرد. این آنالیزها شامل، محاسبه شدت شکستگی در چاه‌ها، بازشدگی شکستگی‌ها، آنالیز جهت‌گیری شکستگی‌ها، دسته بندی شکستگی‌ها در قالب دسته شکستگی‌ها و آنالیز جهت‌گیری این دسته‌ها، محاسبه لاغ چگالی در هر یک از چاه‌ها، محاسبه چگالی شکستگی‌ها در هر یک از رخساره‌های سنگی و همچنین مطالعه تأثیر هر یک از رخساره‌ها در ایجاد شکستگی‌هاست. در این مطالعه از نتایج تفسیر نمودارهای تصویری (*FMI*) در سه چاه *A*، *B* و *C* که به ترتیب در بازه‌های ۲۱۸۲ تا ۳۲۹۷، ۲۷۳۱ تا ۳۲۲۶ متری و ۲۸۳۶ تا ۳۲۸۶ متری از این چاه‌ها نمودارگیری شده، استفاده شده است. همچنین از داده‌های دینامیکی شامل اطلاعات نمودارهای تولید و همچنین بازه‌های مشبک‌کاری در چهار چاه، *D*، *E*، *F* و *G* جهت انجام آنالیزهای دینامیکی شکستگی‌ها استفاده گردیده است. بر اساس آنالیزهای انجام گرفته شدت شکستگی در چاه‌های *A*، *B* و *C* به ترتیب برابر با $(I/m)^{0.22}$ ، $(I/m)^{0.29}$ و $(I/m)^{0.40}$ است. دهانه شکستگی‌ها نیز در هر یک از چاه‌ها محاسبه گردیده و مقدار میانگین آن در سه چاه

A و B و C به ترتیب عبارتند از: (cm) $٠/٠٢$ ، (cm) $٠/٠١$ و (cm) $٢/٣$. به طور کلی شکستگی‌ها در هر سه چاه دارای جهت‌گیری‌های مختلف با امتداد (جهت شیب) و شیب متفاوت هستند. شیب میانگین شکستگی‌های باز در چاه A ، ٦٠ درجه با روند امتداد غالب در $N35E$ است. در چاه B دارای شیب میانگین ٦٥ درجه و روند امتداد غالب $N20E$ و در چاه C شکستگی‌های باز طبیعی دارای شیب میانگین ٦٥ درجه و دو روند غالب در امتداد $N35W$ و $N35E$ هستند. به منظور دسته‌بندی شکستگی‌ها، جهت‌گیری کل شکستگی‌ها در سه چاه به طور همزمان مورد آنالیز قرار گرفته و شکستگی‌ها در سه دسته شکستگی گروه-بندی شده‌اند. چگالی شکستگی محاسبه شده در سه چاه A ، B و C به ترتیب عبارتند از (I/m) ٤١٧ ، (I/m) ٥١٩ و (I/m) ٣٤٧ . همچنین چگالی شکستگی محاسبه شده در رخساره‌های سنگ‌آهک، دولومیت و انیدریت به ترتیب برابر با (I/m) ٦٢٩ ، (I/m) ٤٥٧ و (I/m) ١٢٧ و برای شیل صفر محاسبه شده است. از داده‌های دینامیکی و آنالیز آنها نیز جهت تأیید آنالیزهای شکستگی استفاده گردیده است. به طور کلی، لایه‌هایی که بیشترین سهم مشارکتی در تولید را دارا هستند، دارای تعداد شکستگی بیشتری نیز بر اساس آنالیزهای شکستگی هستند. این نتیجه نشان‌دهنده توزیع شکستگی‌ها در کل مخزن و بخصوص در این لایه‌های مخزنی است. در نهایت نیز براساس میانگین اطلاعات استخراجی در هر یک از چاهها و دسته شکستگی‌ها، مدل‌های سه‌بعدی شکستگی‌ها به روش شبکه گسسته شکستگی ساخته شده است.

کلمات کلیدی: مخازن شکافدار طبیعی، شبکه گسسته شکستگی، دهانه شکستگی، چگالی شکستگی، دسته شکستگی

تعهد نامه

اینجانب علمدار فرامرزی دانشجوی دوره کارشناسی ارشد رشته مهندسی نفت دانشکده معدن، نفت و ژئوفیزیک دانشگاه صنعتی شاهرود نویسنده پایان نامه: مدل سازی شکستگی‌ها به روش شبکه گسسته شکستگی در یکی از میادین جنوب ایران تحت راهنمایی آقایان دکتر بهزاد تخمچی و دکتر مجید انصاری جعفری متعهد می‌شوم.

- تحقيقات در این پایان نامه توسط اینجانب انجام شده است و از صحت و اصالت برخوردار است.
- در استفاده از نتایج پژوهش‌های محققان دیگر به مرتع مورد استفاده استناد شده است.
- مطلوب مندرج در پایان نامه تاکنون توسط خود یا فرد دیگری برای دریافت هیچ نوع مدرک یا امتیازی در هیچ جا ارائه نشده است.
- کلیه حقوق معنوی این اثر متعلق به دانشگاه صنعتی شاهرود می‌باشد و مقالات مستخرج با نام «دانشگاه صنعتی شاهرود» و یا «Shahrood University of Technology» به چاپ خواهد رسید.
- حقوق معنوی تمام افرادی که در به دست آمدن نتایج اصلی پایان نامه تأثیرگذار بوده اند در مقالات مستخرج از پایان نامه رعایت می‌گردد.
- در کلیه مراحل انجام این پایان نامه، در مواردی که از موجود زنده (یا باقیهای آنها) استفاده شده است ضوابط و اصول اخلاقی رعایت شده است.
- در کلیه مراحل انجام این پایان نامه، در مواردی که به حوزه اطلاعات شخصی افراد دسترسی یافته یا استفاده شده است اصل رازداری، ضوابط و اصول اخلاق انسانی رعایت شده است

تاریخ

امضای دانشجو

مالکیت نتایج و حق نشر

- کلیه حقوق معنوی این اثر و محصولات آن (مقالات مستخرج، کتاب، برنامه‌های رایانه‌ای، نرم افزارها و تجهیزات ساخته شده است) متعلق به دانشگاه صنعتی شاهرود می‌باشد. این مطلب باید به نحو مقتضی در تولیدات علمی مربوطه ذکر شود.

لیست مقالات مستخرج از پایان نامه:

۱- علمدار فرامرزی، بهزاد تخمچی، مجید انصاری جعفری "آنالیز شکستگی‌ها و تنش‌های برجا با استفاده از لگ‌های تصویری در یکی از میادین جنوب ایران" دومین کنفرانس مهندسی مخازن هیدرولکربوری، اردیبهشت ماه ۱۳۹۲

فهرست مطالب

صفحه

۱.....	فصل اول: کلیات.....
۲.....	۱-۱ مقدمه
۴.....	۲-۱ اهمیت شناسایی شبکه شکستگی ها
۵.....	۳-۱ اهمیت مدل های جامع شبکه گسسته شکستگی ها
۵.....	۴-۱ اهداف مطالعه
۷.....	۵-۱ مطالعات و کارهای قبلی
۷.....	۱-۵-۱ مدلسازی شبکه گسسته شکستگی
۱۳.....	۶-۱ ساختار پایان نامه
۱۴.....	فصل دوم: مبانی شکستگی ها و روش شناسی تحقیق
۱۵.....	۱-۲ مقدمه
۱۵.....	۲-۲ اطلاعات پایه ای درباره شکستگی ها
۱۵.....	۱-۲-۲ تعریف شکستگی
۱۶.....	۲-۲-۲ دسته بندی شکستگی ها
۱۸.....	۱-۲-۲-۲ شکستگی های رسانا
۱۹.....	۲-۲-۲-۲ شکستگی های مقاوم
۱۹.....	۳-۲-۲-۲ شکستگی های القایی حفاری
۲۱.....	۴-۲-۲-۲ شکستگی های ریزش دیواره چاه
۲۲.....	۳-۲-۲ گسل
۲۳.....	۴-۲-۲ تعریف شکستگی های مؤثر
۲۴.....	۱-۴-۲-۲ لاغ های تصویری
۲۵.....	۲-۴-۲-۲ تحلیل مغزه

۲۶	۳-۴-۲-۲ لاغ فتوالکتریک
۲۷	۴-۴-۲-۲ امواج استونلی
۲۷	۵-۴-۲-۲ لاغ کالیپر
۲۸	۶-۴-۲-۲ لاغ‌های تولید
۲۸	۷-۴-۲-۲ لاغ دما
۲۸	۸-۴-۲-۲ اطلاعات حفاری
۲۹	۳-۲ مفهوم شبکه گسسته شکستگی
۳۰	۱-۳-۲ موقعیت قرارگیری شکستگی‌ها
۳۰	۲-۳-۲ جهت‌گیری شکستگی‌ها
۳۱	۳-۳-۲ طول خط اثر شکستگی‌ها
۳۱	۴-۳-۲ بازشدنگی شکستگی‌ها
۳۲	۴-۲ کاربرد مدل شبکه گسسته شکستگی
۳۳	۵-۲ روش‌شناسی مورد استفاده در مطالعه مخازن شکافدار
۳۷	۶-۲ جمع‌بندی و نتیجه‌گیری
۳۸	فصل سوم: زمین‌شناسی میدان مورد مطالعه و تحلیل آماری شکستگی‌های موجود
۳۹	۱-۳ مقدمه
۳۹	۲-۳ ناحیه مورد مطالعه
۴۰	۱-۲-۳ موقعیت جغرافیایی میدان
۴۱	۲-۲-۳ تاریخچه حفاری میدان
۴۲	۳-۲-۳ ساختار میدان مورد مطالعه
۴۵	۱-۳-۲-۳ سازند کنگان
۴۶	۲-۳-۲-۳ سازند دلان
۴۹	۴-۲-۳ ساز و کار شکل‌گیری شکستگی‌های طبیعی در میدان مورد مطالعه

۵۱ موقعیت چاههای مورد مطالعه در میدان ۳-۳
۵۲ تحلیل آماری داده‌های شکستگی ۴-۳
۵۲ ۱-۴-۳ چاه A
۵۲ ۱-۱-۴-۳ لایه‌بندی
۵۴ ۲-۱-۴-۳ شکستگی‌ها
۵۹ ۳-۱-۴-۳ گسل
۶۱ ۲-۴-۳ چاه B
۶۱ ۱-۲-۴-۳ لایه‌بندی
۶۱ ۲-۲-۴-۳ شکستگی‌ها
۶۴ ۳-۴-۳ چاه C
۶۴ ۱-۳-۴-۳ لایه‌بندی
۶۴ ۲-۳-۴-۳ شکستگی‌ها
۶۷ ۵-۳ جمع‌بندی و نتیجه‌گیری
۶۸ فصل چهارم؛ مدل‌سازی شبکه گسسته شکستگی‌ها
۶۹ ۱-۴ مقدمه
۶۹ ۲-۴ تعریف رخساره‌های سنگی
۷۳ ۳-۴ آنالیز شکستگی‌ها
۷۴ ۱-۳-۴ شدت شکستگی
۷۶ ۲-۳-۴ دهانه شکستگی‌ها
۷۹ ۳-۳-۴ چگالی شکستگی‌ها
۸۶ ۴-۳-۴ جهت‌گیری شکستگی‌ها
۹۳ ۵-۳-۴ دسته‌بندی شکستگی‌ها
۹۷ ۶-۳-۴ اندازه و شکل شکستگی‌ها

۱۰۰	۴-۴ ساخت ناحیه مورد نظر
۱۰۲	۴-۵ ساختن مدل‌های شبکه گسسته شکستگی
۱۰۳	۴-۵-۱ فرآیند تصادفی
۱۰۳	۴-۵-۲ شرطی سازی فرآیندهای تصادفی
۱۰۸	۴-۶ آنالیز دینامیکی شکستگی‌ها
۱۰۸	۴-۶-۱ هدف از آنالیزهای دینامیکی
۱۰۹	۴-۶-۲ آنالیزهای انجام شده بر روی چاههای مورد مطالعه
۱۱۶	۴-۷ جمع‌بندی و نتیجه‌گیری
۱۱۷	فصل پنجم: نتیجه‌گیری و پیشنهادات
۱۱۷	۱-۵ نتیجه‌گیری
۱۲۰	۲-۵ پیشنهادات
۱۲۲	منابع

فهرست شکل‌ها

صفحه

شکل ۱-۱ الف) مدل دیسکی بیچر ب) مدل ونژیانو ج) مدل درشوویتز ۱۰	۱۰
شکل ۱-۲ مورفولوژی شکستگی‌ها ۱۷	۱۷
شکل ۲-۲ نمایش شکستگی‌های القایی و ریزش دیواره و استرس‌های بیشینه و کمینه در گمانه ۲۱	۲۱
شکل ۳-۲ داده‌های مورد استفاده در نرم‌افزار ۳۴	۳۴
شکل ۱-۳ موقعیت جغرافیایی میدان مورد مطالعه و گندب شمالي واقع در خلیج فارس ۴۱	۴۱
شکل ۲-۳ کمان قطر-فارس، حوضه‌های نمکی پرکامبرین در منطقه خلیج فارس و موقعیت گسل‌های پی‌سنگی با امتداد شمال-شرق در خاورمیانه و پیرامون میدان گازی ۴۳	۴۳
شکل ۳-۳ طبقه‌بندی ارائه شده برای واحدهای سنگی پرموتریاس ۴۴	۴۴
شکل ۴-۳ چینه‌شناسی میدان مورد مطالعه ۴۸	۴۸
شکل ۵-۳ مدل مفهومی پیدایش سری‌های مختلف شکستگی در سازنده‌های ۵۰	۵۰
شکل ۶-۳ موقعیت مکانی چاه‌های مورد مطالعه بر روی نقشه افق لرزه‌ای در بلوک انتخابی ۵۱	۵۱
شکل ۷-۳ نمودار گل‌سرخی (الف) و قطبی (ب) لایه‌بندی در چاه A ۵۳	۵۳
شکل ۸-۳ تغییرات شیب لایه‌بندی در چاه A ۵۳	۵۳
شکل ۹-۳ شکستگی‌های رسانا (پیکان آبی رنگ با تدپل دایره‌ای)، شکستگی‌های محتمل باز (پیکان آبی رنگ با تدپل منفی). ۵۵	۵۵
شکل ۱۰-۳ اطلاعات مربوط به جهت شیب و امتداد شکستگی‌ها در کل فاصله نمودارگیری شده در چاه A ۵۶	۵۶
شکل ۱۱-۳ شکستگی‌های باز متفرقه (پیکان‌های آبی رنگ با تدپل مثلثی)، شکستگی‌های مقاوم (پیکان‌های آبی آسمانی رنگ با تدپل دایره‌ای). ۵۷	۵۷
شکل ۱۲-۳ نمودار گل‌سرخی (الف) و قطبی (ب) شکستگی‌های القایی در چاه A ۵۹	۵۹
شکل ۱۳-۳ گسل شناسایی شده در چاه A (پیکان صورتی با تدپل مربعی). ۶۰	۶۰
شکل ۱۴-۳ نمودار قطبی (الف) و گل‌سرخی (ب) انواع شکستگی‌های طبیعی باز در چاه B ۶۲	۶۲
شکل ۱۵-۳ نمودار گل‌سرخی (الف) و قطبی (ب) شکستگی‌های القایی در چاه B ۶۳	۶۳

۶۳	شکل ۱۶-۳ تغییرات شیب شکستگی‌های القایی در چاه B
۶۵	شکل ۱۷-۳ نمودار گل سرخی (الف) و قطبی (ب) شکستگی‌های طبیعی در چاه C
۶۶	شکل ۱۸-۳ نمودار گل سرخی (الف) و قطبی (ب) شکستگی‌های القایی در چاه C
۷۰	شکل ۱۹-۴ رخساره‌های سنگی تعریف شده به صورت الگوها و رنگ مربوطه یا هر رخساره
۷۱	شکل ۲۰-۴ نمایش سهبعدی شکستگی‌های قطع کننده چاه A و رخساره‌های آن
۷۲	شکل ۲۱-۴ نمایش سهبعدی شکستگی‌های قطع کننده چاه B و رخساره‌های آن
۷۲	شکل ۲۲-۴ نمایش سهبعدی شکستگی‌های قطعکننده چاه C و رخساره‌های آن
۷۵	شکل ۲۳-۴ نشان دادن شکستگی‌ها در طول گمانه
۷۸	شکل ۲۴-۴ شکستگی موجود در رخساره و پارامترهای تعیین دهنده شکستگی
۸۲	شکل ۲۵-۴ آنالیز چاه و نمودار چگالی محاسبه شده در چاه A
۸۳	شکل ۲۶-۴ آنالیز چاه و نمودار چگالی محاسبه شده در چاه B
۸۴	شکل ۲۷-۴ آنالیز چاه و نمودار چگالی محاسبه شده در چاه C
۸۵	شکل ۲۸-۴ تأثیر درصد فراوانی رخساره‌ها بر حسب چگالی شکستگی در ایجاد شکستگی‌ها
۸۸	شکل ۲۹-۴ نمایش جهت‌گیری شکستگی‌ها در سه چاه مورد مطالعه به روش تدپل
۸۹	شکل ۳۰-۴ نحوه قرائت مقادیر شیب و آزیموت شیب بر روی استریوودیاگرام
۹۰	شکل ۳۱-۴ نمایش شکستگی در قالب قطب مربوطه
۹۱	شکل ۳۲-۴ جهت‌گیری شکستگی‌های باز در چاه A
۹۲	شکل ۳۳-۴ جهت‌گیری شکستگی‌های باز در چاه B
۹۲	شکل ۳۴-۴ جهت‌گیری شکستگی‌های باز در چاه C
۹۴	شکل ۳۵-۴ اطلاعات جهت‌گیری دسته شکستگی‌ها
۹۵	شکل ۳۶-۴ اطلاعات جهت‌گیری دسته شکستگی N45
۹۵	شکل ۳۷-۴ اطلاعات جهت‌گیری دسته شکستگی N50
۹۶	شکل ۳۸-۴ اطلاعات جهت‌گیری دسته شکستگی N127
۹۷	شکل ۳۹-۴ مشاهده رز دیاگرام دسته شکستگی‌ها و موقعیت چاه‌ها بر روی افق لرزه‌ای ناحیه مورد مطالعه از مخزن

۹۹ شکل ۲۲-۴ مدل مربعی شکستگی در نرم افزار FRACAFLOW
۹۹ شکل ۲۳-۴ مدل بیضوی شکستگی در نرم افزار FRACAFLOW
۱۰۱ شکل ۲۴-۴ ناحیه انتخاب شده (شعاعی در اطراف چاه) جهت مدلسازی
۱۰۱ شکل ۲۵-۴ ناحیه انتخاب شده (انتخاب سلولهای بین چاهها) جهت مدلسازی
۱۰۴ شکل ۲۶-۴ مدل تصادفی DFN ساخته شده در چاه B
۱۰۵ شکل ۲۷-۴ مدل تصادفی DFN ساخته شده در چاه B
۱۰۶ شکل ۲۸-۴ مدل تصادفی DFN ساخته شده در چاه B
۱۰۷ شکل ۲۹-۴ مدل DFN ساخته شده در ناحیه بین چاههای مورد مطالعه
۱۰۷ شکل ۳۰-۴ مدل DFN ساخته شده در ناحیه بین چاههای مورد مطالعه
۱۰۸ شکل ۳۱-۴ مدل DFN ساخته شده در ناحیه بین چاههای مورد مطالعه
۱۱۰ شکل ۳۲-۴ داده های دینامیکی موجود در هر چاه جهت انجام آنالیزهای دینامیکی
۱۱۲ شکل ۳۳-۴ نمودارهای دینامیکی در چاه D
۱۱۳ شکل ۳۴-۴ نمودارهای دینامیکی در چاه E
۱۱۴ شکل ۳۵-۴ نمودارهای دینامیکی در چاه F
۱۱۵ شکل ۳۶-۴ نمودارهای دینامیکی در چاه G

فهرست جداول

صفحه

جدول ۱-۲ نشانگرهای تشخیص گسل ۲۳
جدول ۱-۳ شکستگی‌های القایی شناسایی شده در چاه A ۵۸
جدول ۲-۳ نشانگرها و نشانه‌های گسل در چاه A ۶۰
جدول ۳-۳ شکستگی‌های القایی شناسایی شده در چاه A ۶۶
جدول ۴-۱ رخساره‌های سنگی تعریف شده به عنوان ورودی در مدلسازی ۷۰
جدول ۴-۲ میانگین دهانه شکستگی‌های محاسبه شده در چاه‌های مورد مطالعه ۷۸
جدول ۴-۳ روش‌های محاسبه لاغ چگالی شکستگی در FRACAFLOW ۸۰
جدول ۴-۴ اطلاعات آماری تأثیر رخساره‌ها در ایجاد شکستگی‌ها ۸۵
جدول ۴-۵ اطلاعات آماری چگالی شکستگی در چاه‌های مورد مطالعه ۸۶
جدول ۴-۶ اطلاعات آماری دسته شکستگی‌ها ۹۳
جدول ۵-۱ شدت شکستگی محاسبه شده در چاه‌های مورد مطالعه ۱۱۸
جدول ۵-۲ اطلاعات آماری چگالی شکستگی در چاه‌های مورد مطالعه ۱۱۹
جدول ۵-۳ اطلاعات آماری تأثیر رخساره‌ها در ایجاد شکستگی‌ها ۱۱۹

١ فصل اول

كلبات

۱-۱ مقدمه

شکستگی^۱‌ها ساختارهای فراغی بری هستند که در انواع متفاوت سنگ‌ها و توالی‌های تکتونیکی^۲ و در یک محدوده مقیاسی گسترده رخ می‌دهند. تراوایی^۳ این ساختارهای ناهمگون ممکن است به طور متوسط، از نظر بزرگی مقداری بالاتر یا کمتر از سنگ‌های ماتریکس اطرافشان باشد. در نتیجه، شکستگی‌ها و گسل‌ها در سنگ‌ها اجزای مهمی از مهاجرت و جریان هیدروکربن همانند به دام افتادن هیدروکربن، می‌باشند. به این دلیل، داشتن دانش و مدلسازی هندسه و خصوصیات شکستگی‌های منفرد و الگوی شکستگی، برای ارزیابی بهتر بازیافت نفت^۴ و بهینه کردن تولید از مخازن شکسته کربناته، حیاتی می‌باشد (*Vincent and Caumon, 2009*).

بسیاری از میادین هیدروکربوری در ایران نیز از نوع میادین شکافدار طبیعی هستند که دارای نرخ تولید بسیار بالا می‌باشند. تمامی مخازن، مخازن شکافدار طبیعی^۵ با یک درجه مشخص از شکستگی تلقی می‌شوند (*Aguilera, 1995*). مخزن شکافدار، مخزنی است که در آن شکستگی‌ها تراوائی مخزن را تحت تأثیر قرار داده و در نتیجه نرخ تولید و بازیافت هیدروکربور افزایش یافته است (*Narr et al., 2006*). پژوهش‌های ارزیابی شکستگی‌های طبیعی یکی از اهداف مهم در مطالعات مخزن برای زمین-شناسایی، پردازش و ارزیابی شکستگی‌های طبیعی یکی از اهداف مهم در اکتشاف و توسعه مناسب مخزن می‌باشد.

سنگ‌های کربناته دارای بافت و شبکه خلل و فرج پیچیده در نتیجه‌ی تاریخچه رسوب‌گذاری و دیاژنز آنها می‌باشند. ناهمگونی در تمامی مقیاس‌ها می‌باشند - در خلل و فرج، دانه‌های سنگ و بافت. ضریب

¹ Fractures

² Tectonic settings

³ Permeability

⁴ Oil recovery

⁵ Naturally Fracture Reservoir

بازیافت^۶ میانگین برای تمامی مخازن حدود ۳۵٪ می‌باشد. اگرچه ضریب بازیافت در مخازن ماسه‌سنگی بیشتر از مخازن کربناته می‌باشد. از دلایل آن می‌توان به ماهیت رسوب، نحوه و محیط رسوب‌گذاری و دیاژنز را نام برد که باعث تغییرات زیادی بخصوص در تخلخل و تراوایی می‌گردد. بیش از ۶۰٪ ذخایر نفت جهان و ۴۰٪ از ذخایر گاز جهان در کربناته‌ها قرار دارند. خاورمیانه دارای ۶۲٪ از ذخایر نفتی اثبات شده جهان می‌باشد و تقییماً ۷۰٪ از این مقدار در کربناته‌ها واقع است. همچنین تقریباً ۴۰٪ از ذخایر گاز تثبیت‌شده جهان در خاورمیانه قرار دارد که ۹۰٪ از این ذخایر گازی در سنگ‌های کربناته قرار دارد. (Schlumberger, 2007)

مطالعه حاضر بر روی یکی از میادین عظیم کربناته واقع در جنوب ایران انجام شده است. مخزن کربناته این میدان از چندین لایه مخزنی تشکیل گردیده است که به وسیله ویژگی‌های مخزنی متفاوت‌شان متمایز شده‌اند. مطالعه حاضر با استفاده از نتایج تفسیر نمودارهای تصویری جهت انجام آنالیزها و در نهایت مدلسازی شکستگی‌ها در چاههای مورد مطالعه این میدان، انجام گردیده است.

هدف از توصیف و مدلسازی مخازن شکسته طبیعی ساختن مدل‌های عددی از سنگ و شکستگی‌ها، آماده‌سازی داده‌های ورودی برای شبیه‌سازی واقعی و آنالیزهای شبیه‌سازی جریان سیال می‌باشد. لازمه این کار، داشتن دانش لازم و کافی از ناهمگونی‌های شکستگی‌ها و تطابق آنها در موقعیت چاه و نواحی بین چاهها می‌باشد. تعیین تراکم شکستگی‌ها، امتداد و جهت شیب آنها، میزان بازشدگی، فاصله آنها از یکدیگر، باز و بسته بودن آنها و در نهایت ارائه الگوی مناسب از شکستگی‌های مخازن، کمک فراوانی به برنامه‌ریزی‌های توسعه و تولید میادین نفتی می‌نماید (Tran, 2004).

^۶ Recovery Factor

۲-۱ اهمیت شناسایی شبکه شکستگی‌ها

شکستگی‌های طبیعی نقش قابل توجهی در جریان سیال در مخازن شکافدار طبیعی ایفا می‌کنند. از دیدگاه زمین‌شناسی، اکثر مخازن دارای تراوایی ماتریکس پایین بوده لذا شکستگی‌ها اصلی‌ترین محیط انتقال سیال به حساب می‌آیند. به طور کلی، هیدروکربورها عمدهاً در تخلخل ماتریکس تجمع یافته‌اند و از طریق گذرگاه‌های تراوا از شکستگی‌ها به سمت چاه‌های تولیدی انتقال می‌یابند. همچنین سیستم‌های شکستگی می‌توانند نقش مهمی در تخلخل سنگ و ذخیره هیدروکربور نیز داشته باشند (*Tran, 2004*).

مشکلات مهندسی زیادی به خاطر شکستگی‌ها وجود دارد. شکستگی‌ها باعث بروز مشکلاتی در ذخیره مواد سمی و زائد، در پایداری ساختمانی تونل‌ها، معادن و سدها می‌شوند (*National Research Council, 1996*). برای مثال، هرزروی گل یکی از مشکلات هزینه‌آور در حفاری مناطق شکسته با فشار کم می‌باشد. سیال حفاری از طریق شکستگی‌های متقطع هرز می‌رود و موجب افزایش زمان حفاری و تحمیل هزینه‌های اضافی به عملیات حفاری می‌گردد (*Glowka et al., 1992*).

به طور کلی، داشتن دانشی از شبکه گسسته شکستگی‌های زیرزمینی برای توسعه میادین نفتی، تولید گرما از مخازن زمین‌گرمایی و بهره‌برداری از منابع آب‌های زیرزمینی، حیاتی می‌باشد و منجر به ارزیابی دقیق از ذخایر، خطوط تولید و افزایش بازیابی می‌شود. همچنین مشکلات بالقوه مخزن نیز کاهش می‌یابد (*Tran, 2004*).

۳-۱ اهمیت مدل‌های جامع شبکه گسسته شکستگی‌ها

مدل‌های تصادفی شبکه گسسته شکستگی^۷ به عنوان جزئی از توصیف و شبیه‌سازی مخزن، برای انواع کاربردهای مخزنی حیاتی هستند.

یکی از اهداف طرح‌ریزی مخزن، تعیین مناطق با شدت شکستگی کم و زیاد است. در نتیجه، چاهه‌ای حفاری می‌توانند شکستگی‌هایی که کنترل کننده جریان سیال هستند را هدف قرار دهند. بنابراین، مدل‌های توزیع چگالی شکستگی لازم و ضروری هستند. از آنجایی که شکستگی‌های با خصوصیات مختلف (اندازه، جهت‌گیری و درجه اتصال) تأثیر متفاوتی بر جریان سیال مخزن دارند. به طوری که شکستگی‌های با اندازه بزرگتر و دهانه بازتر سیال را به طور مؤثرتری انتقال می‌دهند. در نتیجه دیگر جزئیات خواص شکستگی نیز مورد نیاز است. جهت‌گیری شکستگی‌ها کنترل کننده آبیزوتروپی مخزن و تراوایی جهتی است (Tran, 2004). به عنوان مثال، شکستگی‌های تقریباً موازی به هم‌دیگر متصل نبوده و لذا یک شبکه بهم‌پیوسته برای جریان سیال را تشکیل نمی‌دهند. در چنین مواردی، جهت افزایش بازده تولید گمانه‌های حفاری برای قطع کردن شکستگی‌ها به صورت جهت‌دار باید حفر گردند (National Research Council, 1996).

۴-۱ اهداف مطالعه

عملأً رفتار همه مخازنی که در آنها شکستگی‌ها کنترل کننده جریان سیال هستند، پیچیده است. لذا مخازن شکافدار باید به صورت مفصل مطالعه گردند. ناحیه انتخاب شده در انجام این مطالعه، ناحیه‌ای از میدان مورد مطالعه است که دارای نتایج تفسیر نمودارهای تصویری و اطلاعات دینامیک از جمله

⁷Stochastic Discrete Fracture Network Modeling

نمودارهای تولید است. ضخامت مخزنی این ناحیه که شامل چهار لایه مخزنی است، متغیر بین ۳۸۰ تا ۵۰۰ متر است.

هدف از انجام این مطالعه را می‌توان به دو بخش تقسیم نمود. بخش اول آنالیز شکستگی‌ها و بخش دوم مدلسازی شکستگی‌ها با انجام روش شبکه گسسته شکستگی^۸‌ها است. در این مطالعه از نرم‌افزار FractaFlow برای تولید شبکه گسسته شکستگی در سه بعد جهت توصیف واقعی‌تر الگوی شکستگی‌های طبیعی، استفاده شده است. با استفاده از این نرم‌افزار و ساخت مدل سه بعدی شبکه شکستگی‌ها، جنبه‌های زیادی از ناحیه مورد مطالعه ارزیابی خواهند شد که بخشی از آنها عبارتند از:

- فهم بهتر توزیع شکستگی‌ها و خواص آنها
- مطالعه جهت‌گیری شکستگی‌ها بصورت چاه به چاه
- دسته‌بندی شکستگی‌ها در قالب دسته شکستگی‌ها
- تعیین نوع شکستگی‌ها
- ارزیابی رخسارهایی که دارای بیشترین تأثیر در ایجاد شکستگی هستند.
- محاسبه لاغ چگالی شکستگی‌ها در چاهها
- ارزیابی دینامیکی نواحی شکستگی‌ها در تولید
- ساختن مدل گسسته شکستگی‌ها

⁸ Discrete Fracture Network (DFN)

۱-۵ مطالعات و کارهای قبلی

مطالعات گسترده و وسیعی در زمینه شناسایی شکستگی‌ها و مدلسازی آن انجام شده است. در این بخش تاریخچه‌ای از مدلسازی شکستگی‌ها به روش شبکه گسسته شکستگی و برخی از کارهای انجام شده در این زمینه آورده شده است.

۱-۵-۱ مدلسازی شبکه گسسته شکستگی

براساس گیلمن (Gilman, 2003) معمولاً از سه روش برای توصیف جریان سیال در مخازن شکافدار طبیعی استفاده می‌شود. اولین روش توسط مدل تخلخل دوگانه-تراوایی یگانه^۹ ارائه شده است که در آن بلوک‌های ماتریکس فقط از طریق شبکه‌های شکستگی متصل هستند. در این مدل بیشتر ذخایر سیال در ماتریکس قرار دارد که دارای تخلخل بسیار بیشتری نسبت به شکستگی است و جریان سیال فقط از طریق شکستگی‌های بسیار تراوا انجام می‌گیرد. روش دوم به وسیله مدل تخلخل دوگانه-تراوایی دوگانه^{۱۰} ارائه شده است. در مقایسه با مدل قبلی بلوک‌های ماتریکس با یکدیگر در ارتباط بوده و منجر به جریان یافتن سیال از طریق آنها علاوه بر جریان ماتریکس به شکستگی می‌شود.

روش سوم، مدلسازی جریان شبکه گسسته شکستگی، جدیدترین روش است. این روش متكی به طرح فضایی سه بعدی از صفحات شکستگی است که منجر به ساخت شبکه به هم پیوسته از سطوح شکستگی است. هرگونه حجم سنگ‌های مخزن که در سه بعد توسط شکستگی‌ها محدود شده است، بلوک‌های ماتریکس می‌باشند. مزیت اصلی این مدل‌ها نسبت به دو مدل قبلی این است که شکستگی‌ها به عنوان

⁹ dual-porosity/single-permeability model

¹⁰ dual-porosity/dual-permeability model

ویژگی‌های گسسته شناخته می‌شوند. در حالی که در دو مدل قبلی، شکستگی‌ها توسط یک دسته از شبکه شکستگی با فضای منظم در مکعب‌های ماتریکس شناخته می‌شدند.

این روش در پایداری شیب توده سنگ‌ها^{۱۱} (*Goodman et.al, 1979*), پایداری تونل‌ها^{۱۲} (*Einstein et.al, 1979*), تغییر شکل توده سنگ^{۱۳} (*Dershowitz and Einstein, 1980*), جربان آبهای زیرزمینی^{۱۴} (*Long et al., 1985*) استفاده گردید و سپس به طور پیوسته بعد از آن توسعه یافت و دارای کاربردهای فراوانی در عمران^{۱۵}، مهندسی محیط زیست^{۱۶} و مهندسی مخزن^{۱۷} و دیگر علوم زمین شد. و به صورت یک تکنیک بی‌همتا در شبیه‌سازی الگوی سه بعدی شکستگی‌ها تبدیل گردید.

این نوع از مدل‌های شبکه گسسته شکستگی در اوخر دهه ۱۹۸۰ بدلیل نیاز به تحقیقات در زمینه جریان سیال در مخازن زباله‌های هسته‌ای گسترش یافتند. که منجر به ظهور مدل‌های شکستگی تصادفی^{۱۸} گردید. این مدل‌ها همچنین کاربردهایی در مهندسی معدن یافتند. مدل‌های اولیه از شبکه شکستگی به صورت قطعی^{۱۹} به عنوان گروهی از شکستگی‌های از پیش تعریف شده بودند. این مدل‌های شبکه شکستگی به دلیل ثابت بودن شکستگی‌ها که در بلوك‌های یکسان جدا شده بودند، مدل‌های ساده‌ای بودند. اما بعد از آزمایش و بررسی نمونه‌های رخنمون مشخص شد که شکستگی‌ها به این شیوه ظاهر نمی‌گردند، مدل‌های تصادفی خیلی زود پیشنهاد گردیدند.

¹¹ rock slope stability

¹² rock tunnel stability

¹³ rock mass deformation

¹⁴ groundwater flow

¹⁵ Civil engineering

¹⁶ Environmental engineering

¹⁷ Reservoir engineering

¹⁸ Stochastic Fracture Models

¹⁹ Deterministic Models

اولین مدل‌های تصادفی، مدل‌های ساده‌ای بودند که در آنها شکستگی‌ها به صورت صفحه‌ای و محدود در نظر گرفته شده بود. روش‌شناسی مدلسازی شبکه شکستگی توسط مؤلفین بسیاری توسعه پیدا کرده است و مدل‌های مختلفی ارائه گردیده است.

الف) مدل دیسکی^{۲۰} (*Baecher, Lanney, and Einstein, 1978*)

در این مدل شکستگی‌ها بصورت دیسکی شکل بوده و جهت‌گیری آنها توسط قطر مشخص شده و پراکندگی آنها به صورت تصادفی و با توزیع پوآسون^{۲۱} در فضای می‌باشد شکل (۱-۱).

ب) مدل چندضلعی ونزیانو^{۲۲} (*Veneziano (1979)*)

در این مدل، شکستگی‌های چندضلعی بوسیله فرآیندی تصادفی (پواسون) از خطوط بر صفحات تعریف می‌شوند. توزیع جهت‌گیری این صفحات به صورت دلخواه انجام می‌گیرد. چندضلعی‌های در هر صفحه مستقل از یکدیگرند بنابراین هیچ امکانی برای تعیین محل خاتمه شکستگی‌ها^{۲۳} در محل تقاطع وجود ندارد شکل (۱-۱).

ج) مدل درشویتز^{۲۴} (*Dershowitz (1984)*)

در این مدل، شکستگی‌های چندوجهی بر روی صفحات شکستگی تعریف می‌شوند. این کار توسط فرآیندی از خطوط پوآسون^{۲۵} که نتیجه تقاطع صفحات شکستگی است انجام می‌گیرد. این مدل قادر است محل خاتمه شکستگی در تقاطع شکستگی‌ها یا سنگ بکرا مدل کند. اما لازمه‌ی آن تعریف اندازه و محل خاتمه آن به طور غیر مستقیم از شدت صفحات شکستگی است شکل (۱-۱).

²⁰ *The disk model*

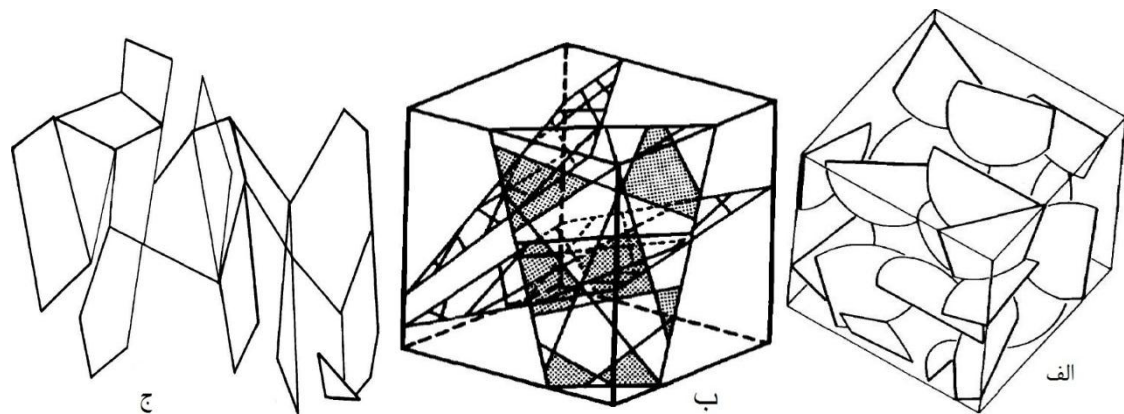
²¹ *Poisson Distribution*

²² *The Veneziano polygon model*

²³ *Fracture Termination*

²⁴ *The Dershowitz Fracture Model*

²⁵ *Poisson lines*



شکل ۱-۱ (الف) مدل دیسکی بیچر (ب) مدل ونزيانو (ج) مدل درشووبتز (Dershowitz and Schrauf, 1987)

کوئنز و همکاران (Quenes et al., 2000) روش جدیدی که در آن از ترکیب مدلسازی شبکه گستته و پیوسته شکستگی استفاده شده است را توسعه دادند. از مزیت‌های این روش، ساخت مدل شکستگی‌ها براساس تمامی داده‌های زمین‌شناسی، ژئوفیزیکی و داده‌های مهندسی است و پس از آن مدل‌های گستته شکستگی مشروط ساخته می‌شوند. فرآیند مدلسازی با ساختن مدل‌های شکستگی پیوسته شروع شده که قادر به گرفتن رابطه بین شدت شکستگی و خصوصیات زمین‌شناسی مرتبط با شکستگی می‌باشد. ابزارهای هوش مصنوعی برای انطباق بین خصوصیات زمین‌شناسی و شدت شکستگی استفاده شده است. و در نهایت مدل‌های گستته شکستگی بازتاب دهنده شرایط زمین‌شناسی منعکس شده در مدل‌های پیوسته و همچنین نشان‌دهنده مشخصات شکستگی مشاهده شده می‌باشد.

ترن و همکاران (Tran et al., 2002) روش‌شناسی یکپارچه جدیدی برای مدلسازی شبکه شکستگی ارائه دادند. این روش‌شناسی ویژگی‌های زمین‌شناسی، روش‌های آماری و هوش مصنوعی در یک حلقه تودرتو^{۲۶} را یکپارچه می‌کند و برای توصیف شبکه‌های شکستگی و شبیه‌سازی آنها بکار می‌رود. از شبکه

²⁶ Nested Loop

عصبی برای به دست آوردن رابطه پارامترهای اولیه و ثانویه شکستگی از داده‌های لاغ تصویری و مغزه استفاده شده است.

ترن و همکاران (Tran et al., 2003) روش‌شناسی یکپارچه‌ای دیگری برای مدلسازی شبکه شکستگی با استفاده از مدلسازی شئ‌گرا^{۲۷} و بهینه‌سازی جهانی^{۲۸} را ارائه دادند. در ابتدا، به عنوان مدل شئ‌گرا هر شکستگی مشخص شده و به عنوان یک شئ مجزا عمل می‌کند. در این روش شکستگی به عنوان یک شئ که به وسیله موقعیت، جهت و اندازه توصیف شده، در نظر گرفته می‌شود. هر شئ قوانین مختلفی مانند جابجایی، چرخش، رشد، کوتاه شدگی، تکرار یا حذف به عنوان رفتار در فضا دارند. مدل شبکه گسسته شکستگی (DFN)، به صورت مخلوطی از تعداد کل شکستگی‌ها، تک شکستگی و خواص آنها تعریف می‌شود. از طرفی، مدل شبکه و هندسه آن، مدل رفتار و شرایط کرانی خواص نیز لحاظ می‌شود.

در شووبیتز (Dershowitz, 2007) روش شبکه گسسته شکستگی را برای مخزن کربناته توسعه داده است. در این کار روش‌های شناسایی خصوصیات زمین‌شناسی کربناته مثل ویژگی‌های کارستیک، شکستگی‌های موجود در لایه و مرز لایه، تطابق بین شدت شکستگی و ضخامت لایه‌بندی توسعه داده شده است.

گوایکوریان و همکاران (Guairiran et al., 2007) از روش شبکه گسسته شکستگی برای مدلسازی شکستگی‌های میدان اوروکوال^{۲۹} در سازند سن خوواآن^{۳۰} واقع در ونزوئلا^{۳۱} استفاده کرده‌اند و از تمامی داده‌های موجود شامل داده‌های زمین‌شناسی، ژئوفیزیک و داده‌های مهندسی مخزن شامل داده‌های تولید، جریان سنج‌ها و چاه‌آزمایی برای تعیین انواع اصلی شکستگی‌ها، پیش‌بینی رخداد آنها در مخزن و تعیین

²⁷ Object Base Modeling

²⁸ Global Optimization

²⁹ Orocual Field

³⁰ San Juan Formation

³¹ Venezuela

خواص هیدرولیکی دسته شکستگی‌های متفاوت، استفاده کردند. روش شبکه گسسته شکستگی برای توصیف شکستگی‌های طبیعی در مقیاس چاه و مدل‌سازی سه‌بعدی شبکه شکستگی در مقیاس میدان استفاده گردیده است.

لازم به ذکر است که توصیف شکستگی‌های طبیعی فرآیند پیچیده‌ای است و به شرایط زمین‌شناسی توسعه مخزن بستگی دارد. محیط رسوبی نقش مهمی در تولید شکستگی‌ها مخزن بازی می‌کند. شکستگی‌های با رده یکسان که احتمالاً در زمان یکسانی ایجاد شده‌اند در یک دسته شکستگی گروه‌بندی می‌شوند. هر شبکه شکستگی حداقل شامل یک دسته شکستگی می‌باشد و الزاماً محدود به آن نمی‌باشد. موقعیت سنگ‌های رسوبی بسیار متفاوت می‌باشد، بنابراین مدل‌های پیچیده‌تری برای ارتباط بین دسته شکستگی‌های متفاوت توسعه یافته‌اند.

کونارد و جکووین^{۳۲} احتمالاً اولین اشخاصی بودند که یک مدل دو مرحله‌ای که شامل ارتباط دسته شکستگی‌های تولید شده بود را ارائه داده‌اند (*Einstein et al., 2000*). در سال ۱۹۹۰ گروه مکانیک سنگ مؤسسه تکنولوژی ماساچوست^{۳۳} مدلی را ارائه دادند که در آن شکستگی‌ها با الگوی سلسله مراتبی^{۳۴} ساخته می‌شد. این مدل شکستگی‌های دو بعدی واقعی‌تری را تولید می‌کرد. بعدها این مدل در *MIT* در سال ۱۹۹۸ توسط ایوانووا^{۳۵} و در سال ۱۹۹۹ توسط میر^{۳۶} با ساخت مدل‌های سه‌بعدی که نسبتاً قوی و منعطف بودند، توسعه پیدا کرد.

³² Conrad and Jacquin

³³ Massachusetts Institute of Technology (MIT)

³⁴ Hierarchical pattern

³⁵ Ivanova

³⁶ Meyer

۱-۶ ساختار پایان نامه

در فصل اول، تحت عنوان کلیات پایان نامه، به اهمیت مدلسازی شکستگی‌ها، اهداف انجام این مطالعه، اهمیت مدلسازی گسسته شکستگی و لزوم انجام آن و در نهایت به مرور ادبیات و کارهای انجام شده در زمینه آنالیز و مدلسازی شکستگی‌ها اشاره شده است.

فصل دوم با عنوان مبانی شکستگی‌ها و روش‌شناسی تحقیق با هدف شناخت بهتر شکستگی‌ها و انواع آن‌ها و همچنین بعضی از روش‌های شناسایی شکستگی‌ها و در نهایت روش مورد استفاده شده در انجام این پایان نامه، آمده است. در بخش آخر مبانی کلی روش شبکه گسسته شکستگی‌ها بیان شده است.

از آنجایی که داشتن دانش قبلی از زمین‌شناسی میدان مورد مطالعه در درک بهتر مطالعه شکستگی‌ها کمک شایانی می‌کند، فصل سوم به زمین‌شناسی میدان مورد مطالعه اختصاص داده شده است. همچنین در این فصل اطلاعات آماری شکستگی‌های سه چاه مورد مطالعه در نمودارهای تصویری نیز بررسی گردیده است.

در فصل چهارم، آنالیز شکستگی‌ها، تعریف و استخراج ورودی‌های لازم جهت انجام مدلسازی آمده است. این موارد شامل شدت شکستگی‌ها، جهت‌گیری آنها، دسته‌بندی شکستگی‌ها و محاسبه لاغ چگالی در چاه‌های مورد مطالعه است. در نتیجه آن مدل شبکه گسسته شکستگی ساخته شده و در نهایت آنالیز دینامیکی جهت کالیبره کردن مدل و انطباق با نتایج استخراج شده آورده شده است.

و بالاخره در فصل پنجم، جمع‌بندی کلی از نتایج به دست آمده و در نهایت پیشنهادات جهت انجام کارهای بعدی و تکمیلی آورده شده است.

۲ فصل دوم

مبانی شکستگی‌ها و روش‌شناسی تحقیق

۱-۲ مقدمه

هدف از مطالعه روش‌های مختلف مدل‌سازی جامع مخازن شکافدار، ساختن مدل شکستگی معتبر با استفاده از اطلاعات پیوسته و گسسته سرشت‌نمایی شده و در دسترس است. در آغاز این فصل ابتدا اطلاعات پایه‌ای درباره شکستگی‌ها پرداخته شده است. سپس مختصراً از کاربرد چاهنماهارها در شناسایی شکستگی‌ها آورده شده است. در ادامه به معرفی مدل‌سازی شبکه گسسته شکستگی پرداخته شده است. در نهایت نرم‌افزار مورد استفاده و روش‌شناسی مورد استفاده در مدل‌سازی شکستگی معرفی شده است.

۲-۱ اطلاعات پایه‌ای درباره شکستگی‌ها

برای مطالعه بهتر و دقیق‌تر مخازن شکافدار و تعیین خصوصیات آنها، داشتن اطلاعات اولیه از شکستگی‌ها، انواع شکستگی‌ها و روش‌های مختلف شناسایی و تفسیر لازم و ضروری است. در این بخش، در ابتدا به تعریف شکستگی‌ها و تقسیم‌بندی آنها اشاره شده است. در ادامه به کاربرد انواع نمودارهای چاه‌پیمایی در شناسایی کیفی و کمی شکستگی‌ها و خصوصیات آنها اشاره گردیده است.

۲-۲ تعریف شکستگی

واژه شکستگی به هرگونه ترک یا ناپیوستگی فیزیکی در سنگ بواسطه تنش فراتر از مقاومت سنگ، اطلاق می‌گردد (Ghafoori, 2005). شکستگی‌ها شامل درزه‌ها^{۳۷} و گسل‌ها نیز می‌باشند. درزه‌ها سطوح شکستگی بدون جابجایی هستند درحالی که گسل شکستگی یا ناحیه‌ای از شکستگی‌ها هستند که در طول سطوح آنها جابجایی وجود دارد. به طور کلی، گسل‌ها دارای شیب زیاد در رژیم‌های کششی و چرخشی هستند.

³⁷ joints

در حالی که در رژیم‌های فشارشی، ممکن است دارای شیب با زاویه زیاد تا کم باشند. شکستگی‌های طبیعی در مخازن قبل از حفاری گمانه در آنها وجود دارند. شکستگی‌های القایی^{۳۸}، شکست محلی سنگ بواسطه عملیات حفاری هستند.

شکستگی‌ها می‌توانند به شدت جهت مهاجرت سیال را در زیرسطح تحت تأثیر قرار دهند. اکتشافات اخیر حاکی از آن است که شکستگی‌ها نقش بسیار مهمی در تولید از سنگ‌های کربناته با تراوایی کم ایفا می‌کنند. به این دلیل که شکستگی‌ها سطح مشترکی با ماتریکس تشکیل می‌دهند که بسیار بزرگ‌تر از سطحی است که توسط گمانه ایجاد می‌شود.

۲-۲-۲ دسته‌بندی شکستگی‌ها

طبقه‌بندی‌های متفاوتی برای شکستگی‌ها وجود دارد مثل طبقه‌بندی آزمایشگاهی^{۳۹} (برشی^{۴۰}، توسعه-ای^{۴۱} و کششی^{۴۲}) و طبقه‌بندی تکتونیکی^{۴۳} (شکستگی‌های وابسته به گسل^{۴۴} و وابسته به چین‌خوردگی^{۴۵}). به دلیل اینکه در این تحقیق از شکستگی‌های به دست آمده از لاغ‌های تصویری (Nelson, 2001) استفاده شده درنتیجه از طبقه‌بندی شکستگی برمبنای مورفولوژی^{۴۶} و منشأ شکستگی استفاده شده است.

³⁸ Induced fracture

³⁹ Laboratory Classification

⁴⁰ Shear

⁴¹ Extension

⁴² Tension

⁴³ Tectonic Classification

⁴⁴ Fault Related

⁴⁵ Fold Related

⁴⁶ Morphology

شکستگی‌ها بر مبنای لاغهای تصویری به گروههای زیر طبقه‌بندی می‌شوند (شکل ۲-۳):

الف. شکستگی طبیعی

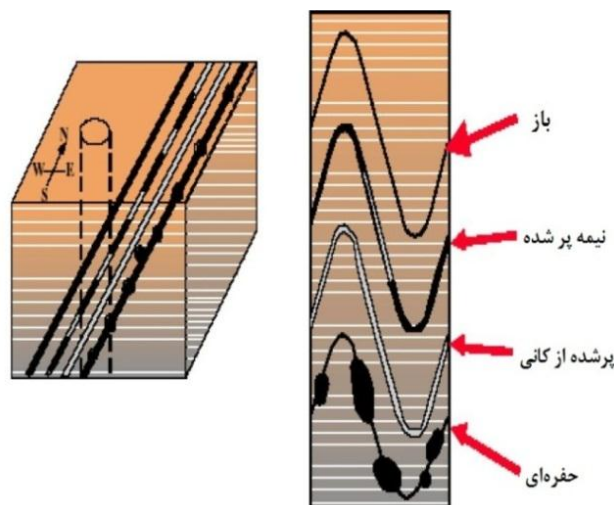
I شکستگی باز

- شکستگی باز پیوسته
- شکستگی محتمل باز
- شکستگی باز متفرقه (باز ناپیوسته)

II شکستگی بسته

ب. شکستگی القابی حفاری

ج. شکستگی ریزش دیواره



شکل ۱-۲ مورفولوژی شکستگی‌ها (Serra, O, 1989).

۱-۲-۲ شکستگی‌های رسانا^{۴۷}

زمانی که این شکستگی‌ها به وسیله گل رسانا (در سازند عاری از رس) پر شده باشند، براحتی در لاغ-های تصویری به عنوان ساختارهای رسانا قطع کننده لایه‌بندی شناسایی می‌شوند. اگرچه ممکن است به ندرت موازی با لایه‌بندی نیز باشند. به دلیل اینکه مقاومت این گونه شکستگی‌ها تفاوت زیادی با سنگ میزبان دارد، در لاغ‌های تصویری نمایان می‌شوند. در موارد شکستگی‌های باز، سیال حفاری در آنها نفوذ کرده و باعث ایجاد یک سطح نازک رسانا می‌گردد. در مقابل، شکستگی کاملاً سیمانی شده یک سطح نازک مقاوم را شکل می‌دهد. در هر دو مورد، خطوط جریان در مقایسه با محیط یکنواخت کاملاً متمایز می‌باشد. این نوع از شکستگی‌های طبیعی بر پایه مورفولوژی و پیوستگی آنها در اطراف چاه تقسیم می‌شوند و به صورت شکستگی‌های باز پیوسته، محتمل باز^{۴۸} و باز متفرقه^{۴۹} (باز ناپیوسته) تقسیم می‌گردند.

• شکستگی‌های محتمل باز

دیوارهای گمانه معمولاً نشانه‌های بسیاری از ساختارهای خطی ناپیوسته را دارا هستند که دارای ظاهری مشابه اثر شکستگی‌های است ولی در واقع مربوط به فرآیندهای حفاری می‌شوند. به طور مشابه، در بعضی از لیتوولوژی‌ها نیز می‌توانند باعث گسترش شبکه‌ای از ساختارهای کوچک ناپیوسته شوند که ساختارهای طبیعی هستند و برای تعیین مشخصات مخزن مهم می‌باشند. در جاهایی که نتوان بین این دو نوع شکستگی تمایزی تشخیص داد آنگاه این ساختارها در نمودارهای تصویری در مقوله‌ی شکستگی‌های محتمل قرار می‌گیرند.

⁴⁷ Conductive fractures

⁴⁸ Possible Open Fracture

⁴⁹ Miscellaneous Open Fracture

^{۵۰} ۲-۲-۲-۲ شکستگی‌های مقاوم

دارای ظاهر مقاوم به واسطه پرشدن دهانه آنها با مواد متراکم می‌باشند. شکستگی‌هایی که در ابتدا به صورت باز بوده‌اند اما بعدها توسط مواد مقاوم (انیدریت، رس و پیریت) پوشده‌اند به عنوان شکستگی‌های مقاوم طبقه‌بندی می‌شوند. اگرچه، شکستگی‌هایی که دارای رس یا پیریت هستند دارای پاسخ‌های رسانا می‌باشند. عرض دهانه این شکستگی‌ها ممکن است در طول گمانه تغییر کند. مواد مقاوم پرکننده این شکستگی‌ها در سازنده‌های کنگان و دالان، کلسیت و انیدریت می‌باشند. برای تمایز بین شکستگی‌های پرشده از گل حفاری و شکستگی‌های پرشده از رس و پیریت، داشتن دانشی از رسوب‌شناسی و سکانس چینه‌شناسی منطقه مورد مطالعه ضروری است. در بعضی موارد، لاغ‌های متداول پتروفیزیکی نیز برای تمایز بسیار مفید هستند.

^{۵۱} ۳-۲-۲-۲ شکستگی‌های القایی حفاری

Zamanی که گمانه حفاری می‌شود، رژیم تنش بواسطه برداشته شدن سنگ کاملاً تغییر می‌کند (Ghafoori, 2005). دلایل تشکیل شکستگی‌های القایی مشابه با شکستگی‌های طبیعی می‌باشد. میدان تنش محیط باید از گرادیان شکستگی^{۵۲} سنگ بیشتر شود. منشأ شکستگی‌ها تابعی از تنش، فشار منفذی و سنگ (لیتولوژی) می‌باشد. بخش منحصر به فرد شکستگی‌های القایی این است که منشأ تنش‌های محلی شامل فرآیندهای حفاری می‌باشد (Tingay et al, 2008 & Ghafoori, 2005).

⁵⁰ Resistive fracture

⁵¹ Drilling Induced Fracture

⁵² Fracture Gradient

بعضی از دلایل تشکیل شکستگی‌های القایی عبارتند از:

- وزن اضافی روی مته^{۵۳}: حفار برای کاهش مدت زمان حفاری وزن اضافی روی مته اعمال می-

کند. شکستگی‌ها در حین حفاری یا مغزه‌گیری بواسطه افزایش وزن رشته حفاری ایجاد می-

شوند.

- نیروهای هیدرولاستاتیکی^{۵۴} (وزن گل سنگین^{۵۵}): شکستگی‌های توسعه‌یافته در محیط گمانه

تمایل به عریض‌شدن دارند. این شکستگی‌ها مشابه با عملیات شکستگی هیدرولیکی می‌باشند.

شکستگی‌ها بواسطه تغییرات فشار در عملیات مغزه‌گیری در حین ورود و خروج از محفظه

مغزه نیز القا می‌شوند. این شکستگی‌های هیدرولیکی تمایل به بودن در امتداد چاه و بیرون

رفتن از مرز لایه دارند و خصوصیات مکانیک سنگی متفاوتی دارند، مثل مدول یانگ^{۵۶} یا

نسبت پوآسون^{۵۷}.

- تنش پیچشی (چرخش) مته^{۵۸}: هر دو شکستگی‌های طبیعی و القایی با این شرایط تحت

تأثیر قرار می‌گیرند. زمانی که شکستگی‌های القایی گمانه را در یک زاویه حاده قطع می‌کنند،

خردشدگی رخ خواهد داد. دلیل آن این است که مته حفاری دارای اثر لبه چاقویی بر روی

صفه شکستگی است.

- تخلیه بار^{۵۹}: زمانی که طبقه‌های پوششی در زیر مته برداشته می‌شوند، رخ می‌دهد. تنش‌های

برجا باعث انبساط سنگ به داخل حفره حفاری شده می‌شود.

⁵³ Excessive Weight on the Bit

⁵⁴ Hydrostatic Forces

⁵⁵ Heavy Mud Weight

⁵⁶ Young's modulus

⁵⁷ Poisson's ratio

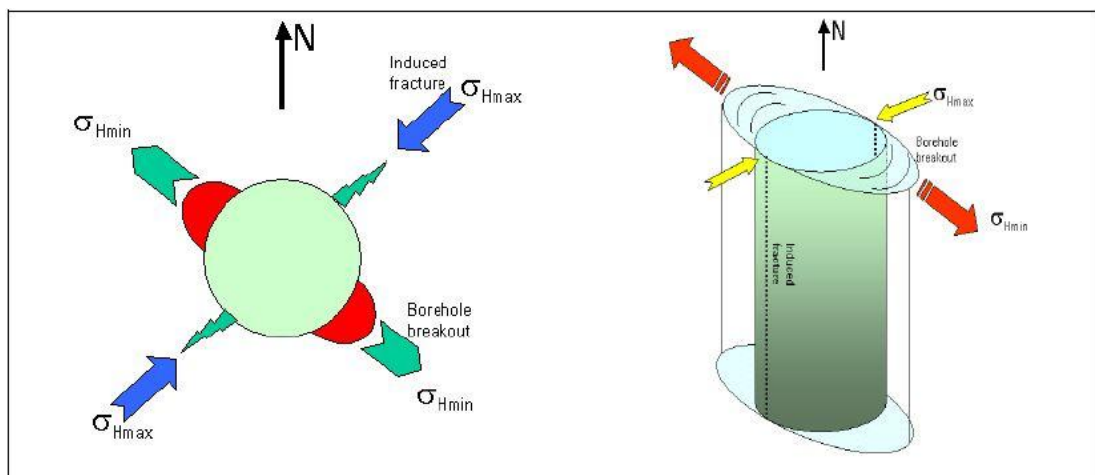
⁵⁸ Torsional Stress/Bit Rotation

⁵⁹ Unloading

شکستگی‌های القایی حفاری عموماً به صورت عوارض بسیار باریک که تقریباً موازی یا کمی مایل نسبت به محور گمانه هستند در چاه‌های قائم توسعه می‌یابند (Tingay et al, 2008 & Ghafoori, 2005). امتداد شکستگی‌های القایی معرف جهت تنش افقی بیشینه در اطراف گمانه است شکل (۲-۲).

۴-۲-۲-۲ شکستگی‌های ریزش دیواره چاه^{۶۰}

زمانی که گمانه حفاری می‌شود، مواد جابجا شده از زیرسطح، سنگ‌های پیرامونشان را پشتیبانی نمی‌کنند. درنتیجه، تنش‌ها در سنگ‌های پیرامون (یعنی، دیواره‌های گمانه) تمرکز می‌یابند. ریزش گمانه زمانی که تنش‌های اطراف گمانه از تنش‌مورد نیاز برای شکست فشارشی دیواره چاه فراتر می‌رود، ایجاد می‌گردد. بزرگ‌شدگی گمانه توسط توسعه صفحات برشی مزدوج متقاطع ایجاد می‌شوند که باعث ریزش قسمتی از دیواره چاه می‌شوند. این ریزش‌ها بیانگر جهت‌گیری تنش افقی کمینه (σ_{Hmin}) در گمانه هستند شکل (۲-۲).



شکل ۲-۲ نمایش شکستگی‌های القایی و ریزش دیواره و استرس‌های بیشینه و کمینه در گمانه (Shamsnia and Tamimi, 2001).

⁶⁰ Borehole breakouts

گسل‌ها، ساختارهای مهمی هستند که می‌توانند نقش مهمی در اتصال مخزن داشته باشند. لاغ‌های تصویری، ابزارهای بسیار مفیدی در تشخیص و تعیین خصوصیات این ساختارها در گمانه هستند. تشخیص گسل‌ها و تعیین اثرات آنها در تصاویر گمانه ممکن است بسیار نامنظم بوده و به پارامترهای مختلفی بستگی دارد. بنابراین برای تعیین اطمینان از گسل‌های تشخیص داده شده استفاده از یک نرخ اطمینان^{۶۱} ضرورت دارد. برای تعیین کیفیت تشخیص گسل، از نشانگرهای کلیدی^{۶۲} که نشانگرهای قوی (درجه ۱) و نشانگرهای ضعیف (درجه ۲) نامیده می‌شوند، استفاده می‌گردد (جدول ۱-۳). براساس تعداد هر کدام از این نشانگرهای، به هر کدام از گسل‌های تفسیری یک سطح اطمینان که در ادامه آورده شده است، اختصاص می‌یابد (*Shamsnia and Tamimi, 2001*)

A: اطمینان بالا^{۶۳} (پنج نشانگر از درجه ۱)

B: اطمینان متوسط^{۶۴} (چهار نشانگر از درجه ۱)

C: اطمینان پایین^{۶۵} (بدون نشانگرهای درجه ۱، سه نشانگر از درجه ۲)

D: اطمینان ضعیف^{۶۶} (بدون نشانگرهای درجه ۱، یک یا دو نشانگر از درجه

^{۶۱} Confidence Rate

^{۶۲} Key Indicators

^{۶۳} High Confidence

^{۶۴} Moderate Confidence

^{۶۵} Low Confidence

^{۶۶} Poor Confidence

جدول ۱-۲ نشانگرهای تشخیص گسل (Shamsnia and Tamimi, 2001).

نشانگرهای درجه ۲ (۱۲ نشانه)	نشانگرهای درجه ۱ (۹ معیار)
تجمع شکستگی ها	صفحه گسل واضح، قطع کننده ساختارها یا بافت های رسوبی
تبلور بلور مجدد	زاویه صفحه ای زیاد بین انواع سنگ ها
چینه های کششی یا تغییر حالت کمتر از ۲۰ متر	جابجایی لایه های رسوبی
جهت امتداد مطابق با روند منطقه ای	تجمع زیاد انواع شکستگی ها به صورت خوش ای
خرده سنگی شدن (برشی شدن) و یا ناحیه ای از شیب های بی نظم	تغییرات شیب ساختمانی
شرایط <i>BADHOLE</i> و یا آنومالی های انحراف گمانه	نبود یا تکرار مقاطع در ستون چینه شناسی
توسعه و یا خاتمه ناگهانی ریختگی های گمانه	چینه های کششی یا تغییر حالت بیشتر از ۲۰ متر
آنومالی ها و یا پروفایل قطع شده از منحنی های لاغ	وجود ناپیوستگی ها
تجمع حفرات یا دیگر عوارض انحلالی	تغییرات ناگهانی در توزیع تنش افقی اصلی اطراف چاه
تغییرات ضخامت بستر نزدیک به گسل	
تغییرات ناگهانی در جهت گیری شکستگی ها	

۴-۲-۲ تعریف شکستگی های مؤثر

به طور کلی سه منبع اصلی برداشت داده ها جهت شناسایی شکستگی های طبیعی وجود دارد: داده های رخنمون^{۶۷}، داده های لرزه ای^{۶۸} و داده های چاه^{۶۹}. برای انجام این تحقیق به دلیل نبود داده های لرزه ای با وضوح بالا استفاده از این داده امکان پذیر نمی باشد. برای انجام این تحقیق از داده های چاه استفاده شده

⁶⁷ Outcrop Data

⁶⁸ Seismic Data

⁶⁹ Well Data

است. فقط شکستگی‌های مؤثر برای محاسبه خصوصیات شکستگی‌ها استفاده شده است. براساس تعریف نار^{۷۰}: "شکستگی مؤثر"^{۷۱}، شکستگی می‌باشد که هم باز است و هم دارای گسترش قابل توجه، خواه به تنها‌ی یا از طریق اتصال با دیگر شکستگی‌ها، هستند. همچنین جریان سیال به سمت چاه را به‌طور قابل‌مالحظه‌ای تحت تأثیر قرار می‌دهند". داده‌های چاه جهت تعریف ورودی‌های مختلف برای ساخت مدل‌های شکستگی استفاده شده است.

روش‌های متداول چاهنگاری، اطلاعات حفاری، و لاغ‌های تولید، اطلاعات حیاتی برای قضاؤت درباره اینکه شکستگی‌ها مؤثر هستند یا نه را فراهم می‌نمایند. تمامی شکستگی‌های مؤثر توسط زمین‌شناسان شرکت تفسیر شده و اطلاعات عمق و جهت‌داری آنها نیز موجود می‌باشد. از آنجایی که از این اطلاعات در این کار استفاده شده، فرض ما بر این است که تفاسیر موجود صحیح بوده و این شکستگی‌ها در ساخت مدل شبکه گسسته شکستگی استفاده شده‌اند.

بسیاری از لاغ‌ها به شیوه‌های متفاوتی به شکستگی‌ها پاسخ می‌دهند. در زیر توصیف مختصراً از هر لاغ استفاده شده برای تفسیر شکستگی‌ها و پاسخ هر کدام آورده شده است. اگرچه، آنالیز یک لاغ به تنها‌ی برای مطالعه شکستگی‌ها کافی نبوده و برای افزایش دقت تفسیر تمامی لاغ‌های موجود بایستی در کنار یکدیگر استفاده گرددند.

۱-۴-۲-۲ لاغ‌های تصویری

لاغ‌های تصویری از مهمترین منابع اطلاعاتی برای مطالعه مخازن شکافدار و سرشت‌نمایی شکستگی‌ها هستند. دو نوع اصلی لاغ‌های تصویری، الکتریکی و لاغ‌های صوتی می‌باشند. که نوع اول بدلیل داشتن وضوح عمودی بالاتر برای شناسایی شکستگی‌ها دارای کاربرد بالاتری است (Ogilvie et al., 2004). لاغ-

⁷⁰ Narr (2010)

⁷¹ Effective Fractures

های تصویری، تصویری استوانه‌ای شکل و مجازی از دیواره چاه با قدرت تفکیک بالا هستند که قادرند پدیده‌های ظریف دیواره را نشان دهند. هر پدیده صفحه‌ای شکل، مانند لایه‌بندی و شکستگی، که چاه را به صورت غیر قائم قطع کرده باشد، در استوانه چاه به شکل بیضی دیده می‌شود. در صورتی که استوانه در امتداد محورش بریده و باز شود یعنی همان شکلی که در لاغ تصویری نمایش داده می‌شود، شکستگی یا لایه‌بندی به صورت یک موج سینوسی ظاهر می‌شود (Schlumberger, 1992). لاغ‌هایی که توسط زمین‌شناس شرکت تفسیر شده است، جهت محاسبه اطلاعات مهم از قبیل جهت‌گیری، عمق و دهانه شکستگی‌ها و صفحات لایه‌بندی استفاده گردیده است. هر شکستگی شناسایی شده از لاغ‌های FMI آنالیز شده و باز یا بسته بودن آن و چگونگی پاسخ هیدرولیکی آن در چاه مشخص گردیده است. معمولاً شکستگی‌های باز توسط گل حفاری یا سیال سازنده پر شده و در نتیجه، مقاومت بالا را نشان داده و به صورت موج سینوسی سفیدرنگ بر روی تصاویر مشخص می‌گردد. لاغ FMI تصویری ۳۶۰ درجه از چاه را در حالت ۲ بعدی فراهم کرده در نتیجه شکستگی‌ها به صورت امواج سینوسی ظاهر می‌گردد.

۲-۴-۲-۲ تحلیل مغزه

توسط آنالیز مغزه^{۷۲} اطلاعات مستقیمی راجع به خواص سنگ مخزن به دست می‌آید. با انجام آزمایش‌هایی بر روی مغزه‌ها، می‌توان تخلخل، نفوذپذیری، اشباع سیالات موجود و همچنین اطلاعاتی از خود سنگ و کانی‌های موجود را به دست آورد. با مشاهده و انجام آزمایش بر روی مغزه، اطلاعاتی از شکستگی‌های موجود و پارامترهای مربوط به آن حاصل می‌شود. پارامترهای شکستگی که توسط مغزه قابل اندازه‌گیری است عبارتند از (Ogilvie et al., 2004):

- پارامترهای شبکه شکستگی از قبیل شدت^{۷۳}، فاصله، جهت‌گیری^{۷۴} و خاتمه یافتن. تعداد

⁷² Core Analysis

⁷³ Fracture Intensity

شکستگی‌هایی که خط مرکزی قطعه‌های مغزه را قطع می‌کنند، اطلاعاتی راجع به چگالی

شکستگی^{۷۵} می‌دهند.

- دهانه شکستگی^{۷۶}: از آنجایی که دهانه شکستگی به استرس‌های درجا حساس است و فقط در

شرایط سطح قابل مشاهده هستند، استفاده از آنها باید با احتیاط انجام گیرد.

- مورفولوژی و پرشدگی شکستگی (موازی بودن، نیمه پربودن، زبری شکستگی، حفره‌ای بودن)

- ارتباط بین پرکننده شکستگی و دیاژنز سنگ میزبان، برای پیش‌بینی تغییرات فضایی^{۷۷} در

سیمان‌شده‌گی شکستگی.

- زمان نسبی^{۷۸} ایجاد شکستگی، ارتباط بین دسته‌های مختلف شکستگی با اپیزودهای تکتونیکی

مختلف.

مطالعه شکستگی و آنالیز آنها در چاهه‌ای مورد مطالعه بر روی مغزه‌ها انجام نشده است و مطالعات

مغزه‌ها، اطلاعات پراکنده و طبقه‌بندی‌نشده‌ای درباره شکستگی‌ها را دارند. از این‌رو، نتایج مطالعات مغزه‌ها

را نمی‌توان برای آنالیز شکستگی‌ها استفاده نمود و فقط از خروجی تفاسیر لاغ‌های تصویری استفاده

گردیده است.

۳-۴-۲-۲ لاغ فوتوالکتریک^{۷۹}

این لاغ جذب فوتوالکتریک اشعه گاما توسط الکترون را اندازه‌گیری می‌کند. باریت، یکی از اجزای گل

حفاری، دارای اندیس جذب فوتوالکتریک (Pe) بسیار بالایی است. زمانی که گل حفاری در شکستگی-

های باز رخنه می‌کند، نتیجه آن وجود پیک‌های بزرگ بر روی منحنی این لاغ است (Adlet, 2013).

⁷⁴ Fracture Orientation

⁷⁵ Fracture Density

⁷⁶ Fracture Aperture

⁷⁷ Spatial Variation

⁷⁸ Relative Timing

⁷⁹ Photoelectric (PEF) Logs

۴-۴-۲-۲ امواج استونلی^{۸۰}

معمولًاً امواج استونلی در طی عملیات چاهنگاری صوتی تولید می‌شوند. این امواج در طول دیواره چاه پر از سیال انتشار می‌یابد. شکستگی‌ها دارای اثر قابل توجه بر روی امواج استونلی بخصوص در فرکانس‌های پایین هستند. عبور امواج از شکستگی‌ها تراوا باعث تضعیف دامنه امواج می‌گردد (Adlet, 2013).

۵-۴-۲-۲ لاغ کالیپر^{۸۱}

این ابزارها اندازه و شکل چاه را اندازه‌گیری می‌کنند. ساده‌ترین و مهمترین استفاده از کالیپرها اندازه‌گیری پروفایل عمودی از قطر چاه است (Mohebbi et al., 2007). هرگونه انحراف قطر چاه از قطر حفاری شده ممکن است نشاندهنده حضور شکستگی باشد. اگرچه، ریزش دیواره نیز نشاندهنده افزایش قطر چاه می‌باشد که این موضوع باید در تفسیر شکستگی‌ها ملاحظه گردد. به همین دلیل است که تفسیر شکستگی‌ها باید در ترکیب با روش‌های مختلف متفاوت باشد (Adlet, 2013).

به طور کلی وجود شکستگی‌ها از دو جهت بر روی این نمودار تأثیر می‌گذارند (Mohebbi et al., 2007):

- کاهش تدریجی در قطر چاه به دلیل وجود انود گل ضخیم (به خصوص برای گل‌های

سنگین) به علت نفوذ بیشتر تراویده گل به داخل سازند که از طریق شکستگی‌ها رخ می-

دهد.

- مشاهده طویل شدگی گمانه در جهت اصلی شکستگی‌ها در مناطق شکسته شده به دلیل

فروریختن ناحیه شکستگی در طی عملیات حفاری.

⁸⁰ Stoneley Waves

⁸¹ Caliper Log

۶-۴-۲-۲ لاغهای تولید

ابزارهای چاهنگاری تولید^{۸۲} عملکرد دینامیکی چاه و شاخص تولید از هر ناحیه را آنالیز می‌کنند. همچنین برای ارزیابی توزیع نسبی یا جریان کلی از بارهای چاه نیز استفاده می‌شوند. در مخازن شکافدار، PLT تحت شرایط جریان‌دهی برای ارزیابی توزیع سیال از شکستگی‌ها رانده می‌شود. نواحی که افزایش زیادی در نرخ جریان از تولید تجمعی هیدروکربور را نشان می‌دهند، مناطقی با پتانسیل برای داشتن شکستگی-های رسانا هستند.

۷-۴-۲-۲ لاغ دما

یکی از روشهای تشخیص شکستگی‌ها، استفاده از نمودار دما^{۸۳} بر حسب عمق می‌باشد. دمای گل حفاری در چاه معمولاً کمتر از دمای سازند می‌باشد. مبنای استفاده از این روش این است که حین حفاری در نقاط که شکستگی وجود دارد، گل وارد سازند می‌شود و بنابراین دمای ثبت شده برای سازند، تحت تأثیر دمای گل قرار خواهد گرفت. نفوذ سیال گرم سازند باعث افزایش دما شده و به عنوان نشانگر خوبی برای موقعیت شکستگی‌ها عمل می‌کند (Beda and Carugo, 2001).

۸-۴-۲-۲ اطلاعات حفاری

علاوه بر لاغهای متداول، بعضی از اطلاعات حفاری^{۸۴} را می‌توان برای تشخیص شکستگی‌ها استفاده کرد. نشانگرهای اولیه در حین حفاری شکستگی‌ها، بی‌ثباتی گشتاور، افزایش ناگهانی در نرخ نفوذ و در جاهایی که غار وجود دارد، افتادن مته حفاری می‌باشند. مواجه شدن با این شرایط منجر به هرزروی شدید گل حفاری و در نتیجه مسائل کنترل چاه می‌شود. به طور کلی اطلاعات هرزروی گل در شناسایی حضور

⁸² Production logs

⁸³ Temperature logs

⁸⁴ Drilling Information

شکستگی‌های رسانا مفید می‌باشد. می‌توان از نواحی هرزروی گل جهت تخمین کیفی قابلیت هدایت شکستگی‌ها براساس حجم هرزروی استفاده نمود (*Beda and Carugo, 2001*).

۳-۲ مفهوم شبکه گسسته شکستگی

این روش بر این فرض استوار است که خواص توده سنگ‌های شکسته به وسیله رفتار شکستگی‌های منفرد تعیین می‌شوند و توده سنگ محیطی پیوسته است. در نتیجه، توده سنگ به عنوان شبکه‌ای از عناصر گسسته که معرف شکستگی‌ها هستند مشخص می‌گردند (*Vincent, 2009*).

در تعریف ساده این مفهوم پیچیده می‌توان گفت که در این نوع مدل‌سازی فضای شکستگی‌ها به صورت مجموعه‌ای از اشکال هندسی مانند خط در فضای دو بعدی و صفحات دایره‌ای یا چند ضلعی در فضای سه بعدی متناظر شده و تحلیل اندرکنش این اشکال بیانگر رفتار شکستگی‌ها محسوب می‌شود. در ایجاد شبکه گسسته شکستگی سیستم پیچیده‌ای از شکستگی‌ها بر مبنای تغییرات موقعیت فضایی، شکستگی‌های متقاطع با هم با طول‌های متفاوت و شبکه نامنظم به وجود می‌آید (ملایوسفی، ۱۳۹۰).

برای ساخت مدل‌های عددی نحوه حرکت سیال از درون شکستگی‌ها، ابتدا به ساخت مدل شبکه گسسته شکستگی‌ها نیاز است. مدل‌های شبکه گسسته شکستگی با کاربرد شبیه‌سازی مونت کارلو^{۸۵} و طبق توابع توزیع آماری طول، جهت و موقعیت فضایی سیستم‌های شکستگی ایجاد می‌شوند. هر کدام از پارامترهای شکستگی‌ها مانند فاصله‌داری، مکان فضایی، جهت‌گیری و اندازه می‌توانند با توابع توزیع آماری مانند توزیع‌های نرمال، لاغ نرمال، یکنواخت، گوسی و یا توابع توزیع دیگر بیان شوند. در ساخت شبکه گسسته شکستگی‌ها باید توزیع آماری هر یک از پارامترهای مکان قرارگیری، امتداد، طول خط اثر و میزان

^{۸۵} Monte Carlo Simulation (MCS)

دهانه بازشدگی شکستگی‌ها مشخص گردد و چنانچه مدلسازی دو بعدی برای شبکه درزهای مجزا در نظر گرفته شود با داشتن تعداد شکستگی‌ها در واحد سطح می‌توان مدل هندسی فضایی شکستگی‌ها را ایجاد نمود (ملایوسفی، ۱۳۹۰). در ادامه هریک از پارامترهای هندسی فوق توضیح داده می‌شوند:

۱-۳-۲ موقعیت قرارگیری شکستگی‌ها

در محیط‌های همگن فرض می‌شود شکستگی‌ها به طور کاملاً تصادفی پخش شده‌اند. موقعیت مکانی شکستگی‌ها با فرآیند آماری پوآسون یا روش *BART*, که کاربرد گسترده‌ای در مدلسازی شبکه گسسته شکستگی‌ها دارند، تعیین می‌شوند. فرآیند پوآسون به طور خاص بیانگرتابع توزیع آماری محل قرارگیری شکستگی‌هاست و دانسته متوسط شکستگی‌ها به عنوان کنترل‌کننده این فرآیند تصادفی است. با وجود اینکه تراکم شکستگی‌ها می‌تواند متغیر باشد، استفاده از نقاط ناهمگن در فرآیند پوآسون بر صحت بیشتر شبیه‌سازی موقعیت شکستگی‌ها می‌افزاید (ملایوسفی، ۱۳۹۰).

۱-۳-۲ جهت‌گیری شکستگی‌ها

جهت‌گیری شکستگی‌ها (شامل شیب و جهت شیب) با استفاده از داده‌های تحلیلی زمین‌شناسی شبیه‌سازی می‌شوند. جهت فضایی شکستگی‌ها عمدهاً به نوع شکستگی یعنی برشی، کششی و فشاری بستگی دارد. جهات محلی تنشهای اصلی که بردارهای ویژه تانسور تنش^{۸۶} می‌باشند، کنترل‌کننده روند غالب شکستگی‌های به وجود آمده هستند (ملایوسفی، ۱۳۹۰).

^{۸۶} Stress Tensor

۳-۳-۲

طول خط اثر شکستگی‌ها^{۸۷}

طول خط اثر شکستگی‌ها معمولاً از تابع توزیع نمایی یا توانی تبعیت می‌کند. طول اثر شکستگی‌ها با محل قرارگیری شکستگی در ارتباط است و در مناطقی که امکان انتشار ترک و شکاف نیست (مانند لایه‌های نمکی که دارای رفتار خمیری هستند و محل‌های مناسبی برای دفن زباله‌های هسته‌ای محسوب می‌شوند) طول شکستگی‌ها شدیداً کاهش می‌یابد. همچنین طول اولیه شکستگی‌ها می‌تواند در برخورد با شکستگی‌های جدید دچار تغییر شوند. طول خط اثر و امتداد فضایی شکستگی‌ها به طور تصادفی با استفاده از روش شبیه‌سازی مونت کارلو تولید می‌شوند (ملایوسفی، ۱۳۹۰).

۴-۳-۲ بازشدگی شکستگی‌ها

این پارامتر که متوسط فاصله عمودی میان صفحات شکستگی است، مهمترین نقش را در عبور جریان دارد. شکستگی‌های باز به صورت منفرد و یا در ارتباط با شبکه شکستگی‌ها و با ایجاد کانال‌های جریان هدایت سیالات را بر عهده دارند، در صورتی که شکستگی‌های بسته به عنوان سدهای جریان محسوب می‌شوند. وجود شکستگی‌های بسته خود می‌تواند در هدایت سیال به نقاط دیگر مؤثر واقع شود و به صورت غیر مستقیم در هدایت جهت جریان شرکت نمایند. بازشدگی شکستگی‌ها معمولاً به صورت توابع توزیع احتمال نرمال، لاغ نرمال یا توانی بیان می‌شود (ملایوسفی، ۱۳۹۰).

مراحل فرآیند مدلسازی شکستگی‌ها را به طور مختصر می‌توان به موارد زیر تقسیم نمود:

گام اول: جمع‌آوری داده‌های ناپیوسته برای انجام آنالیزهای آماری^{۸۸} است. که این داده‌ها در مقیاس چاه (لاغ‌های متداول، مغزه و ...) و یا در مقیاس میدانی (لرزه، سرعت لرزه‌ای، ساختار مخزن و ...) هستند.

⁸⁷ Fracture Trace Length

گام دوم: تقسیم شکستگی‌ها به زیر دسته‌ها با توجه به جهت‌داری شکستگی‌هاست. شکستگی‌های از یک نوع که در یک زمان ایجاد شده‌اند در یک دسته شکستگی گروه‌بندی می‌شوند. هر شبکه شکستگی شامل شکستگی‌هایی است که حداقل دارای یک دسته شکستگی هستند اما ممکن است شامل تعداد دسته‌های بیشتری نیز باشند⁸⁸.

گام سوم: تحلیل فضایی شکستگی‌ها و آنالیز الگوی آنهاست. آنالیزهای فضایی شامل تحلیل خصوصیات شکستگی مثل، موقعیت، جهت‌داری، شدت، اثر طول، بازشدنگی و یا دیگر خواص هیدرولیکی است.

در نهایت، گام چهارم: شبیه‌سازی هندسه شکستگی‌های منفرد است. اندازه شکستگی‌ها (قطر یا بازشدنگی) و جهت‌داری آنها غالباً بوسیله شبیه‌سازی مونت کارلو انجام می‌پذیرد. اگر نیاز باشد، دیگر خصوصیات شکستگی‌ها مثل تراوایی، زبری و ... را نیز می‌توان به مدل اضافه نمود.

۴-۲ کاربرد مدل شبکه گسسته شکستگی

مدلسازی شبکه گسسته شکستگی یک معرفی تصادفی از شبکه‌های شکستگی طبیعی هستند و به طور گسترده و رو به رشد در توصیف مخازن شکسته طبیعی برای هیدرولیک استفاده می‌شوند. گسترش شبکه شکستگی به وسیله اطلاعات آماری از داده‌های میدانی پیش‌بینی می‌شود. در این مطالعه از بسته نرم افزاری *OPENFLOW* که توسط شرکت *BeicipFranlab* و *IFP* فرانسه توسعه داده شده، استفاده شده است. برای ساخت و آنالیز شبکه گسسته شکستگی از ماژول *FracFlow* استفاده شده است. در نرم افزار *FracFlow* امکان انجام آنالیز بر روی داده‌های استاتیک مانند خواص ماتریس، نمودارهای پتروفیزیکی، نمودارهای تصویری، مغزه و نشانگرهای لرزه‌ای و همچنین آنالیز داده‌های دینامیک مانند

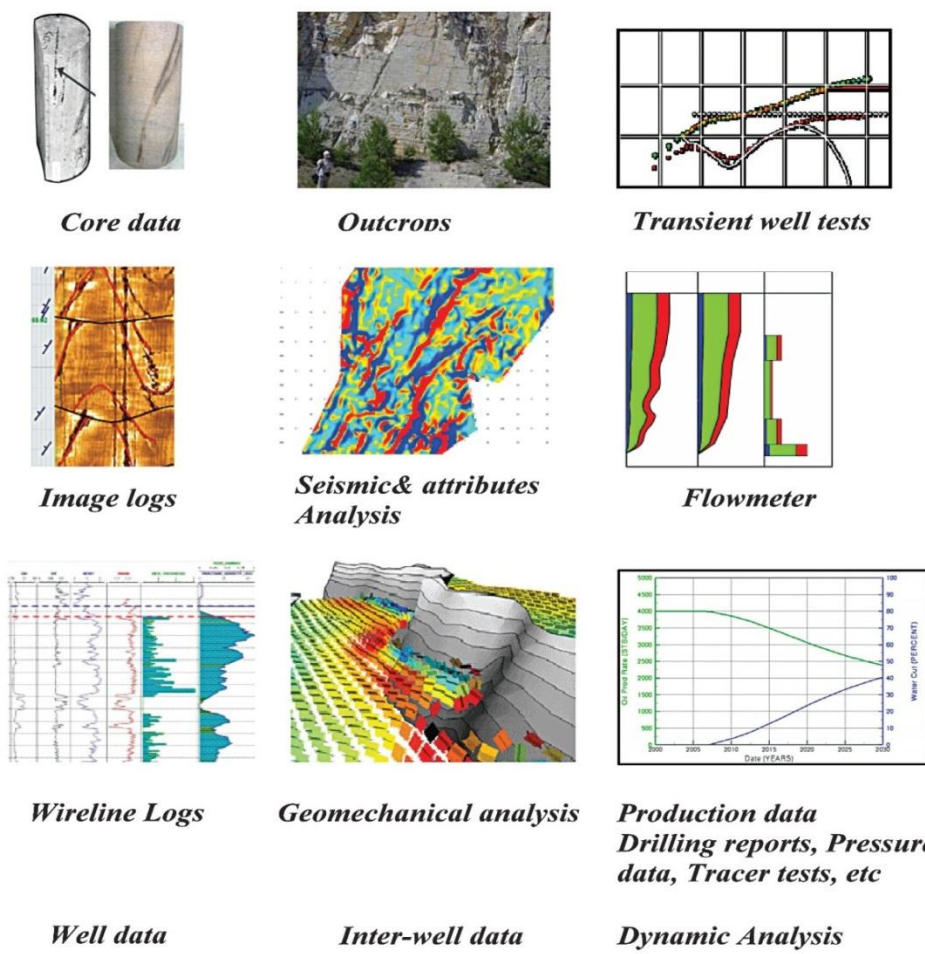
⁸⁸ Statistical Analysis

تاریخچه تولید، آزمایش‌های شاخص بهره‌دهی، چاه‌آزمایی، نمودارهای تولید چاه^{۸۹} و اطلاعات هرزروی گل فراهم شده است.

۲-۵ روش‌شناسی مورد استفاده در مطالعه مخازن شکافدار

به دلیل پیچیدگی رفتار مخازن شکافدار و نیز کمبود داده‌های مورد استفاده در آنالیز شبکه شکستگی‌ها لازم است در مطالعه شکستگی‌ها از همه اطلاعات موجود که می‌تواند ما را در تحلیل بهتر شکستگی‌ها یاری رساند، استفاده گردد. این اطلاعات گستره وسیعی از اطلاعات حاصل از مراحل اولیه اکتشاف و تولید مخزن مانند اطلاعات زمین‌شناسی و تکتونیک ناحیه‌ای، ژئوفیزیک، مدل‌ها و اطلاعات ژئومکانیک، حفاری، نمودارهای مختلف چاه‌پیمایی، چاه‌آزمایی و ...تا اطلاعات حاصل در حین بهره‌برداری و تولید از مخزن مانند تاریخچه تولید چاه‌ها و مخزن را شامل می‌شود (محبی، ۱۳۹۰) شکل (۲-۳).

^{۸۹} Production logging tools (PLT)



Static analysis

.(Fracflow user manual) Fracflow

استفاده مناسب و به جا از هر یک از داده‌های فوق می‌تواند ما را در شناخت بهتر رفتار شکستگی‌ها، مکانیزم‌های ایجاد و گسترش آنها و نیز نقش آنها در تولید و نهایتاً ساخت یک مدل مفهومی از شکستگی‌ها یاری رساند. بدیهی است که در این بین نقش داده‌هایی مانند اطلاعات مغزه و نمودارهای تصویری که مستقیماً اطلاعاتی در مورد شکاف‌ها ارائه می‌دهد بیشتر خواهد بود (محبی، ۱۳۹۰).

با انجام آنالیزهای مربوطه و استفاده از انواع مختلف داده‌های قابل استفاده در این نرم‌افزار می‌توان به درک بهتری از چگونگی توزیع شکستگی‌ها در مخزن رسیده و برآورد بهتری از نقش آنها در تولید از مخزن به دست آورد.

در این نرم‌افزار امکان انجام تحلیل‌های آماری و زمین‌آماری بر روی اطلاعات چاه و استفاده از داده‌های مختلف (هر نوع عاملی که می‌تواند در توسعه شکستگی‌ها در مخزن نقش داشته باشد) فراهم آمده است و در نتیجه می‌توان تأثیر عوامل مختلف را بررسی نموده و در ساخت مدل شکستگی مورد بهره‌برداری قرار داد.

مراحل کلی مطالعه و مدلسازی شکستگی در نرم‌افزار *Fracflow* شامل 4 مرحله زیر است (محبی، :۱۳۹۰)

الف. آنالیز اطلاعات موجود برای شناخت ویژگی‌های شکستگی‌ها و شبکه شکاف‌ها

ب. مدل‌سازی شکستگی‌ها و گسل‌ها به وسیله روش‌های تصادفی و ساخت مدل *DFN*

ج. کالیبراسیون مدل شکستگی‌ها با استفاده از اطلاعات دینامیک

د. محاسبه پارامترهای مختلف شکستگی‌ها مانند تراوایی، تخلخل

برای انجام مدلسازی در این مطالعه ابتدا آنالیزهای شکستگی بر روی تمامی شکستگی‌های باز در چاه‌های مورد مطالعه انجام شده است. اطلاعات لازم از جمله شیب انواع شکستگی‌های باز و شیب گسل، در صورت وجود، استخراج شده و امتداد هر کدام از آنها نیز در چاه‌های مورد مطالعه بررسی می‌گیرد. ارتباط گسل‌ها با سیستم شکستگی‌ها نیز باید بررسی گردد که آیا تشکیل این شکستگی‌ها بواسطه گسل بوده یا خیر؟ سپس براساس اطلاعات جهت‌گیری شکستگی‌ها، شکستگی‌های باز در تمامی چاه‌ها، همزمان آنالیز

شده و شکستگی‌ها در قالب دسته شکستگی‌ها^{۹۰} گروه‌بندی می‌شوند. همچنین شکستگی‌ها در چاه‌ها به صورت جداگانه در قالب دسته شکستگی‌ها مورد بررسی قرار گرفته و لاغ چگالی شکستگی در تمامی چاه‌ها محاسبه می‌گردد.

دهانه (جداشدگی) شکستگی‌ها نیز به عنوان دیگر ورودی لازم در مدلسازی، برای تمامی چاه‌ها محاسبه می‌گردد. شدت شکستگی نیز در هر چاه تعیین می‌شود.

در گام بعد چگالی شکستگی در هر یک از دسته شکستگی‌ها باید محاسبه گردد و همچنین چگالی شکستگی در هر یک از رخساره‌های سنگی نیز باید تعیین گردد.

اندازه شکستگی‌ها^{۹۱} یکی دیگر از ورودی‌های مدل شبکه گسسته شکستگی است که باید مشخص گردد.

ناحیه‌ای در اطراف چاه که شکستگی‌ها در آن قرار دارند دارای بیشترین تأثیر بر جریان سیال به طرف چاه را دارند. در گام بعدی باید ناحیه مورد نظر^{۹۲} (ZOI) برای چاه‌هایی که دارای اطلاعات شکستگی هستند محاسبه گردد.

و در نهایت مدل شبکه گسسته شکستگی ساخته می‌شود. هر یک از دسته شکستگی‌ها باید در فرآیند مدلسازی تعریف گردند و اطلاعات به دست آمده در مراحل قبلی در این مرحله استفاده می‌شوند.

در گام آخر، آنالیز دینامیکی^{۹۳} در چاه‌هایی که دارای اطلاعات دینامیکی هستند، انجام می‌گیرد و نتایج آن با نتایج مدل ساخته شده مقایسه می‌گردد.

⁹⁰ Fracture Sets

⁹¹ Fracture size

⁹² Zone Of Interest

⁹³ Dynamic Analysis

۶-۲ جمع‌بندی و نتیجه‌گیری

در این فصل با بیان کلیاتی درباره شکستگی‌ها، به تعریفی از شکستگی‌ها، انواع شکستگی‌ها و طبقه‌بندی آنها بر مبنای مورفولوژی پرداخته شده است. شناسایی شکستگی‌ها با استفاده از روش‌های زیادی، مستقیم و غیر مستقیم، انجام می‌گیرد. استفاده از نمودارهای تصویری متداول‌ترین و از دقیقترین روش‌های شناسایی شکستگی است که می‌توان اطلاعات آماری مفیدی از شکستگی‌ها که مبنای مدل‌سازی آنها است را به دست آورد. از مهمترین روش‌های مدل‌سازی شکستگی‌ها، روش تصادفی شبکه گسسته شکستگی است. مفاهیم مربوط به این روش نیز در این فصل بررسی گردید. در مدل‌سازی شکستگی‌ها در این مطالعه از نرم‌افزار *fracaflow* استفاده گردیده است. این نرم‌افزار بر مبنای مدل‌های تصادفی شبکه گسسته شکستگی است.

۳ فصل سوم

زمین‌شناسی میدان مورد مطالعه و

تحلیل آماری شکستگی‌های موجود

۱-۳ مقدمه

مطالعه زمین‌شناسی و ساختارهای ساختمانی میدان‌های هیدروکربوری می‌تواند در شناخت هرچه بیشتر تشکیل شکستگی‌ها و نحوه توزیع آنها در میدان کمک شایانی نماید. در بخش اول این فصل، به مطالعه زمین‌شناسی میدان مورد مطالعه پرداخته و در بخش دیگر، بررسی آماری نتایج به دست آمده از تفسیر نمودارهای تصویری در چاههای مختلف ارائه شده است.

۲-۳ ناحیه مورد مطالعه

با توجه به اینکه مطالعه حاضر بر روی یکی از میادین جنوب ایران (واقع در خلیج‌فارس) انجام شده است، در این قسمت مختصراً از موقعیت جغرافیایی و زمین‌شناسی خلیج‌فارس بیان می‌شود.

خلیج‌فارس^{۹۴} در حاشیه شرقی منطقه عربی، بین عرض‌های جغرافیایی ۲۳ تا ۳۰ درجه شمالی و طول-های جغرافیایی ۳۸ تا ۷۰ درجه شرقی واقع شده است. خلیج‌فارس ۱۰۰۰ کیلومتر طول و ۲۰۰ الى ۳۰۰ کیلومتر عرض دارد. عمق متوسط آن ۳۵ متر و حداقل عمق آن ۱۰۰ متر است. این خلیج در حوضه‌ای تکتونیکی مربوط به اواخر پلیوسن تا پلئیستوسن بوده که مورفولوژی آن به شدت تحت تاثیر فرآیندهای تکتونیکی قرار گرفته است. در ژئوسنکلینال خلیج‌فارس تا دوران دوم فعالیت تکتونیکی عمدت‌های رخ نداده است. از زمان پرمین، حرکت نمک‌های پرکامبرین بصورت ساختمان‌های دیاپیری و گنبدهای رشدی باعث ایجاد ساختمان‌های زمین‌شناسی شده است (آذین، ۱۳۸۸).

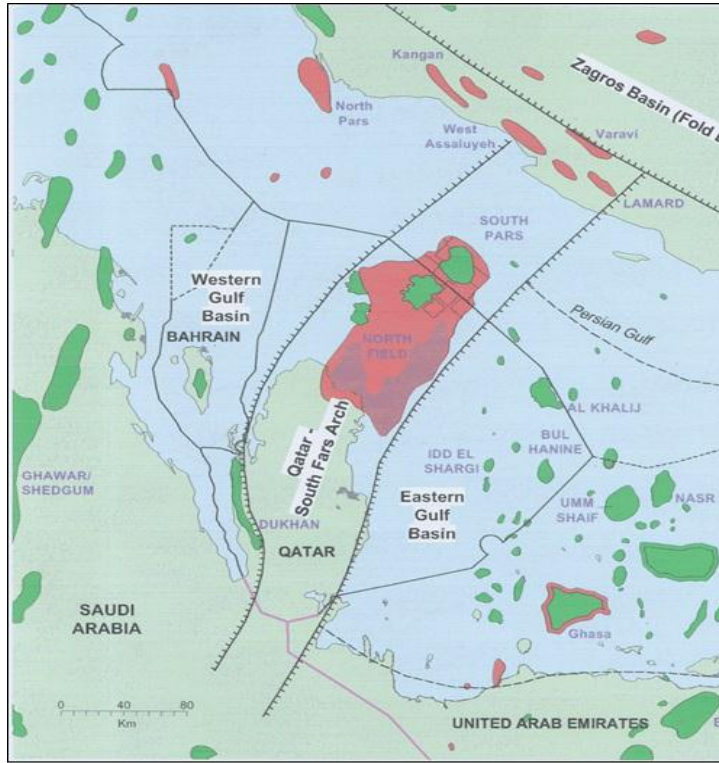
^{۹۴} Persian Gulf

۳-۲-۱ موقعیت جغرافیایی میدان

میدان مورد مطالعه در موقعیت ۵۲ تا ۵۲/۵ درجه شرقی و ۲۷ تا ۲۶/۵ درجه شمالی قرار دارد. این میدان بزرگترین میدان گازی غیر همراه جهان است. این میدان در سال ۱۹۹۰ میلادی کشف شد و در ۱۰۰ کیلومتری جنوب غربی بندر عسلویه در آب‌های خلیج‌فارس واقع است، که ادامه میادین گازی گنبد شمالی^{۹۵} امیرنشین قطر می‌باشد (شکل ۱-۲). قسمت قطربی این میدان توسط شرکت شل در سال ۱۹۷۱ با حفاری چاه گنبد شمال غربی کشف گردید. مساحت کل این میدان ۱۰۰۰۰ کیلومتر مربع است که ۳۷۰۰ کیلومتر مربع از آن متعلق به ایران می‌باشد. سازندهای دالان و کنگان به سن پرموترياس، مخازن اصلی این میدان را تشکیل می‌دهند که غالباً حاوی گاز و محصولات میانی می‌باشند. این دو سازند به لحاظ لیتولوژی^{۹۶} بیشتر از آهک، انیدریت و دولومیت می‌باشند. میدان مورد مطالعه و گنبد شمالی در کنار هم و با بیش از ۱۲۰۰ تریلیون فوت مکعب گاز درجا بزرگترین میدان گازی دنیا را تشکیل می‌دهند .(Aali et al., 2006)

^{۹۵} North Dome

^{۹۶} Lithology



شکل ۱-۳ موقعیت جغرافیایی میدان مورد مطالعه و گنبد شمالی واقع در خلیج فارس (Aali et al., 2006).

۲-۳ تاریخچه حفاری میدان

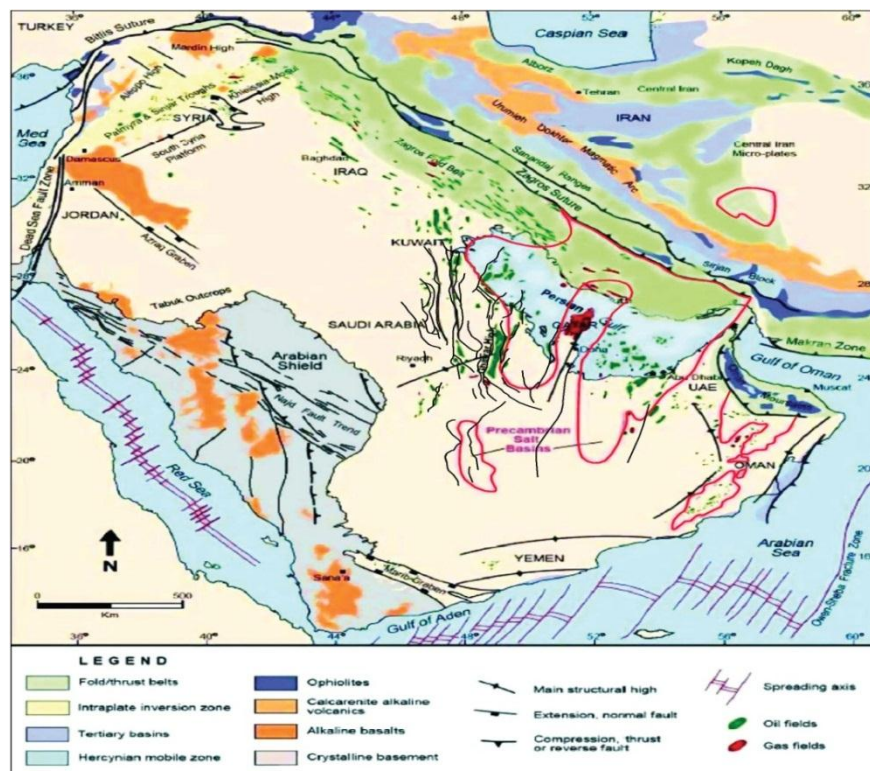
در سال ۱۳۶۷ عملیات لرزه‌نگاری دریایی در منطقه‌ای از آب‌های خلیج فارس در مقابل آب‌های قطر که بنام بلوک پنج نامیده شد، اطلاعات مهمی در مورد گسترش ناحیه شمالی ساختمان گنبد شمالی در کشور قطر بداخل آب‌های ایران عرضه نمود. این مرحله برداشت‌های لرزه‌نگاری منحصر به آب‌های میانی و به موازات خط مرزی در خلیج فارس اختصاص یافت. عملیات فوق به منظور تامین اهداف اکتشافی در جهت کشف میادین مشترک جدید و مشخص نمودن حدود و وسعت میادین و یا ساختمان‌های زمین-شناسی مشترک شناخته شده بود. نتیجه این برداشت‌های اولیه، کشف پدیده‌های مثبت زمین‌شناسی متعدد در مناطق مختلف بوده که از آن جمله، ساختمان زمین‌شناسی میدان مورد مطالعه است که ادامه

یال شمالی میدان عظیم گازی شمال امیرنشین قطر می‌باشد. مرحله دوم لرزه‌نگاری که در سال‌های ۱۳۶۸ تا ۱۳۶۹ در مناطق مختلف دیگر از جمله بخش شمال شرقی ساختمان میدان انجام پذیرفت، ابعاد گسترده‌تر از وسعت میدان مذکور را در اختیار گذاشت و حد انتهایی سطح آب و گاز کسب شده از گزارشات منتشره در مجلات نفتی را تا اندازه قابل اطمینانی مشخص نمود. بر اساس اطلاعات حاصله از برداشت‌های لرزه‌نگاری و حفاری اولین چاه اکتشافی در منطقه قله‌ی ساختمان، نزدیک به خط میانی آب‌های خلیج فارس در اسفند ماه ۱۳۶۹ شروع گردید. عملیات حفاری این چاه در عمق ۳۵۲۲ متری در رسوبات فراقان در تاریخ ۱۳۷۰/۱۰/۱۱ به پایان رسید و نتیجه بررسی‌های حفاری و آزمایشات بهره‌دهی وجود مواد هیدروکربوری در طبقات جهرم (نفت آسفالتی - قیر)، داریان، گدوان و فهلیان (نفت)، سورمه بالایی (نفت سنگین) و مقادیر عظیمی از هیدروکربورهای گازی در سازندهای کنگان و دلان را مشخص نمود (نجم آبادی، ۱۳۷۲).

۳-۲-۳ ساختار میدان مورد مطالعه

این میدان در فراساحل ایران، قسمتی از کمان قطر - گاویندی^{۹۷} است که در قسمت شرقی صفحه عربی تشکیل شده و به نظر می‌رسد، تصادم عمار در ۶۴۰-۶۲۰ میلیون سال پیش عامل اصلی پیدایش این کمان بوده که در یک روند شمالی - جنوبی، شبه جزیره عربستان را در طول جغرافیایی E ۴۵° قطع نموده است (Al-Husseini *et al.*, 2000). در میان عوامل زمین‌ساختی مؤثر در شکل و موقعیت منطقه خاورمیانه، به نظر می‌رسد که ساختمان اولیه و اصلی پی‌سنگ، بیشترین اثر را در پیدایش ساختمان این میدان با روند شمالی - جنوبی داشته است و سایر عوامل همچون جنبش‌های نمک و حرکات کوه‌زایی میوسن میانی (کوه‌زایی زاگرس) ضعیف‌تر عمل نموده‌اند (شکل ۲-۲) (Konert *et al.*, 2001).

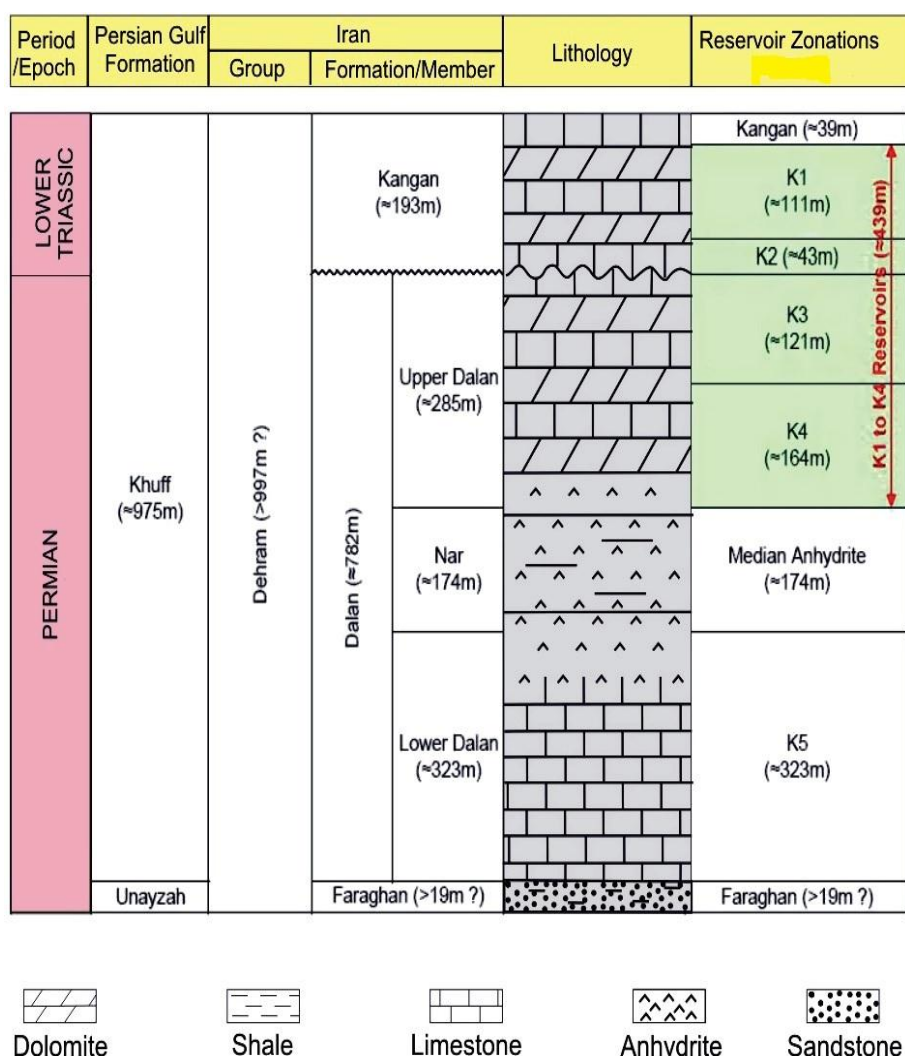
^{۹۷} Qatar-Gavbandi Arch



شکل ۲-۳ کمان قطر-فارس، حوضه‌های نمکی پرکامبرین در منطقه خلیج‌فارس و موقعیت گسل‌های پی‌سنگی با امتداد شمال-شمال‌شرق در خاورمیانه و پیرامون میدان گازی (*Konert et al., 2001*).

حضور سکانس‌های عظیم کربناته کم‌عمق که از زمان پیشروی دریا در پرمین، بر روی سنگ‌های پالئوزوئیک زیرین در حاشیه شمال شرقی صفحه عربی نهشته گردیده‌اند، همراه با وضعیت مطلوب ساختمان منطقه و حضور گستره وسیعی از سنگ‌های منشأ غنی در حوضه عربستان با سن سیلورین، زمینه‌سازهای اصلی حضور مخازن عظیم هیدروکربوری در این منطقه محسوب می‌گردند. اتصال هیدرولیکی واحدهای مخزنی دو سازند کنگان و دالان سبب شده است که به طور پیوسته به عنوان یک مخزن گازی در نظر گرفته شوند و تنها بر مبنای ویژگی‌های مخزنی و سکانس استراتیگرافی، به چهار واحد مخزنی گازی K1 تا K4 تفکیک گردند (شکل ۳-۲). مطالعات انجام گرفته حکایت از آن دارد که تغییرات ضخامت و لیتو‌لوژی این واحدهای مخزنی در جهت افقی ناچیز بوده و پارامترهای مخزنی به شدت تحت

کنترل دیاژنزهای قبل از تدفین، به ویژه آبشویی و دولومیتی شدن قرار دارند. از طرف دیگر، سیمان‌شده‌گی منافذ و شکستگی‌ها با اnidritیت نیز نقش مهمی در کاهش کیفیت مخزنی این واحدها ایفا می‌نماید. سازندهای کنگان و دلان با سن پرمین بالایی و تریاس زیرین (لطفپور و همکاران، ۱۳۷۹) مخزن اصلی ذخایر گازی خلیج فارس را تشکیل می‌دهند. در ادامه به توضیح دو سازند مخزنی کنگان و دلان پرداخته می‌شود (شکل ۴-۲).



شکل ۳-۳ طبقه‌بندی ارائه شده برای واحدهای سنگی پرموترياس (خان محمدی، ۱۳۸۹).

۱-۳-۲-۳ سازند کنگان

کنگان نام شهرستانی در نزدیکی میدان عظیم گازی کنگان در حاشیه خلیج فارس است که در ۲۷۰ کیلومتری جنوب بندر بوشهر قرار دارد. برش نمونه این سازند در چاه شماره یک کوه سیاه واقع در طاقدیسی به همین نام که در جنوب شرقی بوشهر و در شرق تاقدیس و گنبد نمکی خورموج قرار دارد، انتخاب شده است که دارای ضخامت ۱۷۸ متر در برش مقطع است و در چاه سطح‌الارضی کوه سورمه ضخامت این سازند به ۱۷۰ متر می‌رسد. سازند کنگان متعلق به تریاس زیرین است که مرز پایینی آن با سازند دلان ناپیوستگی دارد. مرز بالایی این سازند با بخش شیلی آغار از سازند دشتک پیوسته و هم شیب است. ضخامت این سازند در چاه‌های حفاری شده، ۱۵۰ تا ۱۵۵ متر می‌باشد. این سازند دارای سه واحد زمین‌شناسی کنگان بالایی، K1 و K2 است. از لحاظ مخزنی این سازند به دو واحد K1 و K2 تقسیم می‌شود. ضخامت واحد K1 تقریباً ۱۱۰ متر و ضخامت واحد مخزنی K2 تقریباً ۴۰ تا ۴۵ متر است. هر کدام از این واحدها خود بر اساس لیتولوژی به چند زیر واحد تقسیم می‌شوند. واحد مخزنی K1 بر اساس لیتولوژی به سه بخش تقسیم می‌شود که شامل واحد دولومیتی در بالا، واحد آهکی در وسط و واحد دولومیتی-انیدریتی در پایین است (شکل ۴-۲).

واحد K1 که مصادف با بخش بالایی سازند کنگان است، شامل سنگ رس، توالی دولومیت و آهک و لایه‌های انیدریتی می‌باشد. بر اساس تفاوت خصوصیات سنگ‌شناسی و مخزنی این واحد به سه زیر واحد مخزنی مجزا شامل K_{1a} و K_{1b} و K_{1c} تقسیم می‌شود. زیر واحد K_{1a} عمدتاً دولومیتی و شیلی، و K_{1b} اغلب آهکی و واحد K_{1c} شامل توالی دولومیت و آهک است. برخی لایه‌های انیدریتی ضخیم در مرز پایینی K1 و در بخش بالایی این واحد توالی لایه‌های انیدریت و شیل دیده می‌شود (شیل آغار). وجود لایه‌ها و پلاگ‌های انیدریتی در بخش دولومیتی باعث کیفیت پایین تا متوسط مخزنی در این زیر واحد شده است.

واحد K_2 به لحاظ سنگ‌شناسی غالباً دولومیت و لایه‌های انیدریتی (بخش‌های بالایی) و آهک (بخش‌های پایینی) است. بر اساس تفاوت خصوصیات سنگ‌شناسی و مخزنی این واحد، به دو زیر واحد مخزنی مجزا شامل K_{2a} و K_{2b} تقسیم می‌شود. زیر واحد K_{2a} عمدتاً دولومیتی با میان لایه‌های انیدریتی و K_{2b} اغلب آهکی با توالی دولومیت است. این بازه به خاطر وجود تخلخل قابل مشاهده دارای کیفیت بالای مخزنی است. تخلخل غالب در این رخساره تخلخل‌های بین بلوری و قالبی و بین دانه‌ای است. مقدار سیمان‌های ثانویه انیدریتی ناچیز است که خود باعث حفظ تخلخل در این رخساره شده است.

۲-۳-۲ سازند دالان

سازند دالان با لیتولوژی آهک و دولومیت، یکی از بزرگترین مخازن گاز در حوضه خلیج فارس می‌باشد. نام این سازند از طاقدیسی به همین نام واقع در فاصله تقریبی ۱۱۰ کیلومتری جنوب شرقی شیراز، انتخاب شده است و چاه شماره یک اکتشافی دالان در همین طاقدیس حفاری شده است. برش نمونه این سازند تحت الارضی است و در چاه اکتشافی شماره یک کوه سیاه بین اعماق ۲۸۶۹ تا ۳۶۱۷ متر قرار دارد و ضخامت آن به ۷۴۸ متر می‌رسد. قابل دسترس‌ترین برش سطحی این سازند در دامنه شرقی کوه سورمه قرار دارد که ضخامت این سازند در آنجا به ۶۳۸ متر می‌رسد. کوه سورمه در استان فارس و در ۱۱۰ کیلومتری جنوب شیراز قرار دارد. این سازند دارای دو واحد مخزنی K_3 و K_4 و بخش انیدریتی نار می‌باشد (شکل ۴-۲).

واحد K_3 با ضخامت تقریبی ۱۲۵ متری به سن پرمین بالایی است. واحدهای K_4 با ضخامت تقریبی ۱۵۹ متری نیز به سن پرمین بالایی است. هر کدام از این واحدها خود بر اساس لیتولوژی به چند زیر واحد تقسیم می‌شوند. واحد مخزن K_3 بر اساس لیتولوژی به سه بخش دولومیتی تقسیم می‌شود.

واحد K3 که مطابق با بخش بالایی سازند دلان است، اغلب شامل رخساره‌های دولومیتی، آنیدریت و سنگ‌آهک است. بر اساس تفاوت خصوصیات سنگ شناسی و مخزنی واحد به سه زیر واحد مخزنی مجزا شامل K_{3a} و K_{3b} و K_{3c} تقسیم می‌شود. از لحاظ خصوصیات مخزنی در مقایسه با سایر واحدها به عنوان یک واحد غیرمخزنی شناخته می‌شود.

واحد K4 به عنوان توده مخزنی عمدۀ در خلیج فارس شناخته شده است که بعد از توده‌های آنیدریتی نار ته‌نشست شده است. در این واحد زیر واحدهای مخزنی با کیفیت بالا وجود دارد. سنگ شناسی غالب این واحد دولومیت، رخساره‌های آهکی در بخش میانی، آهک دولومیتی و دولومیت آهکی است. بر اساس تفاوت خصوصیات سنگ‌شناسی و مخزنی این واحد، به سه زیر واحد مخزنی مجزا شامل K_{4a} و K_{4b} و K_{4c} تقسیم می‌شود. K_{4a} اغلب دولومیتی با کیفیت مخزنی بالا، و K_{4b} اغلب آهکی و K_{4c} اغلب دولومیتی است.

Geologic Time Units		Lithostratigraphic Units		Group	Formations and Lithostratigraphic Units		
Period	Epoch / Age	Qatar			South Pars		
T E R T I A R	Oligocene- Miocene	FARS	Middle Lower	Fars	Mishan		
	Paleocene- Eocene	Dammam	Dammam		Gachsaran		
		Rus	Rus		Asmari		
		Umm e Radhuma	Umm e Radhuma		Jahrum		
	Campa.- Santonian	Aruma	Simsima Fiqa Halul Lafan		Sachun Equiv.	Anh. Facies *	
	Ceno. Turonian	Wasia	Mishrif		Ilam (<i>Halil</i>)		
	Alb.- Cenimanian		Ahmadi		Laffan		
			Maudud		Sarvak	Upper Sarvak	
			Nahr Umr		Ahmadi Mbr.	Ahmadi Mbr.	
	Barremian - Aptian		Shuaiba			Maudud Mbr.	
C R E T A C E O U S	Valanjian	Thamama	Kharaiib	Bangestan	Kazhdumi		
	Berriasian		Ratawi(Yamama)		Burgan sand		
			Sulaiy		Dariyan		
			Hith		Gadvan	Upper Gadvan	
	Malm	Qatar	Arab A			Khalij Mbr.	
			Arab B			Lower Gadvan	
			Arab C				
			Darb				
J U R A S S I C	Dogger	Diyab	Diyab(Jubaila)	Surmeh	Fahliyan		
			Hanifa		Hith		
		Dhruma	Dhruma		Up. Surmeh		
	Liassic		Marrat		Up. Dolomite **		
			Gulaillah		Up. Limestone		
T R I A S S I C		Sudair	Khail		Mid. Limestone **		
			Sudair		Mand Mbr		
		Khuf		Dashtak	Low. Limestone		
					Low. Surmeh Shale		
P E R M I A	Middle - Upper	Khuf	Khuf		Lithiotis Bed		
	Lower	Tawil			Neyriz		
					Up. Dashtak		
					Evaporite B		
				Kazerun	Up. Sudair		
					Massive Anhydrite		
					Low. Sudair		
					Aghar Shales		
P E R M I A				Kangan	Kangan		
					K1		
				Dalan	K2		
					Upper		
					K3		
					K4		
					Nar Mbr.		
					Lower Dalan		
					Faraghoun		

شكل ٤-٣ چینه‌شناسی میدان مورد مطالعه.

۳-۲-۴-ساز و کار شکل‌گیری شکستگی‌های طبیعی در میدان مورد مطالعه

یکی از پیچیدگی‌های موجود در طبیعت، حضور سیستم‌های شکستگی در آن دسته از طبقات رسوبی است که تغییر شکل تکتونیکی مشخصی را نشان نمی‌دهند. صرف نظر از عملکرد عوامل دیاژنزی در پیدایش پاره‌ای از شکستگی‌های طبیعی با جهت‌یابی‌های پراکنده و تصادفی، عدم حضور سطوح گسلی و چین‌خوردگی، تفسیر شکستگی‌های طبیعی را در طبقات رسوبی مسطح دشوار نموده و زمین‌شناسان را دچار تردید می‌سازد. این میدان گازی نیز نمونه‌ای از این موارد است که تغییرات ناچیز در شیب لایه‌بندی و انحنای ساختمانی از یک طرف و فقدان سطوح گسلی و گنبدهای نمکی از طرف دیگر، تحلیل هندسی شکستگی‌های مشاهده شده بر روی نمودارهای الکتریکی FMI را دشوار نموده است. بنابراین با توجه به آنچه که گفته شد، می‌توان از عوامل تکتونیکی محلی به عنوان فاکتورهای شکل‌دهنده شکستگی در این میدان صرف نظر نمود. اما با توجه به اهمیت گسل‌های پی‌سنگی با روند شمال - شمال شرقی در شکل‌گیری ساختمان میدان و تشابه روند شکستگی‌های واحدهای سنگی پرموترياس با شکستگی‌های سازندهای چین‌خوردۀ آسماری و سروک (Ahmadhadi et al., 2008)، عملکرد سه عامل منطقه‌ای در پیدایش این شکستگی‌ها، توجه بیشتری را به خود جلب کرده است (خان محمدی، ۱۳۸۹). این عوامل عبارتند از:

❖ حضور گسل‌های پی‌سنگی و فعالیت حاصل از آنها که عامل کنترل‌کننده ضخامت و توزیع

رخساره‌های رسوبی طبقات فوقانی آنها محسوب می‌گردد.

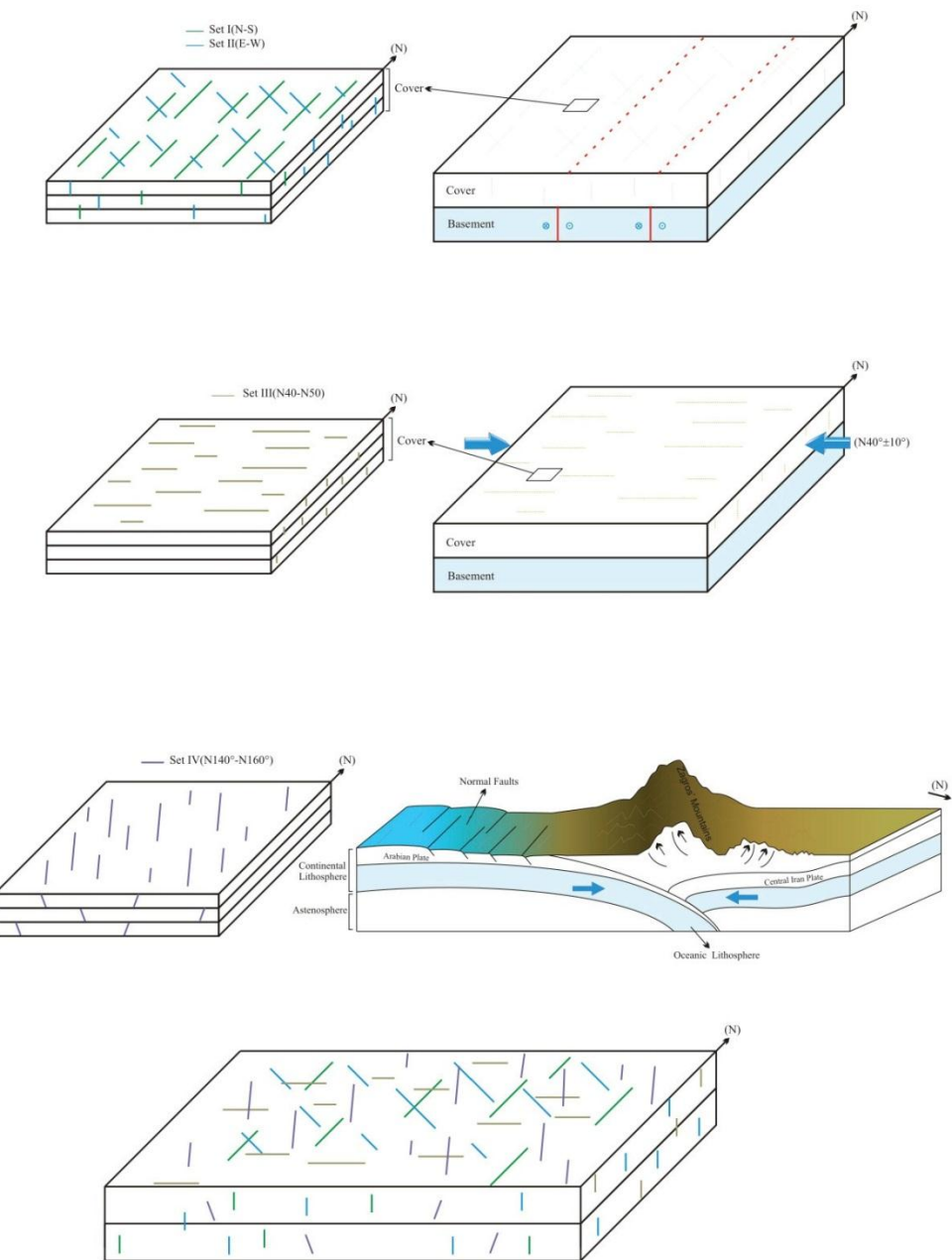
❖ اختلاف فشارش ناشی از تغییرات ضخامت در طول حوضه، یکی از پارامترهای ایجاد‌کننده

شکستگی در پی‌سنگ است. فعالیت بعدی این شکستگی‌ها، منجر به شکستگی‌های بعدی در مقیاس منطقه‌ای می‌شود.

❖ بارگذاری‌های حاصل از چین‌خوردگی و ایجاد انحنای منطقه‌ای در قسمت پیش بوم حوضه (در

نتیجه فرورانش صفحه عربی به زیر صفحه ایران مرکزی) که عامل تراستی شدن طبقات و شکستگی

آنها در طول حوضه می‌گردد.

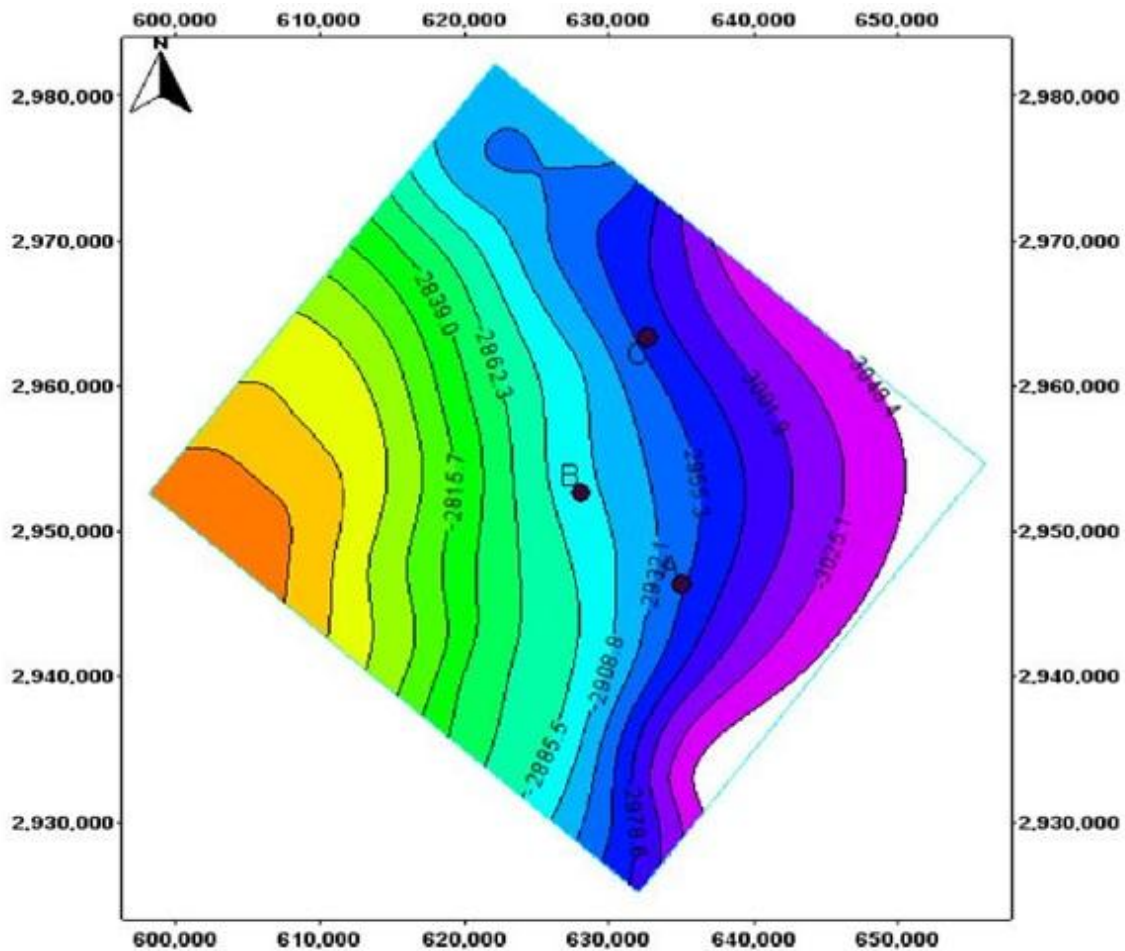


شکل ۵-۳ مدل مفهومی پیدایش سری‌های مختلف شکستگی در سازندهای

کنگان و دلان (خان محمدی، ۱۳۸۹).

۳-۳ موقعیت چاههای مورد مطالعه در میدان

در این مطالعه از سه چاه اکتشافی واقع در میدان که تقریباً در همسایگی هم نیز می‌باشند، استفاده شده است. در شکل (۳-۶) موقعیت سه چاه مذکور بر روی نقشه افق لرزه‌ای میدان در بلوک انتخابی آورده شده است.



شکل ۳-۶ موقعیت مکانی چاههای مورد مطالعه بر روی نقشه افق لرزه‌ای در بلوک انتخابی

۴-۳ تحلیل آماری داده‌های شکستگی

در این بخش به تحلیل آماری شکستگی‌های ثبت شده توسط نمودارهای تصویری در سه اکتشافی A و B پرداخته شده است.

اساس کار در بخش تحلیل آماری، تجزیه و تحلیل بر روی انواع شکستگی‌ها می‌باشد. اطلاعات به دست آمده از تفسیر نمودارهای تصویری به دو بخش لایه‌بندی و انواع شکستگی‌ها تقسیم شده و هر دسته به طور جداگانه مورد تجزیه و تحلیل قرار گرفته است.

بررسی آماری داده‌ها پیش از تعبیر و تفسیر، باعث حذف جزئیاتی می‌شوند که متأثر از تغییرات جزئی در میدان تنش بوده و لزوماً مبین عدم صحت اطلاعات نیستند. بنابراین دسته‌بندی و تفسیر زایشی شکستگی‌ها، مقدم بر بررسی‌های آماری می‌باشد. شایان ذکر است که دامنه تغییرات ذکر شده برای شیب و آزیموت پدیده‌ها، به میزان یک برابر انحراف معیار حول میانگین در نظر گرفته شده است.

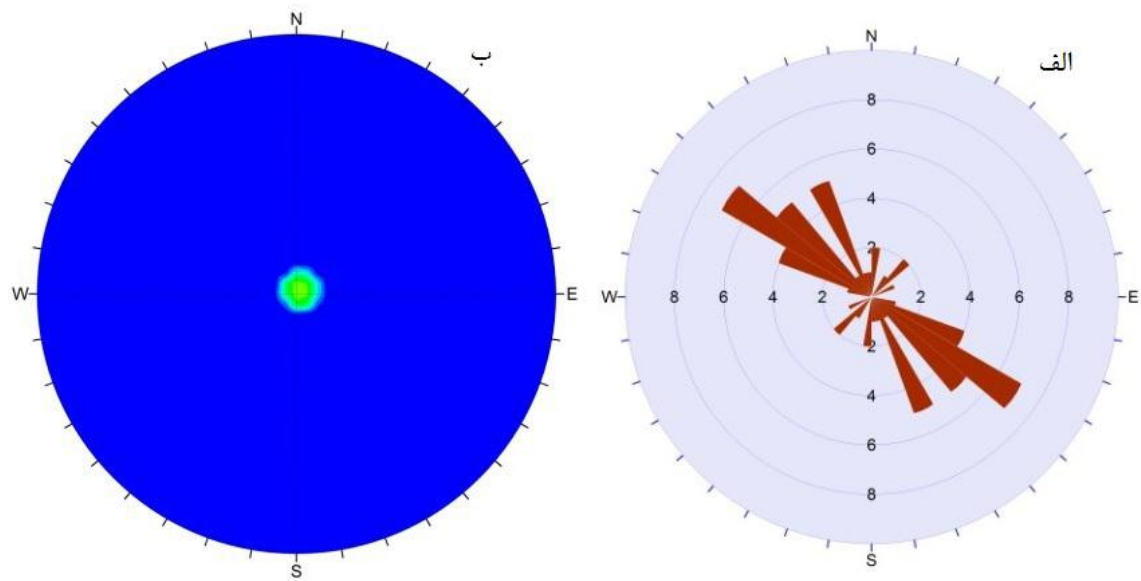
۱-۴-۳ چاه A

این چاه در بازه ۲۸۱۲ متری تا ۳۲۹۷ متری نمودارگیری شده است.

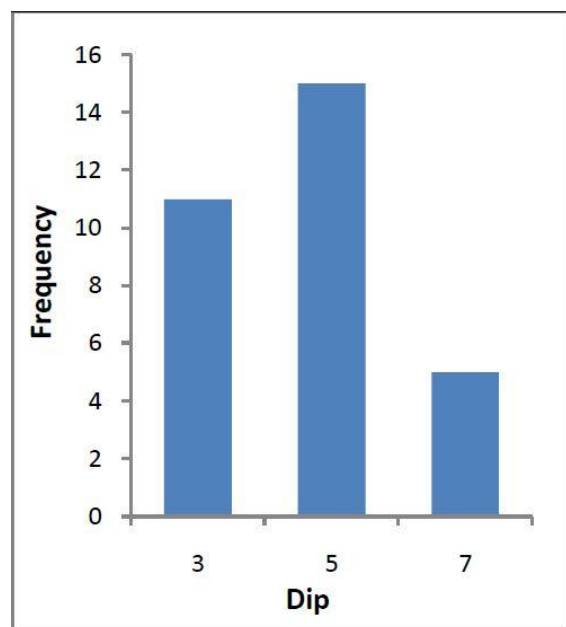
۱-۱-۴-۳ لایه‌بندی

شیب ساختمانی در کل بازه تفسیرشده $N35E$ و با زاویه میل^{۹۸} سه درجه و امتداد $N55W-S55E$ ^{۹۹} است شکل (۷-۳ و ۸-۳).

⁹⁸ Inclination
⁹⁹ Strike



شکل ۷-۳ نمودار گلسرخی (الف) و قطبی (ب) لایه‌بندی در چاه A



شکل ۸-۳ تغییرات شیب لایه‌بندی در چاه A

۲-۱-۴-۳ شکستگی‌ها

برای تحلیل شکستگی‌ها ابتدا شکستگی‌های تفسیر شده در دو دسته شکستگی‌های طبیعی و شکستگی‌های القایی تفکیک شده و تحلیل‌های آماری جداگانه‌ای برای هر دسته انجام شد.

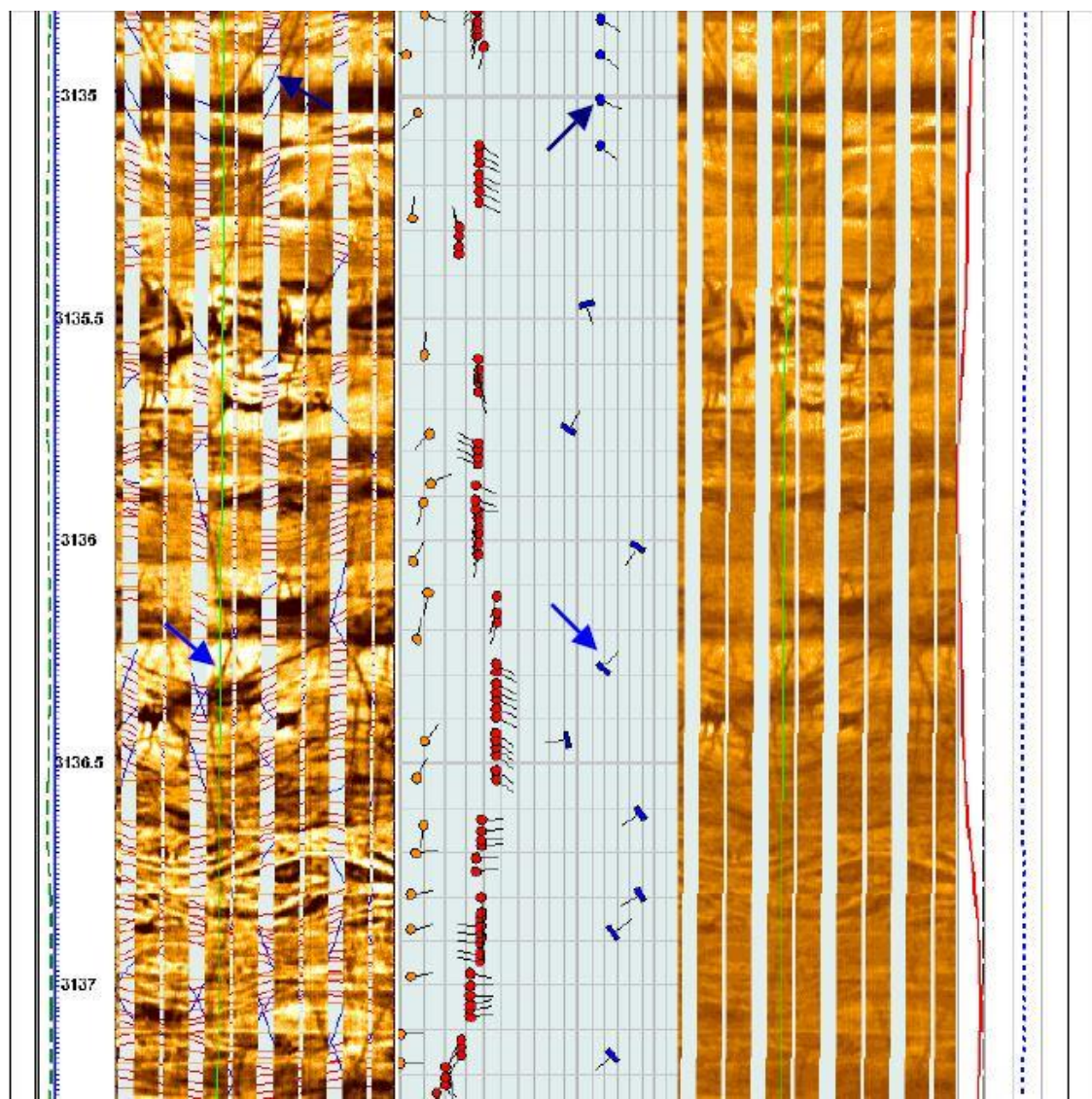
الف) شکستگی‌های طبیعی

همان‌طور که پیش‌تر اشاره شد، این دسته از شکستگی‌ها به دو گروه شکستگی‌های باز و پرشده تقسیم‌بندی می‌شوند.

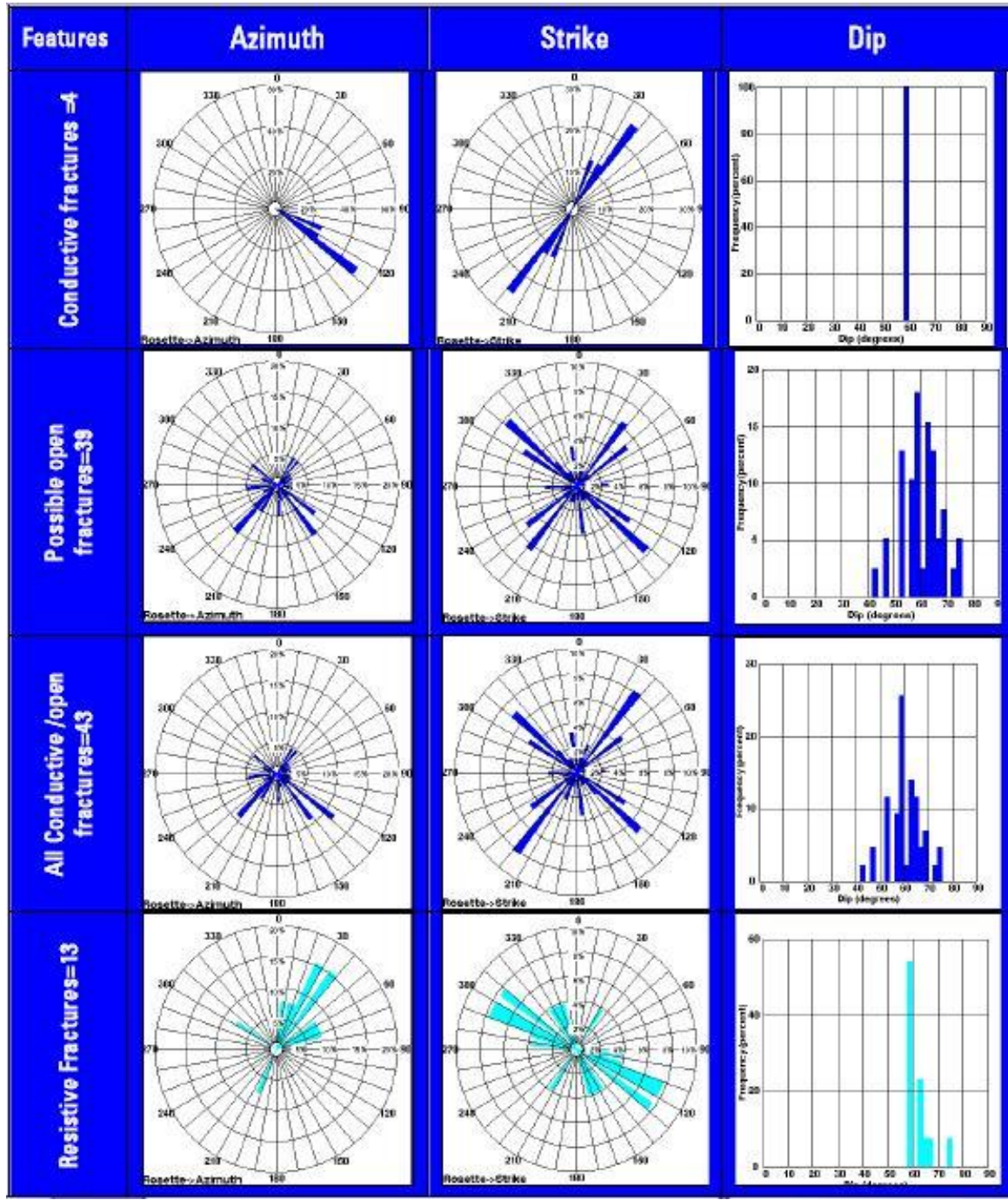
تعداد ۱۱۰ شکستگی باز که شامل سه گروه شکستگی‌های باز پیوسته، شکستگی‌های باز ناپیوسته/حفره‌ای و شکستگی‌های محتمل باز در این گمانه شناسایی شده است شکل (۹-۳ و ۱۱-۳).^{۱۰۰} اگرچه اغلب این شکستگی‌ها دارای اثرات ناپیوسته کمتری بر روی تصاویر هستند و در نتیجه ممکن است دارای سهم قابل توجه در جریان سیال نباشند. ولی تنها ۴۳ شکستگی باز دارای نتایج تفسیر (نشانگر شیب^{۱۰۰}) می‌باشند. شکستگی‌های باز دارای شیب میانگین ۶۰ درجه هستند و همچنین دارای روند استرایک غالب $N35E-S35W$ می‌باشند شکل (۱۰-۳).

تعداد ۱۳ شکستگی، که ظاهراً توسط مواد مقاوم پرشده‌اند، به عنوان شکستگی‌های مقاوم بر روی تصاویر شناسایی شده‌اند شکل (۱۱-۳). شکستگی‌های مقاوم پراکندگی در جهت آزمیوتاشان از خود نشان می‌دهند، اگرچه یک جهت استرایک غالب از خود نشان می‌دهند که به سمت $N65W$ می‌باشد. شیب آنها از ۵۸ تا ۷۵ درجه تغییر می‌کند و میانگین شیب ۶۲ درجه می‌باشد شکل (۱۰-۳).

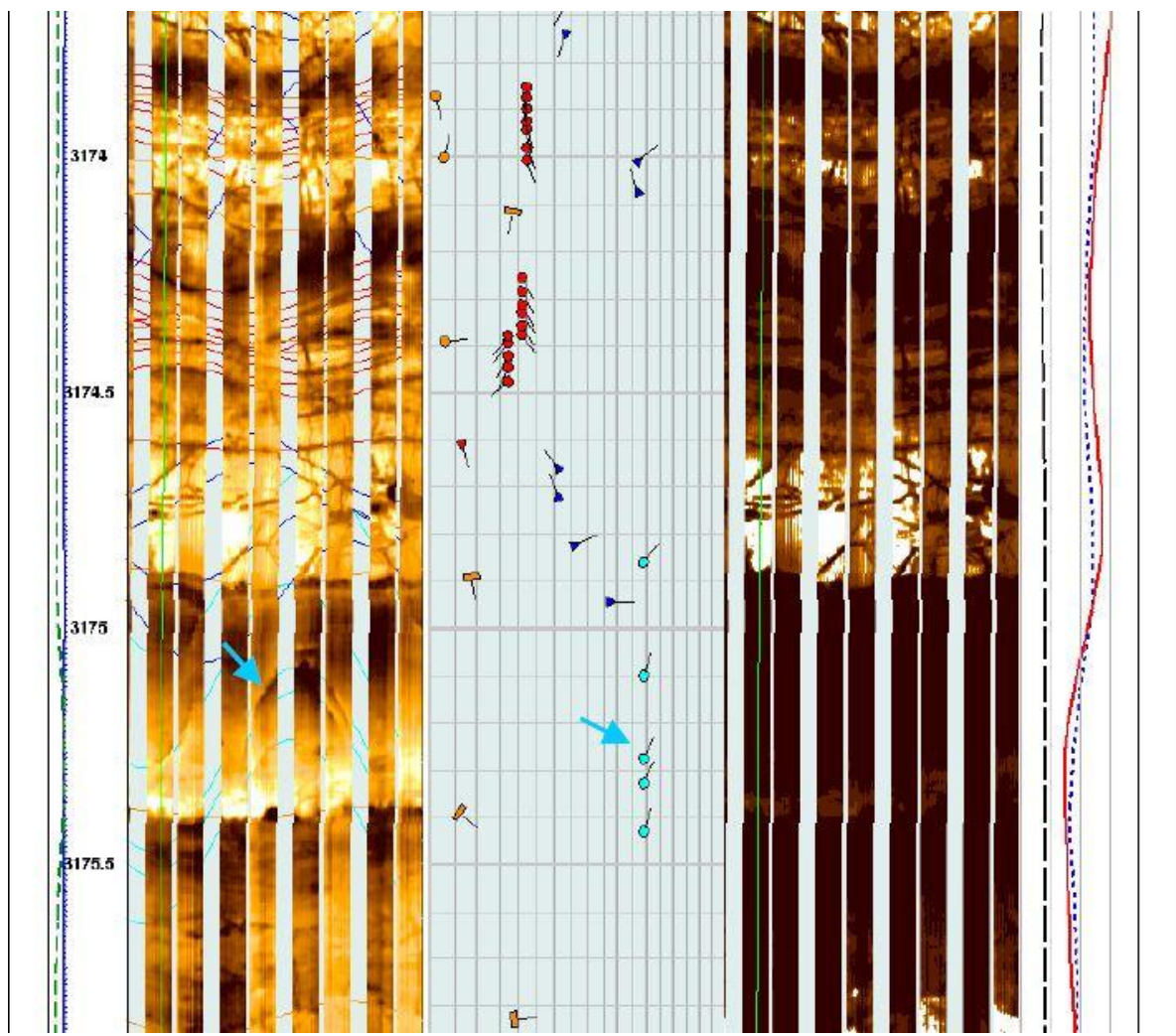
¹⁰⁰ Dip Attribute



شکل ۹-۳ شکستگی‌های رسانا (پیکان آبی رنگ با تدپل دایره‌ای)، شکستگی‌های محتمل باز (پیکان آبی رنگ با تدپل منفی).



شکل ۱۰-۳ اطلاعات مربوط به جهت شیب و امتداد شکستگی ها در کل فاصله نمودارگیری شده در چاه A



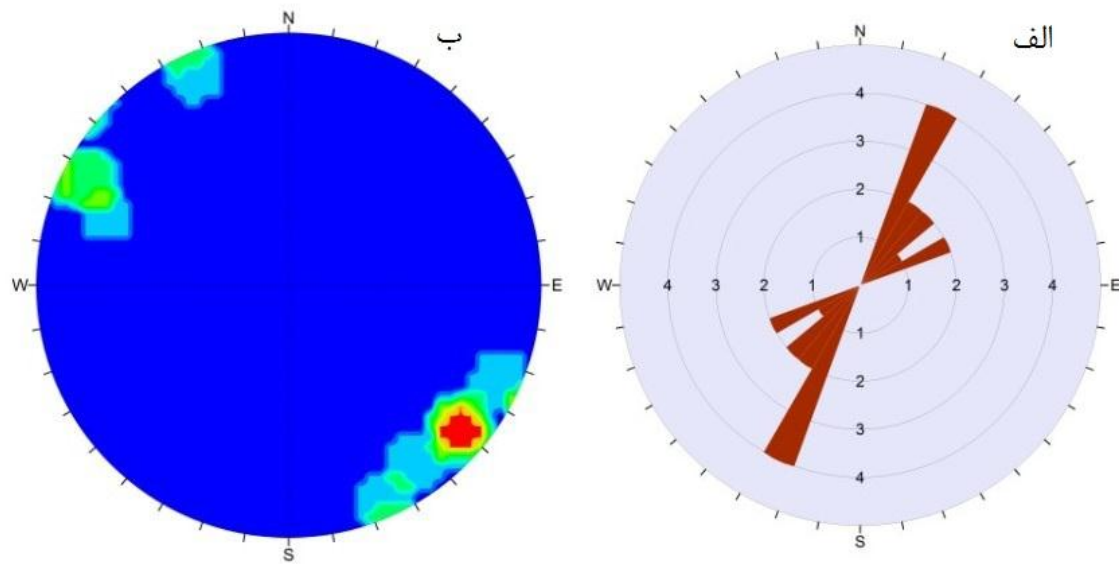
شکل ۱۱-۳ شکستگی‌های باز متفرقه (پیکان‌های آبی رنگ با تدپل مثلثی)، شکستگی‌های مقاوم (پیکان‌های آبی آسمانی رنگ با تدپل دایره‌ای).

ب) شکستگی‌های القایی

همان‌طور که پیش‌تر گفته شده است شکستگی‌های القایی گروه متنوع از شکستگی‌ها هستند که در اثر عملیات حفاری، مغزه‌گیری، حمل و نقل و انبار کردن مغزه به وجود می‌آیند. شکستگی‌های القایی در این گمانه از نوع شکستگی‌های القایی در اثر حفاری که در مجاورت مته و هنگام حفاری تشکیل می‌شوند و در دیواره گمانه نیز گسترش می‌یابند، است. با توجه به جدول (۱-۳) تعداد ۱۱ شکستگی القایی حفاری در چاه مورد مطالعه شناسایی شده است. این شکستگی‌ها در امتداد جهت *NE* از چاه توسعه یافته‌اند.

جدول ۱-۳ شکستگی‌های القایی شناسایی شده در چاه A

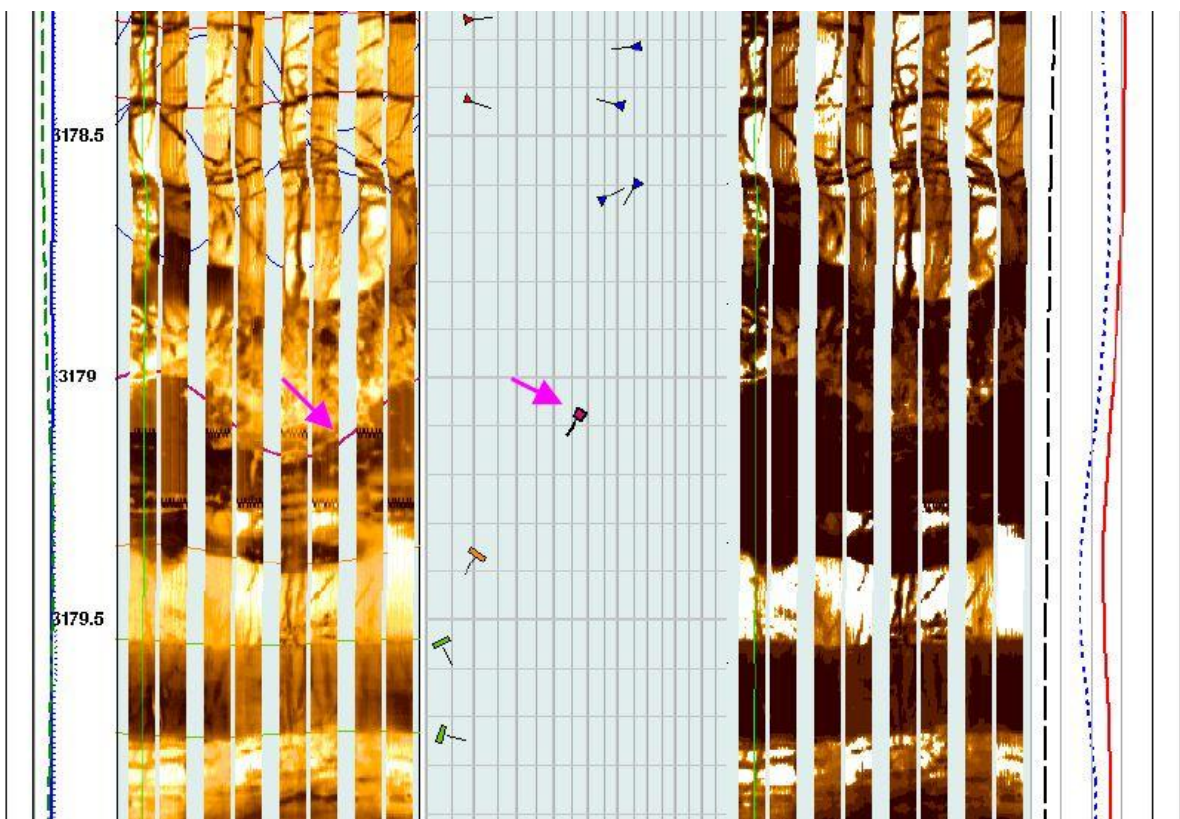
زاویه آزمومت	زاویه شیب	عمق (m)
۲۴	۸۵	۳۰۳۷
۲۰۸	۸۳	۳۰۴۹
۲۰۷	۸۴	۳۰۵۸
۲۴۶	۸۵	۳۱۲۵
۵۵	۸۱	۳۱۲۹
۲۰۱	۷۵	۳۱۵۱
۶۶	۸۶	۳۱۵۸
۳۸	۸۱	۳۱۶۴
۴۲	۸۲	۳۱۷۰
۴۱	۸۵	۳۲۲۶
۳۹	۸۳	۳۲۴۶



شکل ۱۲-۳ نمودار گل‌سرخی (الف) و قطبی (ب) شکستگی‌های القابی در چاه A

۳-۱-۴-۳ گسل

براساس تفسیر *FMI*, یک گسل محتمل در تصاویر در عمق $3179/5 - 3179$ متری شناسایی شده است (شکل ۱۳-۳). مهمترین نشانه‌های تشخیص این گسل شامل، زاویه صفحه‌ای زیاد بین انواع سنگ‌ها، تمرکز شکستگی‌ها، تخلخل و دهانه خیلی زیاد محاسبه شده می‌باشد. این گسل دارای شیب 37 درجه و امتداد $N52W$ می‌باشد جدول (۲-۳).



شکل ۱۳-۳ گسل شناسایی شده در چاه A (پیکان صورتی با تدپل مربعی).

جدول ۲-۳ نشانگرها و نشانه‌های گسل در چاه A

نرخ اطمینان	شیب/آزیموت	نشانگرهای درجه ۲	نشانگرهای درجه ۱	عمق گسل (m)
B	S35W/ درجه ۳۷	(۱) تجمع شکستگی‌ها ۲) دهانه محاسبه- شده زیاد	زاویه صفحه‌ای زیاد بین انواع سنگ‌ها	۳۱۷۹-۳۱۷۹/۵ متری

B چاه ۲-۴-۳

این چاه در بازه عمقی ۲۷۳۱ تا ۳۲۲۶ متری نمودارگیری شده است.

۱-۲-۴-۳ لایه‌بندی

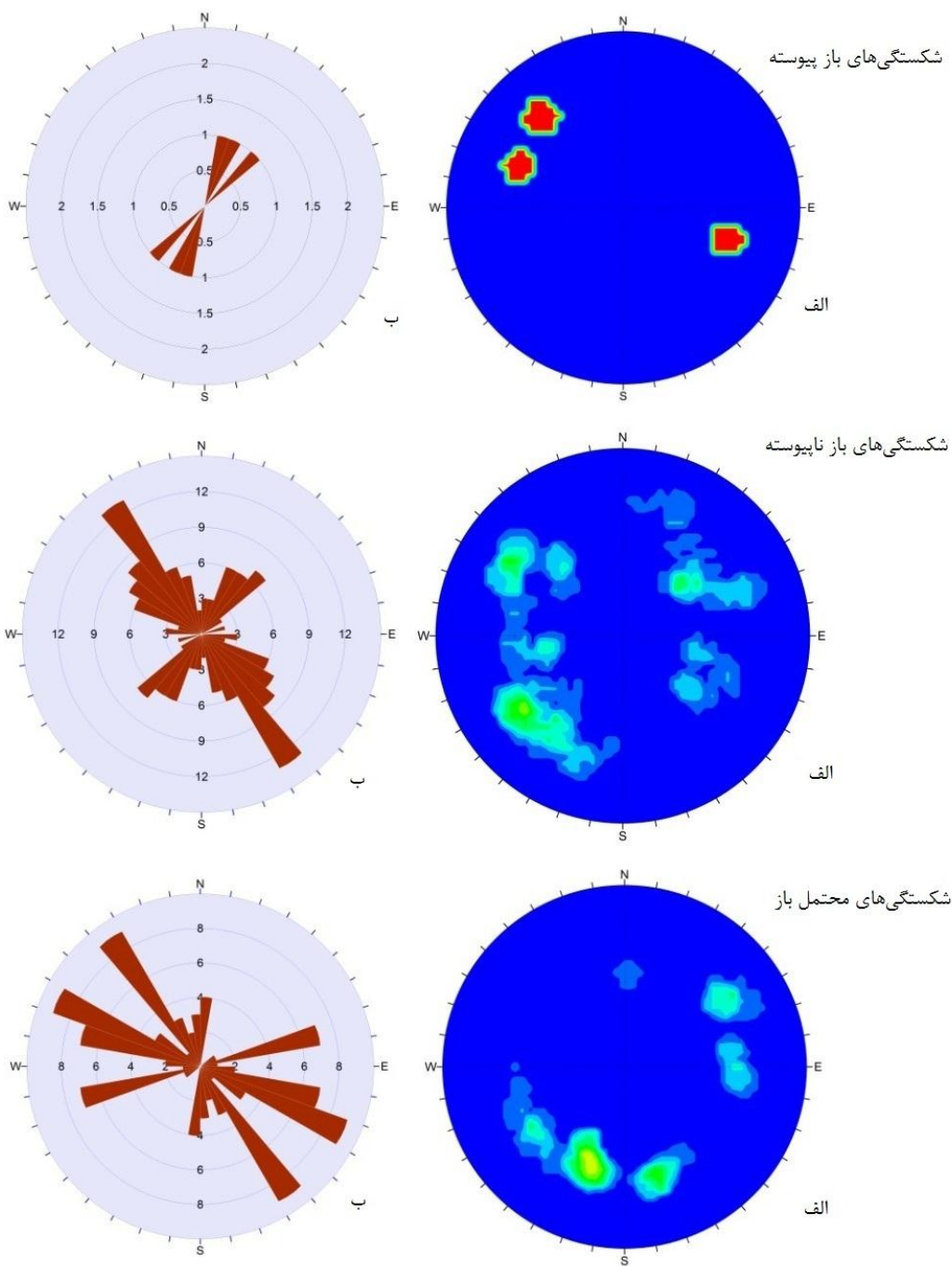
شیب ساختمانی در کل بازه تفسیرشده $N45E$ و با زاویه میل میانگین سه درجه و روند امتداد $N45W$ است.

۲-۲-۴-۳ شکستگی‌ها

در این چاه نیز شکستگی‌های باز، شکستگی‌های بسته و شکستگی‌های القایی در نمودار تصویری تشخیص داده شده‌اند. اطلاعات آماری مربوط به این شکستگی‌ها در ادامه آورده شده است.

الف) شکستگی‌های طبیعی

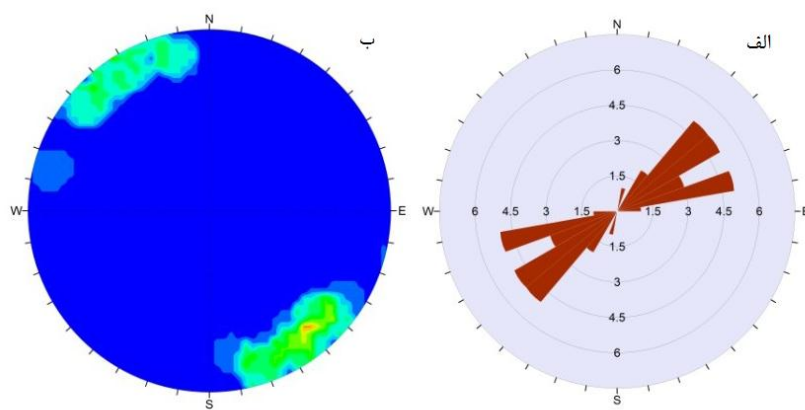
تعداد ۱۴۸ شکستگی‌های باز پیوسته، شکستگی‌های باز ناپیوسته/حفره‌ای و شکستگی‌های محتمل باز شناسایی شده است. شیب میانگین شکستگی‌های باز برابر با ۶۲ درجه می‌باشد شکل (۱۴-۳). تعداد ۲۴ شکستگی بسته بر روی تصاویر شناسایی شده‌اند. دو استرایک غالب‌تر از بقیه استرایک‌ها می‌باشند که عبارتند از $N55W$ و $N5W$.



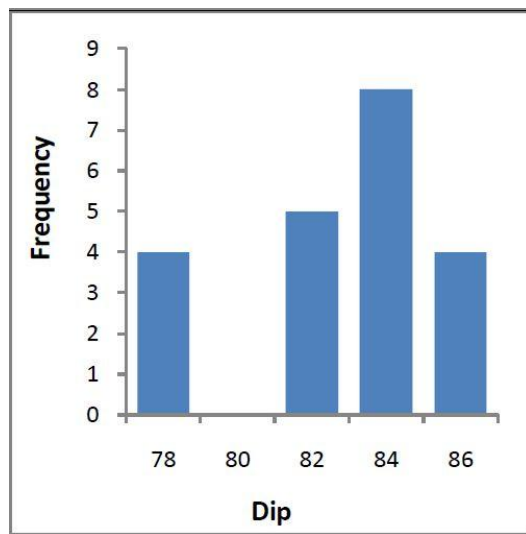
شکل ۱۴-۳ نمودار قطبی (الف) و گل‌سرخی (ب) انواع شکستگی‌های طبیعی باز در چاه B

ب) شکستگی‌های القایی

در این چاه تعداد ۲۲ شکستگی القایی حفاری در چاه مورد مطالعه شناسایی شده است. این شکستگی‌ها در امتداد جهت $NE-SW$ از چاه توسعه یافته‌اند. نمودار گل‌سرخی و قطبی شکستگی‌های القایی در شکل (۱۶-۳) و تغییرات شیب نیز در شکل (۱۵-۳) آورده شده است.



شکل ۱۵-۳ نمودار گل‌سرخی (الف) و قطبی (ب) شکستگی‌های القایی در چاه B



شکل ۱۶-۳ تغییرات شیب شکستگی‌های القایی در چاه B

C ۳-۴-۳ چاه

این چاه در بازه ۲۸۳۶ متری تا ۳۲۸۶ متری نمودارگیری شده است.

۱-۳-۴-۳ لایه‌بندی

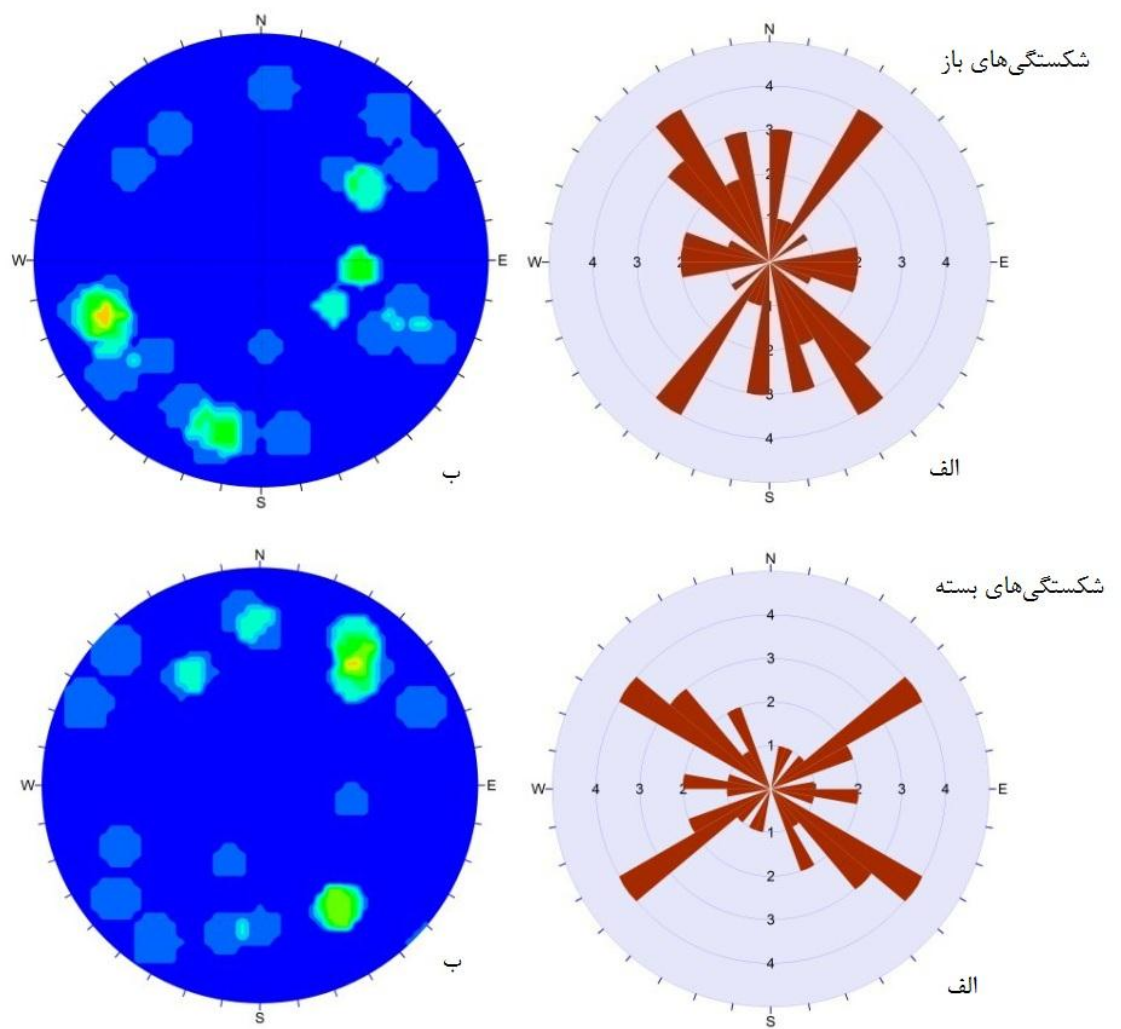
شیب ساختمانی در کل بازه تفسیرشده شمال شرقی و با زاویه میل میانگین سه درجه و امتداد NW-SE است.

۲-۳-۴-۳ شکستگی‌ها

مطابق روال مطالعه گمانه‌های قبلی، شکستگی‌های شناسایی شده توسط چاهنماههای تصویری به دو دسته طبیعی و مصنوعی تقسیم بندی می‌شوند.

الف) شکستگی‌های طبیعی

تعداد ۲۹ شکستگی باز شناسایی شده است. شیب میانگین شکستگی‌های باز برابر با ۶۵ درجه می‌باشد. تعداد ۲۴ شکستگی بسته بر روی تصاویر شناسایی شده‌اند. دو استرایک غالب مشاهده شده N55E و N55W با شیب میانگین ۶۹ درجه هستند شکل (۳-۱۷).



شکل ۱۷-۳ نمودار گل‌سرخی (الف) و قطبی (ب) شکستگی‌های طبیعی در چاه C

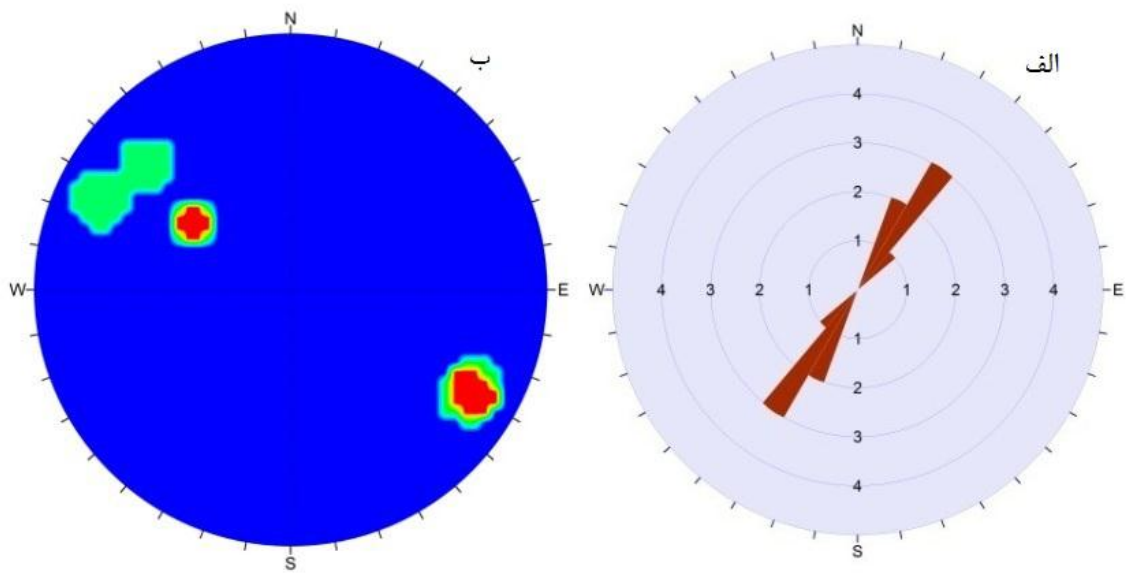
ب) شکستگی‌های القایی

تعداد شش شکستگی القایی حفاری در چاه مورد مطالعه شناسایی شده است. اطلاعات آماری این شکستگی‌ها در جدول (۳-۳) آمده است. این شکستگی‌ها در امتداد جهت NE-SW از چاه توسعه یافته‌اند

شکل (۱۸-۳).

جدول ۳-۳ شکستگی‌های القایی شناسایی شده در چاه A

زاویه آزیموت	زاویه شیب	عمق (m)
۲۸	۷۸	۲۸۷۶
۲۲۱	۷۳	۲۹۶۸
۲۱۴	۴۹	۳۱۰۴
۲۱۶	۴۹	۳۱۰۴
۲۰۵	۷۸	۳۱۲۶
۳۱	۷۷	۳۲۴۵



شکل ۱۸-۳ نمودار گل‌سرخی (الف) و قطبی (ب) شکستگی‌های القایی در چاه C

۳-۵ جمع‌بندی و نتیجه‌گیری

داشتن دانش کافی از زمین‌شناسی میادین هیدروکربوری و سنگ‌شناسی این میادین در فهم بهتر سیستم شکستگی‌ها کمک شایانی می‌کند. ناحیه مورد مطالعه در یکی از مخازن گازی جنوب ایران واقع در خلیج فارس می‌باشد. سازندهای مخزنی این میدان کنگان و دالان با سن پرموترياس می‌باشند. لایه‌های مخزنی این سازندها $K1$ و $K2$ در سازند کنگان و $K3$ و $K4$ در سازند دالان هستند. همچنین اطلاعات آماری هر یک از شکستگی‌های طبیعی و القایی نیز در این فصل بررسی گردید. با توجه به بررسی لیتولوژی سازندهای مخزنی در میدان مورد مطالعه (غالب سنگ‌آهک و دولومیت) و بررسی ساختار شکستگی‌ها در میدان، در فصل ۴ به مدل‌سازی شبکه شکستگی در واحدهای مخزنی $K1$, $K2$, $K3$ و $K4$ پرداخته شده است. شایان ذکر است بر اساس دسته‌بندی شکستگی‌های صورت گرفته در این فصل، نوع شکستگی‌های مورد استفاده در مدل DFN ، شکستگی‌های طبیعی باز می‌باشند.

۴ فصل چهارم

مدل‌سازی شبکه گستته شکستگی‌ها

۱-۴ مقدمه

برای ساخت مدل شبکه گسسته شکستگی‌ها، پارامترهای شکستگی‌ها باید تعیین گردد و در ساخت مدل از آن استفاده شود. مطالب این فصل به دو بخش کلی تقسیم شده است. در بخش اول، آنالیزهای لازم جهت استخراج پارامترها در چاه‌ها انجام گرفته است و در انتهای بخش مدل شبکه گسسته شکستگی‌ها ساخته شده است. در بخش دوم جهت اطمینان از صحت انجام آنالیز شکستگی‌ها و مدل ساخته شده آنالیزهای دینامیکی بر روی چاه‌هایی که دارای داده‌های دینامیکی هستند، انجام گرفته است.

۲-۴ تعریف رخساره‌های سنگی

اولین ورودی برای مدلسازی شبکه گسسته شکستگی‌ها، رخساره‌های سنگی¹⁰¹ لایه‌های مورد مطالعه می‌باشد. همان طور که در فصل دوم ذکر شد، ناحیه مورد مطالعه از رخساره‌های کربناته تشکیل گردیده است. لایه‌های مخزنی میدان مورد مطالعه، لایه‌های $K1$, $K2$, $K3$ و $K4$ می‌باشد. همانطور که قبلًا در فصل سوم ذکر گردید، لایه $K1$ از سنگ‌آهک، دولومیت، میان‌لایه‌های انیدریتی و میان‌لایه‌های شیلی در قسمت‌های بالایی تشکیل شده است. لایه $K2$ از سنگ‌آهک و دولومیت تشکیل گردیده است. لایه $K3$ از دولومیت، سنگ‌آهک و میان‌لایه‌های انیدریتی تشکیل شده است. لایه $K4$ عمدتاً مشکل از سنگ‌آهک و دولومیت است و در قسمت‌های پایینی این لایه میان‌لایه‌های انیدریتی نیز وجود دارد. بر همین اساس در این مطالعه، ورودی تعریف شده لیتولوژی‌های سنگ‌آهک، دولومیت، انیدریت و شیل می‌باشد (شکل ۴-۱). در این شکل می‌توان الگوی هر کدام از لیتولوژی‌ها به همراه رنگ آنها را مشاهده نمود.

¹⁰¹ *Lithofacies*

Lithologies		
Create/edit categories and lithologies. Note that the viewer support drag and drop.		
Name	Pattern	Comment
+ Default		
- south pars		
anhydrite		
dolomite		
limestone		
shale		

شکل ۱-۴ رخساره‌های سنگی تعریف شده به صورت الگوها و رنگ مربوطه یا هر رخساره.

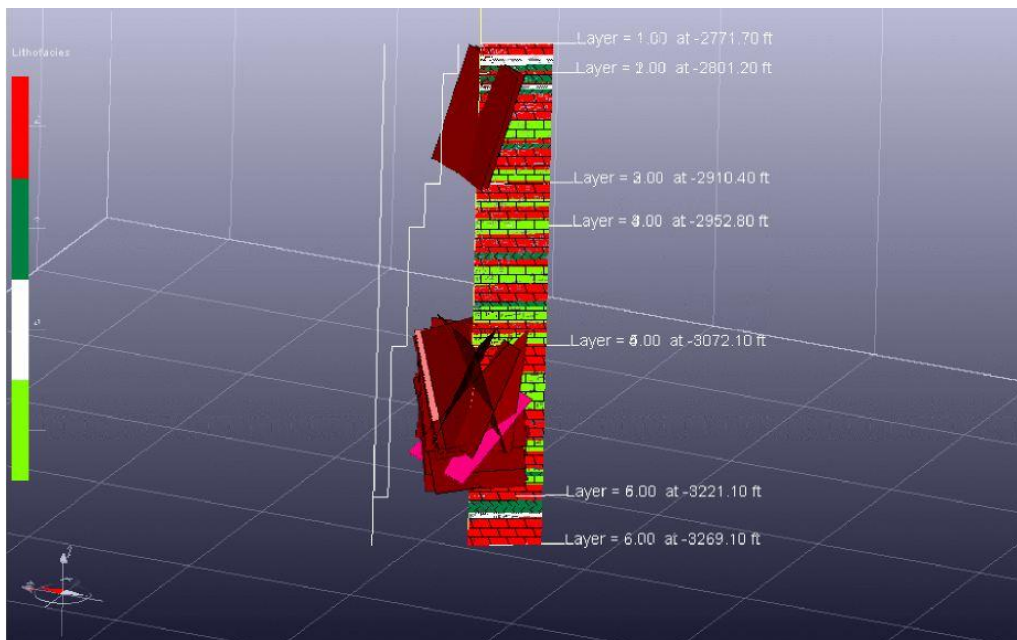
بعد از تعریف نمودن هر لیتوژئی، برای تعریف رخساره‌ها در نرم‌افزار باید به هر یک از آنها یک اندیس اختصاص داده شود. اندیس‌ها باید عدد باشند که معرف رخساره‌ها در شبکه زمین‌شناسی^{۱۰۲} می‌باشند. شماره اندیس کاملاً دلخواه است. در جدول (۱-۴) اندیس اختصاص داده شده در این مطالعه به هر رخساره آمده است.

جدول ۱-۴ رخساره‌های سنگی تعریف شده به عنوان ورودی در مدلسازی

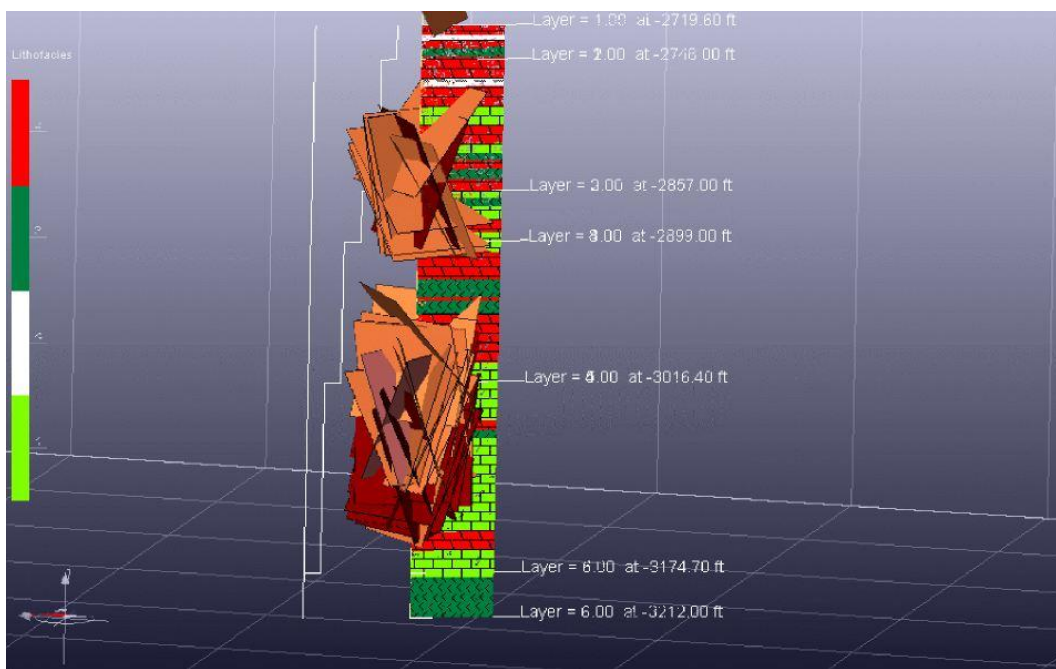
اندیس اختصاصی	رخساره سنگی
۱	سنگ‌آهک
۲	دولومیت
۳	انیدریت
۴	شیل

¹⁰² Grid

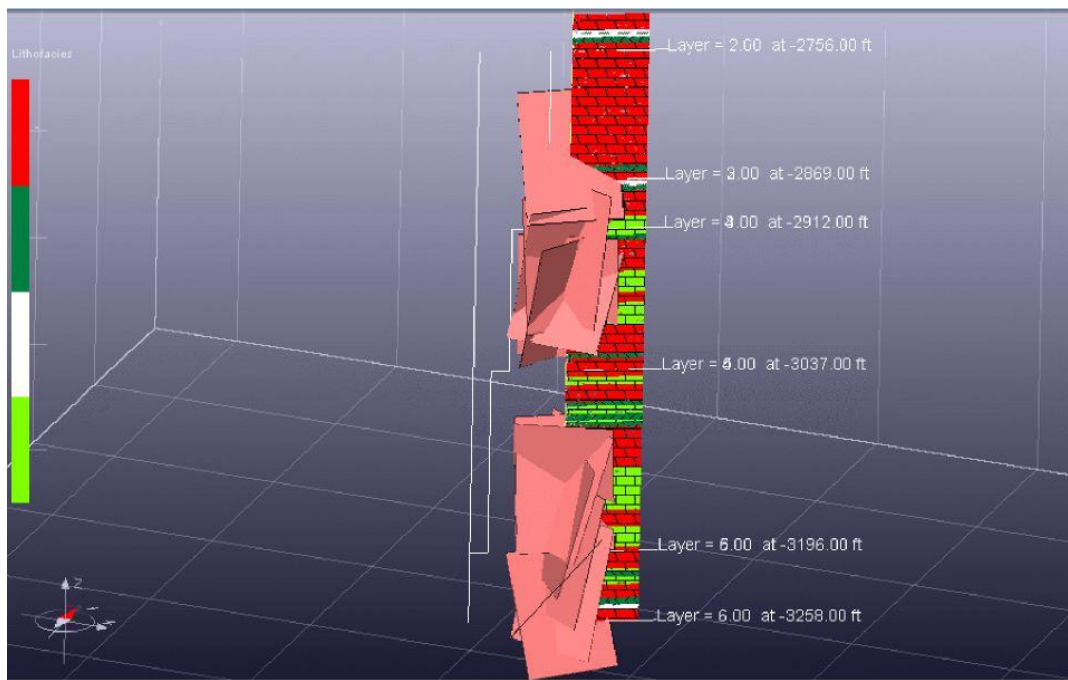
بعد از تعریف رخساره‌های سنگی و وارد کردن اطلاعات شکستگی‌ها و لایه‌بندی‌ها، می‌توان رخساره‌ها و شکستگی‌ها را بصورت شیء مجزا در طول مسیر چاه در فضای سه بعدی مشاهده نمود. در شکل‌های (۴-۲، ۴-۳ و ۴-۴) چاه‌های مورد مطالعه دارای اطلاعات شکستگی نمایش داده شده است. هر یک از رخساره‌های تعریف شده به صورت الگوها و رنگ‌های تعریف شده نشان داده شده‌اند. رنگ سبز روشن معرف سنگ‌آهک، رنگ قرمز معرف دولومیت، رنگ سبز تیره معرف انیدریت و رنگ سفید معرف شیل می‌باشند.



شکل ۴-۲ نمایش سه‌بعدی شکستگی‌های قطع‌کننده چاه A و رخساره‌های آن



شکل ۳-۴ نمایش سه بعدی شکستگی های قطع کننده چاه B و رخسارهای آن.



شکل ۴-۴ نمایش سه بعدی شکستگی های قطع کننده چاه C و رخسارهای آن.

۳-۴ آنالیز شکستگی‌ها

هدف از آنالیز شکستگی‌ها، تعیین دسته شکستگی‌ها در قالب موقعیت، جهت‌گیری و شیب می‌باشد. به طور جزئی‌تر در نرم‌افزار *Fracaflow* می‌توان اهداف زیر را از آنالیز شکستگی‌ها دنبال کرد (

:*user manual*

أ) آنالیز جهت‌گیری شکستگی‌ها در چاه‌های مورد مطالعه.

ب) محاسبه و آنالیز لاغ‌های چگالی شکستگی به صورت چاه به چاه و تعیین نوع شکستگی

(پراکنده^{۱۰۳}، خوش‌های^{۱۰۴}).

ت) دسته‌بندی شکستگی‌ها در قالب دسته شکستگی.

ث) مطالعه و ویرایش دسته شکستگی‌ها در مقیاس میدانی.

ج) ایجاد گروه‌های شکستگی^{۱۰۵} در هر بازه عمقی.

ح) تعیین نوع هر کدام از گروه‌ها (پراکنده، خوش‌های).

برای انجام این آنالیزها، چاه‌های ورودی با داده‌های شکستگی (تفسیر لاغ‌های تصویری، داده‌های مغزه) نیاز می‌باشند. که در این مطالعه از نتایج تفسیر لاغ‌های تصویری استفاده شده است.

¹⁰³ *Diffuse*

¹⁰⁴ *Cluster*

¹⁰⁵ *Fracture Groups*

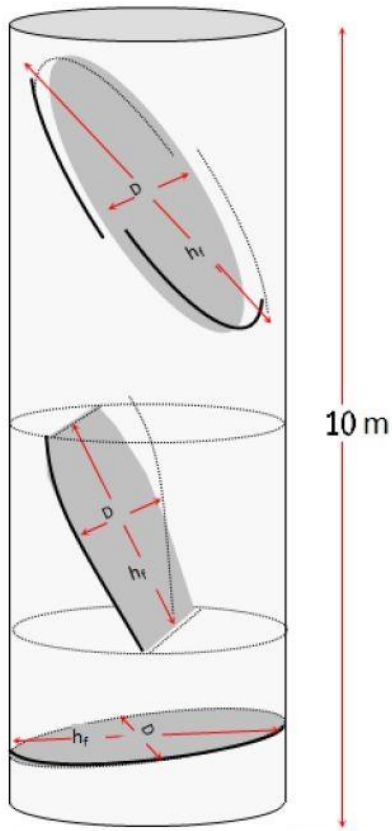
۱-۳-۴ شدت شکستگی

یکی از مهمترین خصوصیات مخازن شکافدار، شدت شکستگی^{۱۰۶} است. شدت شکستگی را می‌توان در یک، دو و سه بعد اندازه‌گیری نمود (Dershowitz, 1984). اگرچه، اندازه‌گیری‌های میدانی از شدت شکستگی سازندها، معمولاً در یک بعد در طول گمانه انجام می‌گیرد. اندازه‌گیری یک بعدی شدت شکستگی عموماً به صورت تعداد شکستگی‌ها در واحد طول در توده سنگ تعریف می‌شود (Dershowitz, 1984). برای مثال اگر سه شکستگی در ۱۰ متر از گمانه تفسیر شده باشند (شکل ۴-۵)، شدت شکستگی را می‌توان از طریق معادله (۱-۴) تخمین زد و برابر با $I/m = 0^{+} / 3$ خواهد بود.

$$FI = \frac{N}{L} \quad (1-4)$$

که در آن N تعداد شکستگی‌ها و L طول گمانه می‌باشد.

¹⁰⁶ Fracture Intensity



شکل ۴-۵ نشان دادن شکستگی ها در طول گمانه (Narr et al, 2006)

به کارگیری این محاسبات به طور قابل ملاحظه ای ثبات آنالیزها و مدل سازی شکستگی ها را بهبود خواهد بخشید. شدت شکستگی ها معمولاً از لاغ های تفسیری تخمین زده می شود.

براساس تفاسیر لاغ های تصویری، بازه هی ۴۸۵ متری از چاه A نمودارگیری شده که تعداد ۱۱۰ شکستگی باز در آن تفسیر شده که فقط ۴۳ تا از شکستگی ها دارای نتایج تفسیر می باشند. بر اساس معادله (۴-۱) شدت شکستگی در این چاه براساس تعداد شکستگی های تفسیر شده برابر با (I/m) ۰/۲۲ و براساس تعداد شکستگی های دارای نتایج تفسیر برابر با (I/m) ۰/۰۹ می باشد.

چاه B در یک بازه‌ی عمقی ۴۹۵ متری نمودارگیری شده که تعداد ۱۴۸ شکستگی باز در آن تفسیر شده که بر همین اساس، شدت شکستگی در این چاه مطابق معادله (۴-۱) برابر با $I/m = ۰/۲۹$ خواهد بود.

۴۵۰ متر از چاه C نمودارگیری شده که تنها ۲۹ شکستگی باز در این چاه تفسیر شده که براساس معادله (۴-۱) شدت شکستگی در این چاه برابر با $I/m = ۰/۰۶۴$ خواهد بود.

۴-۳-۲-دهانه شکستگی‌ها

دهانه شکستگی‌ها به مورفولوژی صفحات شکستگی مربوط می‌شود و یکی از عناصر مهم از تراوایی و تخلخل شکستگی‌ها است (nelson, 2001). چهار نوع اساسی از مورفولوژی صفحه شکستگی طبیعی وجود دارد:

- ❖ شکستگی‌های باز.
- ❖ شکستگی‌های تغییر شکل یافته^{۱۰۷}: شکستگی‌های پرشده از خردمنگ^{۱۰۸} و شکستگی‌های خشل‌فرشی^{۱۰۹}.
- ❖ شکستگی‌های پرشده از کانی‌ها^{۱۱۰}.
- ❖ شکستگی‌های حفره‌ای^{۱۱۱}.

¹⁰⁷ Deformed fractures

¹⁰⁸ Gouge-filled fractures

¹⁰⁹ Slickenside fractures

¹¹⁰ Mineral-filled fractures

¹¹¹ Vuggy fractures

بازشدگی^{۱۱۲} یا پهنانی شکستگی‌ها^{۱۱۳} به وسیله ویژگی‌های دهانه کنترل می‌شود و دهانه شکستگی عبارتست از فاصله بین دو سطوح شکستگی.

دهانه شکستگی‌ها در نمودارهای تصویری بوسیله فرمول ضمنی که توسط لوثری و سوهایت (*Luthi, S.* and *Souhaite, P.* (1990)) ارائه شده است به دست می‌آید.

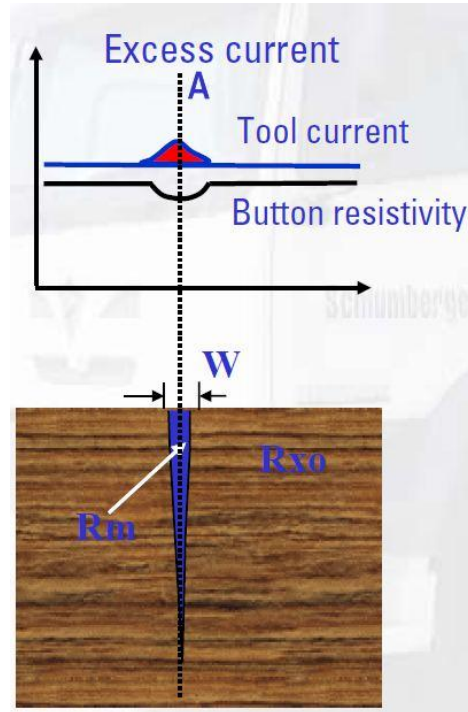
$$W = c \cdot A \cdot Rm^b \cdot Rxo^{1-b} \quad (2-4)$$

که در آن W پهنانی شکستگی (mm), Rm مقاومت گل، Rxo حساسیت سازند و A جریان اضافی است که بواسطه حضور شکستگی ایجاد می‌شود شکل (۴-۶). ضریب c و توان b به صورت عددی از مدل‌سازی پیش رو به دست می‌آیند. در استفاده از این فرمول یکسری فرضیاتی نیز باید نمود که عبارتند از نامتناهی بودن شکستگی‌ها، شکستگی‌های کاملاً باز و ماده رسانای پر کننده‌ی شکستگی، سیال حفاری است. پاسخ‌های مشابه در حالتی که شکستگی توسط مواد رسانا مثل رس و پیریت پر شده باشد و همچنین تأثیرپذیری محاسبه دهانه از سیال‌ها (مناطق هیدروکربوری در مقابل مناطق آبی) از محدودیت‌های این روش است.

در جدول (۲-۴) میانگین دهانه شکستگی‌ها در هر یک از چاه‌ها مورد مطالعه آورده شده است. به طور کلی دهانه شکستگی‌های محاسبه شده بسیار پایین بوده و احتمال دارد که نشان‌دهنده این باشد که شکستگی‌ها تأثیر چندانی در جریان سیال نداشته باشند. براساس مقادیر به دست آمده دهانه شکستگی‌های چاه C بزرگتر از بقیه چاه‌ها می‌باشد.

¹¹² Fracture Opening

¹¹³ Fracture Width



شکل ۶-۴ شکستگی موجود در رخساره و پارامترهای تعیین دهنده شکستگی.

جدول ۲-۴ میانگین دهنده شکستگی‌های محاسبه شده در چاههای مورد مطالعه.

دهانه شکستگی (cm)	چاه
۰/۰۳	A
۰/۰۲	B
۰/۲۴	C

چگالی شکستگی از مهمترین خصوصیات شبکه شکستگی محسوب می‌شود. از آنجایی که شکستگی‌ها باعث سهولت جریان سیال می‌شوند، نواحی با چگالی شکستگی زیاد، برای رفع مشکل هرزروی و یا نشتی سیال حفاری، باید شناسایی گردند.

اکثر مطالعات قبلی، چگالی شکستگی را به عنوان تعداد شکستگی‌ها در واحد سطح یا واحد حجم معرفی کرده‌اند (*Deutsch & Journel, 1994*). اگرچه این تعریف به صورت کیفی زون‌های با شدت شکستگی کم و یا زیاد را نمایش می‌دهد، اما بررسی کمی شکستگی صورت نمی‌گیرد. همانطوریکه شکستگی‌های بلند و یا کوتاه نقش متفاوتی در جریان سیال ایفا می‌کنند، شناسایی آنها ضرورت دارد.

چگالی شکستگی به مجموع طول تجمعی شکستگی در واحد سطح (در دو بعد، $P21$) و یا مساحت تجمعی شکستگی در واحد حجم (در سه بعد، $P32$) اطلاق می‌شود جدول (۳-۴). این تعریف، مجموع تعداد شکستگی‌ها و اندازه‌های مربوط به آنها را شامل می‌شود و کاربردی‌ترین اندازه‌گیری چگالی شکستگی در سرشت‌نمایی گسسته شکستگی است (*Dershowitz and Herda, 1991*).

در نرم‌افزار *FracFlow* می‌توان لاغ چگالی را در هر یک از چاه‌ها در ابعاد مختلف شکستگی محاسبه نمود جدول (۳-۴). در این مطالعه، تعریف چگالی شکستگی به شدت شکستگی‌ها نسبت داده می‌شود. و به صورت تعداد شکستگی‌ها در واحد طول ($P10$) تعریف و محاسبه می‌گردد. می‌توان به صورت کیفی یک سری اطلاعات از این نمودارها استخراج کرد.

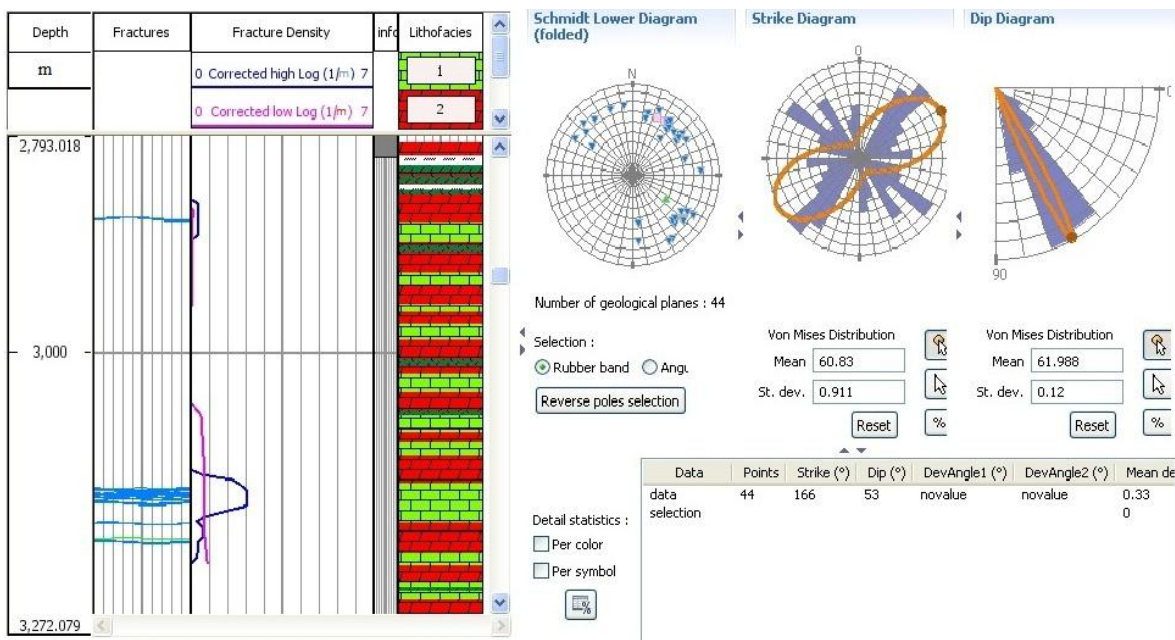
جدول ۳-۴ روش‌های محاسبه لاغ چگالی شکستگی در *Fracaflow*

سه حجم	دو مساحت	یک طول	بعد اندازه‌گیری بعد شکستگی
$P30$ تعداد شکستگی‌ها در واحد حجم (m^{-3})	$P20$ تعداد شکستگی‌ها در واحد سطح (m^{-2})	$P10$ تعداد شکستگی‌ها در واحد طول (m^{-1})	صفر: تعداد شکستگی‌ها
$P31$ طول تجمعی شکستگی در واحد حجم (m^{-2})	$P21$ طول تجمعی شکستگی در واحد سطح (m^{-1})		یک: طول
$P32$ مساحت تجمعی شکستگی در واحد حجم (m^{-1})	$P22$ مساحت شکستی در واحد سطح تجمعی (%)		دو: مساحت
$P33$ حجم شکستگی در واحد حجم (= تخلخل شکستگی) (%)			سه: حجم

در شکل (۷-۴) نمودار چگالی محاسبه شده چاه A آورده شده است. همانطور که در این شکل مشاهده می شود نمودار چگالی شکستگی در کل بازه نمودارگیری محاسبه گردیده است. بیشتر شکستگی ها در لایه K4 و به ندرت در بقیه لایه ها وجود دارند. به طور کلی تعداد شکستگی ها کم می باشد. عمق ساختارها در واحد متر در قسمت اول مشاهده می شود. شکستگی ها به صورت منحنی سینوسی در قسمت دوم نمایش داده شده اند. اثر شکستگی های باز پیوسته به رنگ صورتی، شکستگی های محتمل باز به رنگ آبی و گسل نیز به رنگ سبز می باشد. در قسمت سوم، نمودار چگالی شکستگی ها به دو روش لاغ تصحیح شده چگالی کم^{۱۱۴} و لاغ تصحیح شده چگالی زیاد^{۱۱۵} محاسبه شده است. اختلاف این دو روش در اندازه پنجره محاسبه می باشد. اندازه این پنجره را می توان تغییر داد و بهترین نتیجه را که نشان دهنده بیشترین تغییرات مطابق با شکستگی های سازندها می باشد را محاسبه نمود. همچنین تعداد نمونه گیری در واحد طول را نیز باید مشخص نمود. همانطور که از چگالی محاسبه شده مشخص است، شکستگی ها در سنگ های ۲۸۵۵-۳۱۴۷، ۲۸۵۰، ۳۱۳۱-۳۱۴۷، ۳۱۵۵-۳۱۵۸، ۳۱۷۹-۳۱۷۱ متری تجمع یافته اند. همچنین در بخش رخساره های سنگی و تطابق آن با چگالی محاسبه شده می توان نتیجه گرفت که شکستگی ها در سنگ های کربناته (سنگ آهک و دولومیت) توسعه یافته اند.

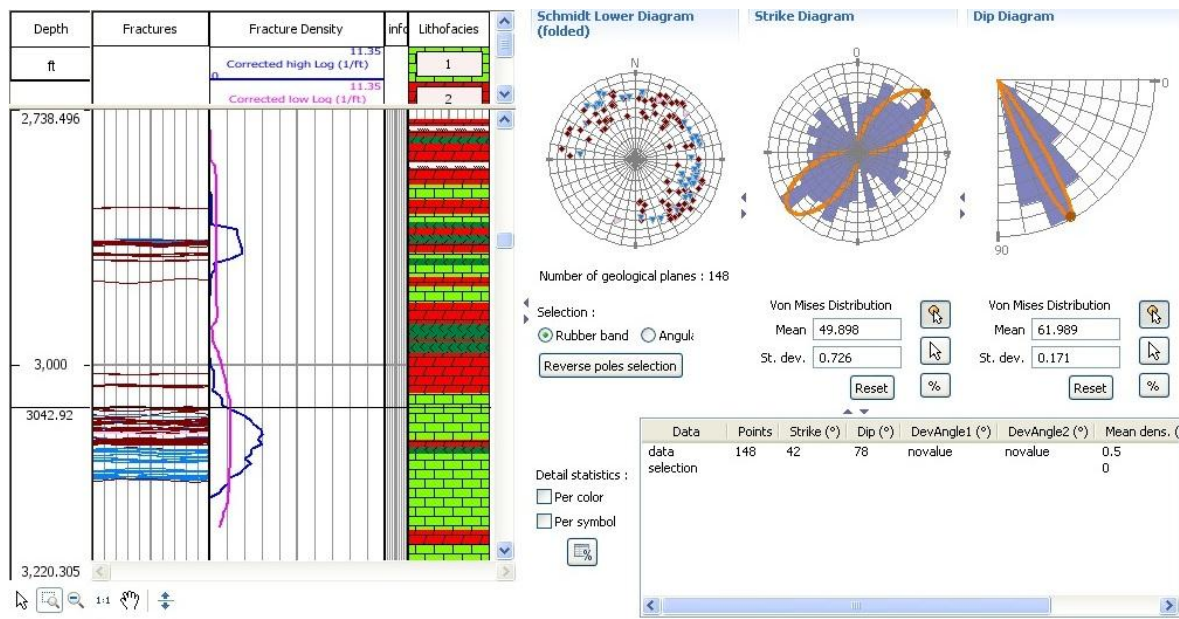
^{۱۱۴} Corrected Low Log

^{۱۱۵} Corrected High Log



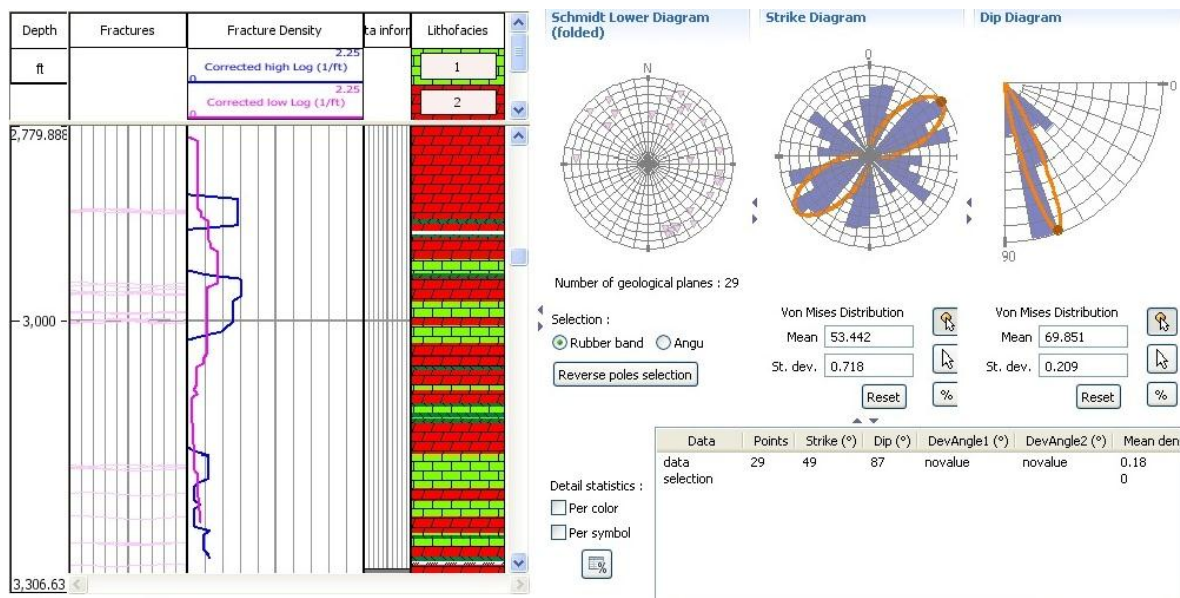
شکل ۷-۴ آنالیز چاه و نمودار چگالی محاسبه شده در چاه A.

در شکل (۷-۴) نمودار چگالی چاه B را می‌توان مشاهده نمود. شکستگی‌های باز پیوسته به رنگ صورتی، شکستگی‌های متفرقه به رنگ قهوه‌ای و شکستگی‌های محتمل باز به رنگ آبی می‌باشند. در این چاه تعداد شکستگی‌ها نسبت به چاه A بیشتر می‌باشند. عمده شکستگی‌ها در لایه‌های K1 و K4 و در بازه‌های عمقی ۳۰۷۵-۳۰۸۲ متری در لایه K1 و ۳۰۶۱-۳۰۷۰ متری در لایه K4 بیشتر می‌باشند. در این چاه نیز مثل چاه قبل رخساره‌های کربناته (کلسیت و دولومیت) دارای بیشترین شکستگی‌ها می‌باشند.



شکل ۴-۴ آنالیز چاه و نمودار چگالی محاسبه شده در چاه *B*.

نمودار چگالی شکستگی چاه *C* را می‌توان در شکل (۹-۴) مشاهده نمود. در این شکل فقط شکستگی‌های باز پیوسته شناسایی شده که به رنگ صورتی می‌باشند. تعداد شکستگی‌ها نسبت به دو چاه اول کمتر می‌باشد. در این چاه نیز مثل چاه قبل رخساره‌های کربناته (کلسیت و دولومیت) دارای بیشترین شکستگی‌ها می‌باشند. در این چاه شکستگی‌ها در تمامی لایه‌ها وجود دارند ولی عمدتاً در لایه *K4* می‌باشند. شکستگی‌ها عمدتاً در بازه‌های ۱۸۷۳-۲۸۷۵ در لایه *K1*, ۲۹۶۵-۲۹۷۵ در لایه *K2*, ۲۹۹۷ در لایه *K3* و ۳۱۶۰-۳۱۶۵ متری در لایه *K4* تجمع یافته‌اند.

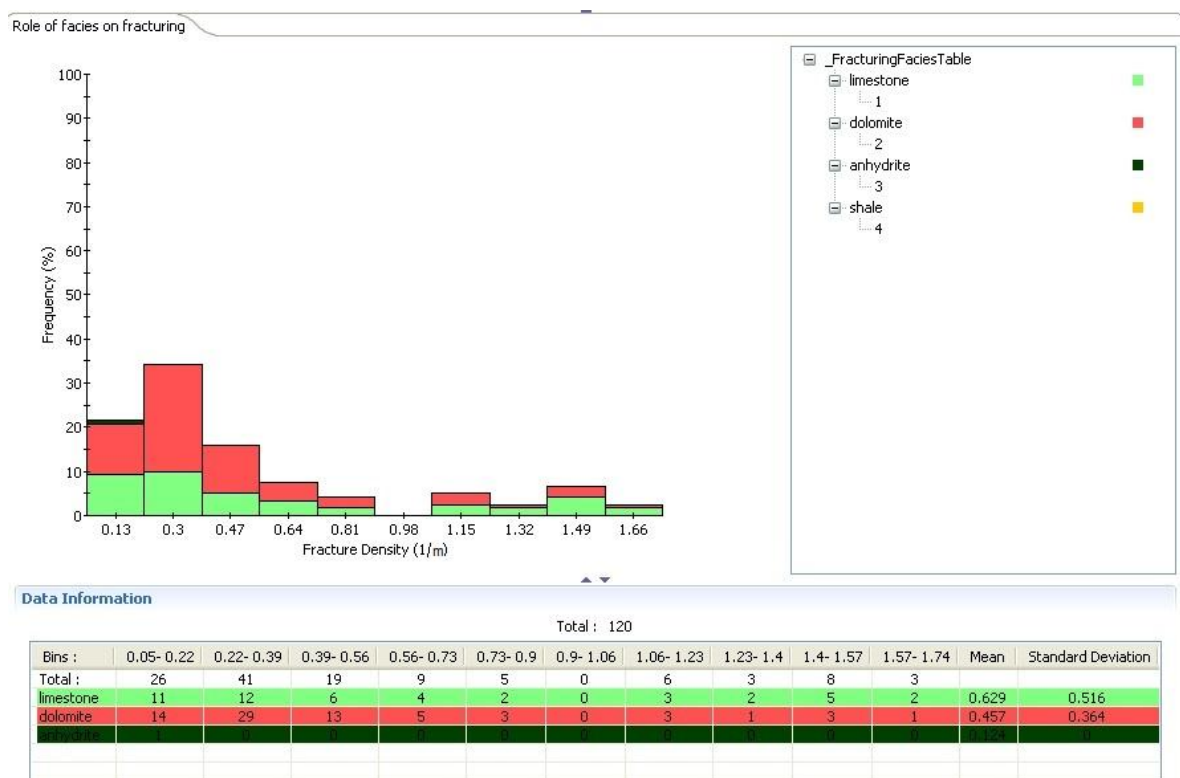


شکل ۹-۴ آنالیز چاه و نمودار چگالی محاسبه شده در چاه C.

یکی دیگر از ورودی‌های مدل *DFN* میانگین چگالی شکستگی در هر رخساره می‌باشد. در *FracFlow* می‌توان تأثیر رخساره‌های سنگی در ایجاد شکستگی‌ها را به طور همزمان در هر سه چاه A، B و C مورد بررسی قرار داد و میانگین چگالی شکستگی در هر رخساره سنگی را تعیین نمود. در جدول (۴-۴) اطلاعات آماری میانگین چگالی شکستگی و انحراف معیار چگالی برای رخساره را می‌توان مشاهده کرد. همانطور که از اطلاعات آماری پیداست رخساره‌های کلسیتی دارای بیشترین تأثیر و شیل‌ها نیز هیچ گونه تأثیری بر ایجاد شکستگی در مخزن گازی مورد مطالعه ندارند. هیستوگرام در صد فراوانی رخساره‌ها بر حسب چگالی شکستگی نیز در شکل (۱۰-۴) آمده است. این شکل گویای نتایج قبلی می‌باشد.

جدول ۴-۴ اطلاعات آماری تأثیر رخساره‌ها در ایجاد شکستگی‌ها

انحراف معیار چگالی (I/m)	متوسط چگالی (I/m)	رخساره
۰/۵۱۶	۰/۶۲۹	سنگ آهک
۰/۳۶۴	۰/۴۵۷	دولومیت
•	۰/۱۲۴	انیدریت
•	•	شیل



شكل ۱۰-۴ تأثیر درصد فراوانی رخساره‌ها بر حسب چگالی شکستگی در ایجاد شکستگی‌ها.

اطلاعات آماری چگالی شکستگی در هر یک از چاهها را می‌توان در جدول (۵-۴) مشاهده نمود. با توجه به این نتایج، همچنان که قبل ذکر شد، مشهود است که چاه B دارای بیشترین تعداد شکستگی در واحد طول و درنتیجه بیشترین میانگین چگالی شکستگی می‌باشد. چاه C نیز دارای کمترین میانگین چگالی شکستگی است.

جدول ۵-۴ اطلاعات آماری چگالی شکستگی در چاههای مورد مطالعه.

انحراف معیار چگالی (I/m)	متوسط چگالی (I/m)	چاه
۰/۴۱۷	۰/۵۱۴	A
۰/۵۱۹	۰/۶۱۴	B
۰/۳۴۷	۰/۴۴۵	C

۴-۳-۴ جهت‌گیری شکستگی‌ها

یکی از ورودی‌های مهم در مدلسازی شبکه گسسته شکستگی، جهت‌گیری شکستگی‌هاست و نقش اساسی در جریان سیال مخزن با کنترل تراوایی جهتی دارد. از منابع زیادی برای فراهم نمودن اطلاعات جهت‌گیری شکستگی‌ها استفاده می‌شود. در این مطالعه از مطالعات لاغهای تصویری برای تفسیر شیب و آزمون شکستگی‌ها استفاده گردیده است. برای آنالیزهای جهت‌گیری فقط شکستگی‌های طبیعی باز که تأثیرگذار بر جریان سیال هستند آنالیز شده‌اند.

چندین راه متفاوت برای نمایش جهت‌گیری شکستگی‌ها وجود دارد که شامل پلات تدپل^{۱۱۶} و استریوپلات^{۱۱۷} می‌باشد. در پلات تدپل، شکستگی‌ها به صورت نقاطی بر روی گراف عمق-شیب رسم شده و قسمت دم^{۱۱۸} آنها نشان‌دهنده جهت امتداد شکستگی‌هاست (شکل ۱۱-۴). رنگ‌های متفاوت متناظر با انواع مختلف شکستگی‌های طبیعی است. این شکل شکستگی‌های سه چاه مورد مطالعه را نشان می‌دهد.

در چاه A، شکستگی‌های باز پیوسته به رنگ صورتی، شکستگی‌های محتمل باز به رنگ آبی و گسل به رنگ سبز می‌باشند. در این چاه تعداد ۴۴ شکستگی شناسایی شده است. که تعداد ۴ شکستگی از نوع شکستگی‌های رسانا، تعداد ۳۹ تا از نوع شکستگی‌های احتمالاً باز و یک گسل می‌باشند.

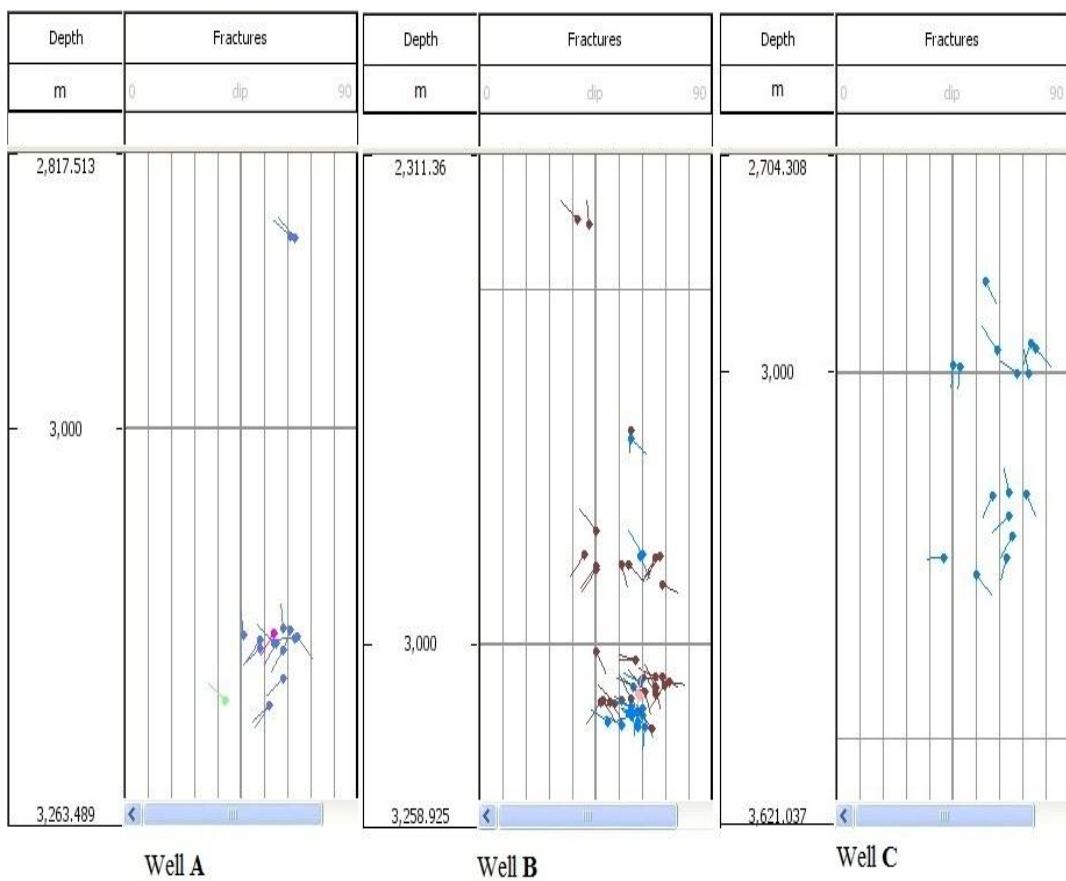
در چاه B، شکستگی‌های باز پیوسته به رنگ صورتی، شکستگی‌های محتمل باز به رنگ آبی و شکستگی‌های باز متفرقه (باز ناپیوسته) به رنگ قهوه‌ای می‌باشند. در این چاه تعداد ۱۴۸ شکستگی از هر سه نوع شکستگی طبیعی باز شناسایی شده است. که تعداد ۳ شکستگی از نوع شکستگی‌های باز پیوسته، تعداد ۵۳ تا از نوع شکستگی‌های محتمل باز و ۹۲ تا نیز از نوع شکستگی‌های باز متفرقه (باز ناپیوسته) می‌باشند.

در چاه C، شکستگی‌های باز پیوسته به رنگ آبی می‌باشند. در این چاه تعداد ۲۹ شکستگی باز پیوسته شناسایی و تفسیر شده است. با توجه به (شکل ۱۱-۴)، اکثر شکستگی‌ها در لایه K4 قرار دارد. این روند در تمامی چاه‌ها وجود دارد.

¹¹⁶ Tadpole Plot

¹¹⁷ Stereoplots

¹¹⁸ Tail

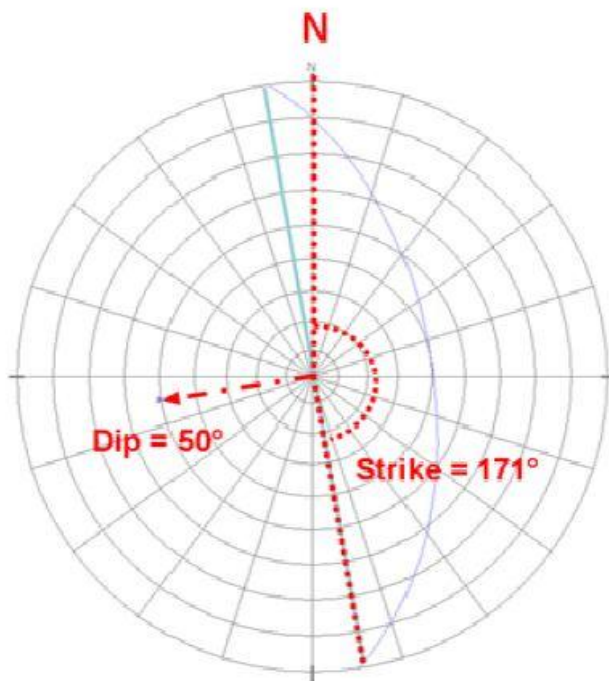


شکل ۱۱-۴ نمایش جهتگیری شکستگی‌ها در سه چاه مورد مطالعه به روش تدپل.

استریوپلات‌ها برای مشاهده جهتگیری سه بعدی قطب‌های شکستگی در فضای دوبعدی استفاده می-

شوند. مقادیر محیطی دایره معرف جهت آزیموت و مقادیر مرکزگرای دایره معرف زاویه شیب می‌باشند.

شکل (۱۲-۴) نحوه محاسبه شیب و جهت شیب را از طریق استریویونت نشان می‌دهد.



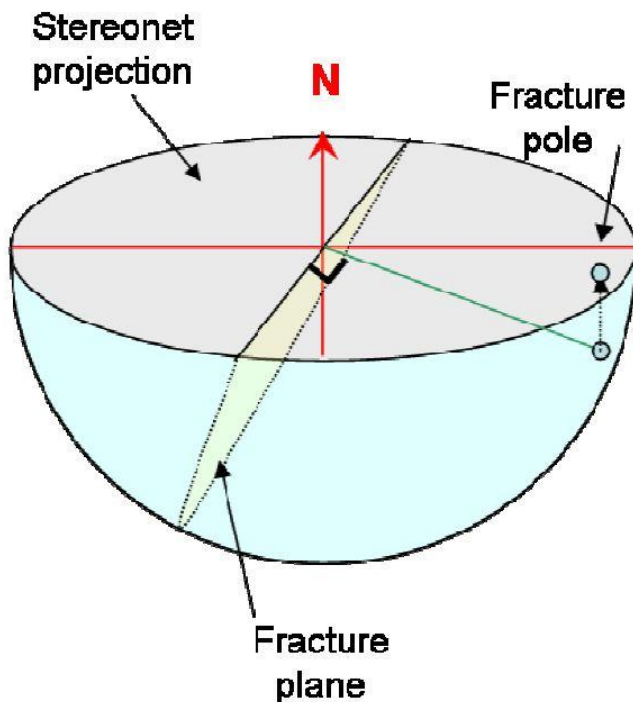
شکل ۱۲-۴ نحوه قرائت مقادیر شیب و آزیموت شیب بر روی استریوودیاگرام (*Fracflow user manual*)

این بخش شامل سه دیاگرام می‌باشد: استریونت، دیاگرام استرایک (یا رز دیاگرام^{۱۱۹}) و دیاگرام شیب.

استریونت برای نمایش ساختار سه بعدی صفحات شکستگی استفاده می‌شود. هر محور یک ساختار خطی است. برای ساده‌سازی نمایش شکستگی‌ها، هر شکستگی بصورت یک نقطه نمایش داده می‌شود: قطب شکستگی^{۱۲۰} (شکل ۱۳-۴). قطب، خطی است که از مرکز کره تصویر می‌گذارد و عمود بر صفحه شکستگی می‌باشد. هر قطب یک زاویه ۹۰ درجه با خط استرایک و زاویه ۹۰ درجه نیز با خط شیب می‌سازد. بنابراین، قطب، همیشه در ربع مخالف کره استریونت از شیب صفحه قرار دارد.

¹¹⁹ Rose Diagram

¹²⁰ Fracture pole



شکل ۱۳-۴ نمایش شکستگی در قالب قطب مربوطه (*Fracaflow user manual*).

در نرم افزار *Fracaflow* از دو نوع استریونت استفاده می‌شود: اشمیت^{۱۲۱} و والف^{۱۲۲}.

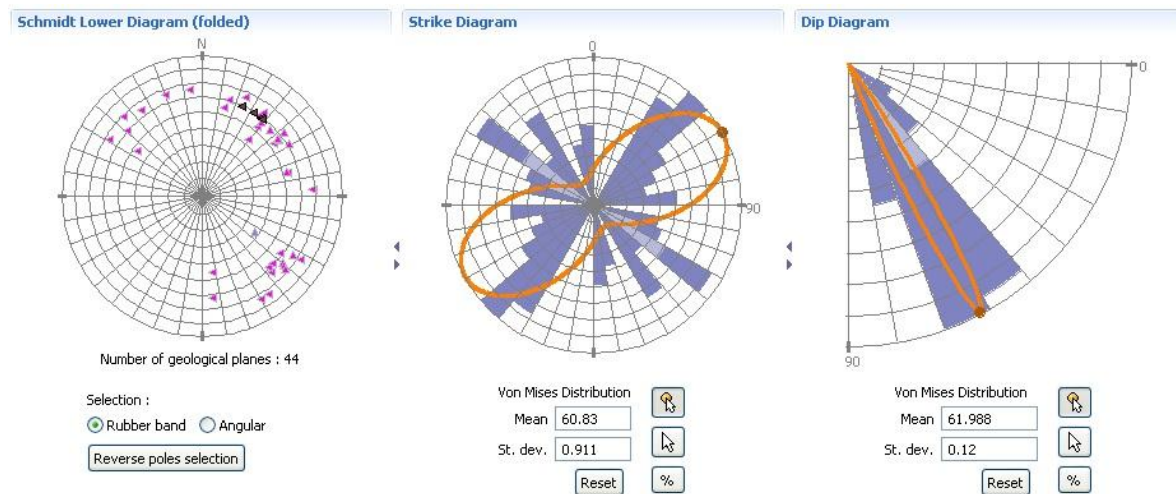
دیاگرام اشمیت برای نواحی پایدار (اندازه پایدار است ولی زوایا و اشکال تغییر می‌یابند) استفاده می‌شود. والف دیاگرام برای زوایای پایدار استفاده می‌شود. اشمیت دیاگرام یک استریو دیاگرام است که صفحات شکستگی را در قالب قطب‌های تصویرشده بر روی صفحه استوایی کره نشان می‌دهد.

با استفاده از دیاگرام استرایک، جهت‌گیری اصلی صفحات شکستگی را می‌توان دید. دیاگرام شیب، شیب اصلی صفحات شکستگی را نسبت به سطح افقی نمایش می‌دهد. اطلاعات جهت‌گیری تمام شکستگی‌های طبیعی باز در هر سه چاه مورد مطالعه، چاه *A*، چاه *B* و چاه *C* به ترتیب در شکل‌های (۴-۱۶)، (۱۵-۴) و (۱۶-۴) آمده است. در چاه *A*، شکستگی‌های باز پیوسته دارای روند غالب *N35E* و شیب

¹²¹ Schmidt

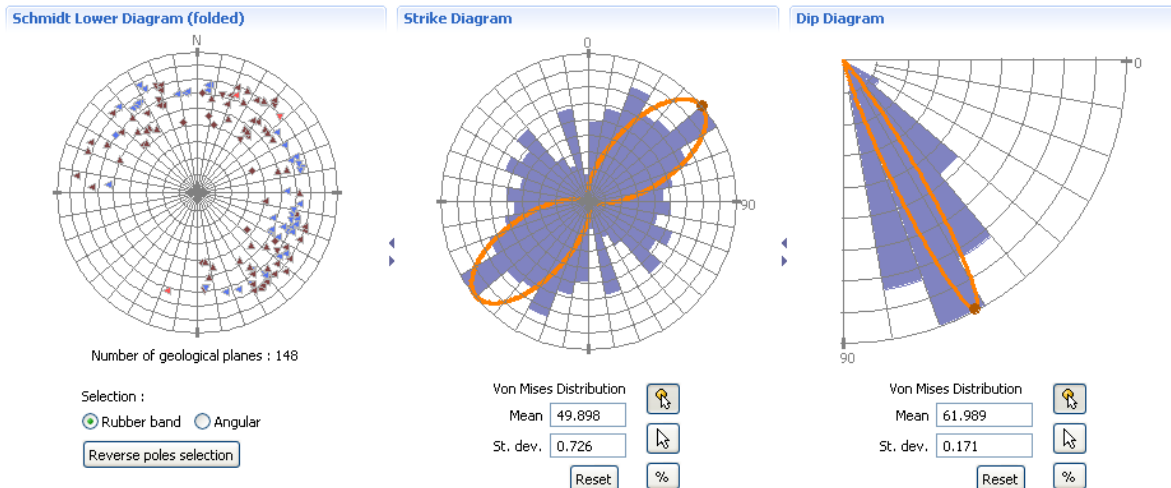
¹²² Wulff

میانگین ۵۸ درجه می‌باشند. شکستگی‌های محتمل باز نیز در این چاه دارای دو روند غالب $N35E$ و $N45W$ بوده و شیب آنها بین ۴۳ تا ۷۵ درجه تغییر می‌کند. شیب میانگین شکستگی‌های محتمل باز برابر با ۶۰ درجه می‌باشد.



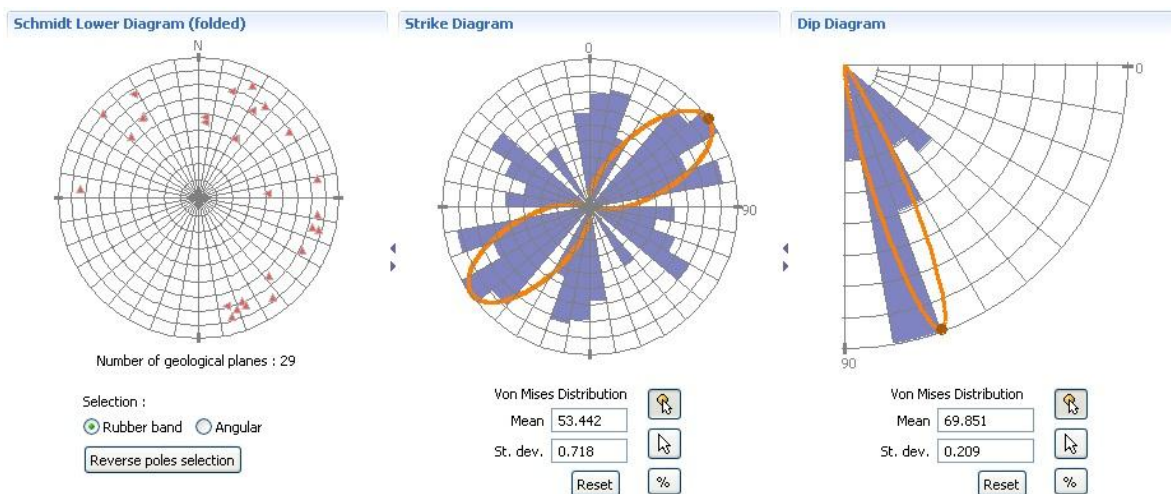
شکل ۱۴-۴ جهت‌گیری شکستگی‌های باز در چاه A

در چاه B، شکستگی‌های باز پیوسته دارای روند غالب $N20E$ و شیب میانگین ۶۲ درجه هستند. شکستگی‌های محتمل باز پراکنده بوده ولی روند غالب آنها $N65W$ است. شیب این شکستگی‌ها بین ۴۸ تا ۷۵ درجه متغیر است و شیب میانگین آنها برابر با ۶۵ درجه می‌باشد. پراکنده‌گی شکستگی‌های باز متفرقه (باز ناپیوسته) نیز در این چاه زیاد بوده و روند امتداد $N35W$ روند غالب آنها می‌باشد. شیب این شکستگی‌ها در محدوده ۳۹ تا ۷۲ درجه متغیر بوده و شیب میانگین برابر با ۵۸ درجه می‌باشد.



شکل ۱۵-۴ جهت‌گیری شکستگی‌های باز در چاه B

شکستگی‌های باز در چاه C در تمام جهات شیب دارند. این شکستگی‌ها در ربع‌های NW، NE و SE دیده می‌شوند. شیب این شکستگی‌ها متغیر در بازه ۴۰ تا ۸۰ درجه با شیب میانگین ۶۵ درجه می‌باشد.



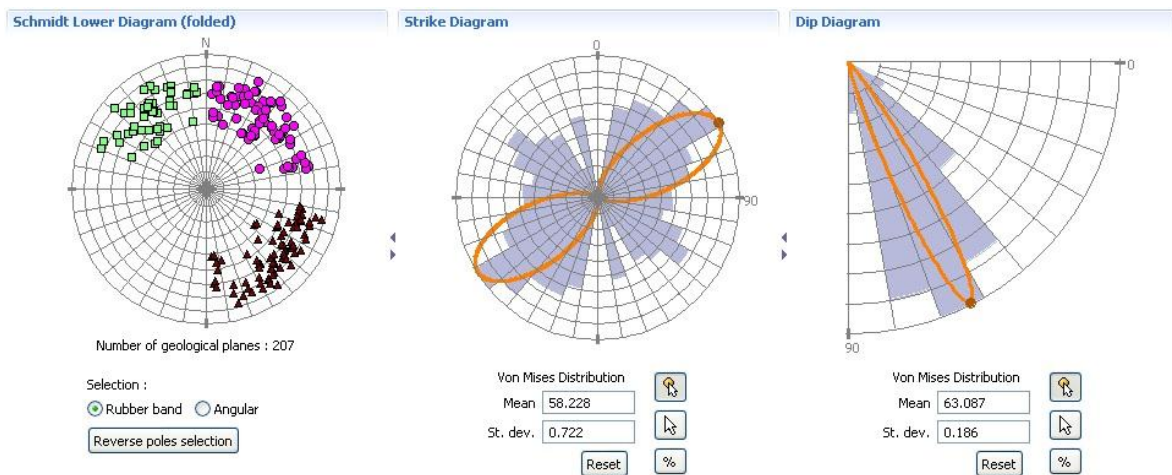
شکل ۱۶-۴ جهت‌گیری شکستگی‌های باز در چاه C

شکستگی‌هایی که از یک مقوله هستند، که احتمالاً در دوره زمانی یکسانی ایجاد شده‌اند، در یک دسته شکستگی گروه‌بندی می‌گردند. در گروه‌بندی شکستگی‌ها بصورت دسته‌های مختلف، فرض بر آن است که شکستگی‌ها احتمالاً دارای خصوصیات یکسان بخصوص جهت‌گیری مشابه می‌باشند.

شکستگی‌ها در هر سه چاه به طور همزمان مورد آنالیز قرار گرفته و شکستگی‌هایی که دارای خصوصیات جهت‌گیری مشابه هستند در دسته شکستگی‌ها گروه‌بندی شده‌اند. بر این اساس در این سه چاه سه دسته شکستگی ایجاد گردید که اطلاعات آماری این دسته شکستگی‌ها در جدول (۶-۴) آمده است. شکستگی‌ها نیز از نوع پراکنده می‌باشند. به طور کلی از ۲۲۱ شکستگی موجود در هر سه چاه تعداد ۲۰۷ شکستگی در قالب این سه دسته شکستگی قرار گرفت. اطلاعات جهت‌گیری دسته شکستگی‌ها در شکل (۱۷-۴) می‌توان مشاهده کرد. در این شکل، دسته شکستگی $n45$ به شکل مثلث و رنگ قهوه‌ای، دسته شکستگی $n50$ به شکل مربع و رنگ سبز، دسته شکستگی $n127$ به شکل دایره و رنگ قرمز می‌باشند.

جدول ۶-۴ اطلاعات آماری دسته شکستگی‌ها.

<i>Data</i>	<i>Points</i>	<i>Strike (°)</i>	<i>Dip (°)</i>	<i>DevAngle (°)</i>
<i>data</i>	207	54	85	<i>No value</i>
<i>n127</i>	79	127	59	23
<i>n50</i>	46	53	63	23
<i>n45</i>	82	45	63	22

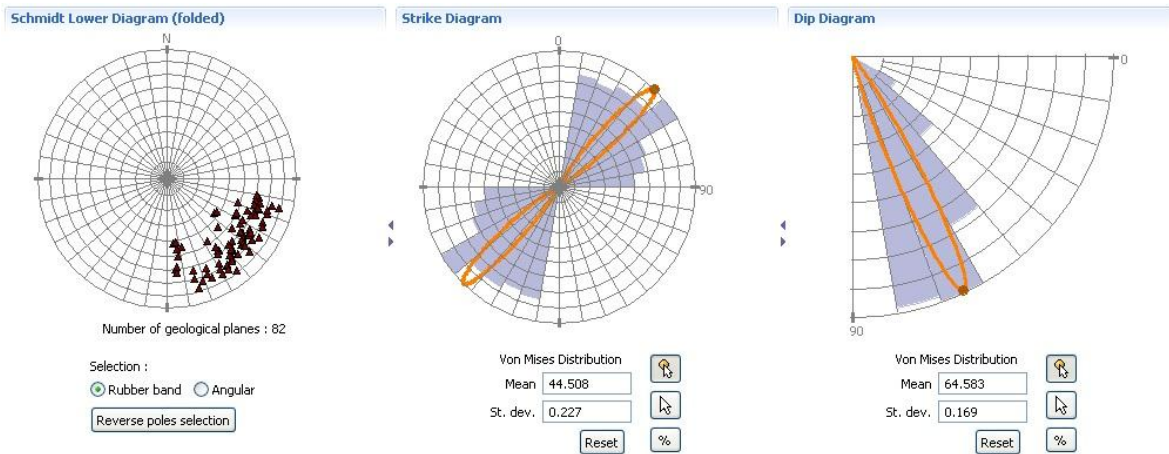


شکل ۱۷-۴ اطلاعات جهتگیری دسته شکستگی‌ها.

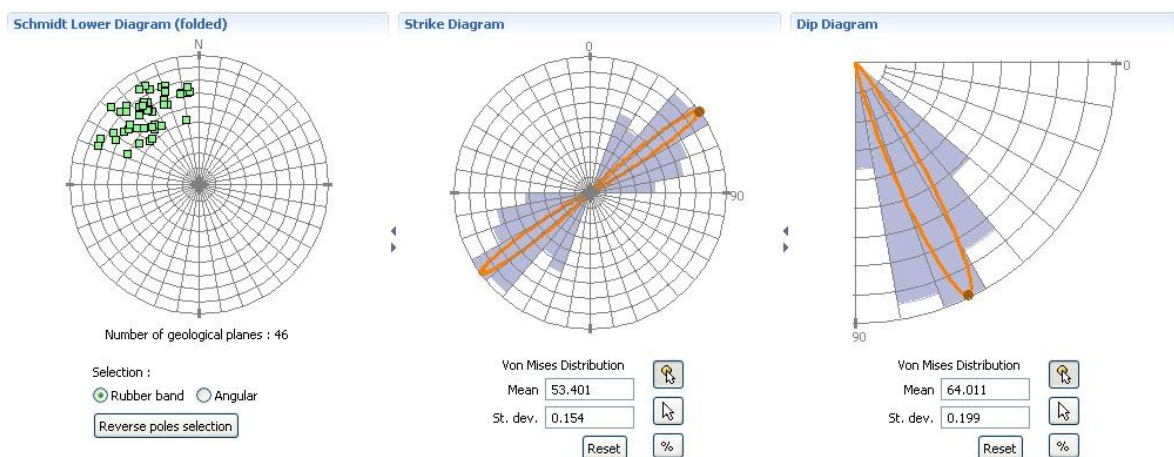
همچنین اطلاعات جهتگیری هر یک از دسته شکستگی‌ها به طور مجزا در شکل‌های ۱۸-۴، ۱۹-۴ و ۲۰-۴ آمده است.

شیب شکستگی‌ها در دسته $n=45$ بین 40° تا 80° درجه متغیر است و میانگین آنها 65° درجه می‌باشد.

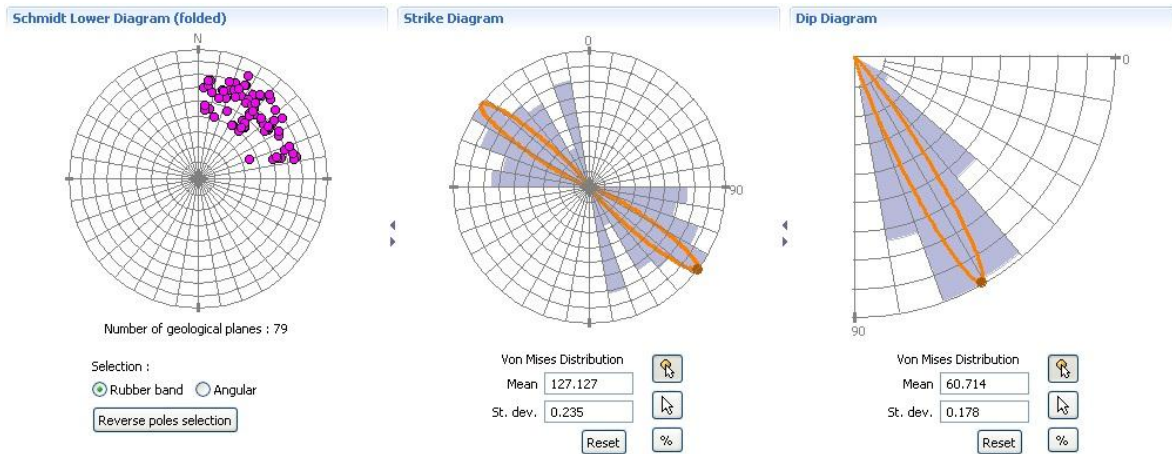
دسته $n=50$ دارای شیب در محدوده بین 40° تا 90° درجه بوده و میانگین شیب در این دسته تقریباً 65° درجه می‌باشد. شیب شکستگی‌ها در دسته $n=127$ نیز متغیر بین مقادیر 40° تا 80° درجه بوده و میانگین شیب شکستگی‌ها نیز برابر با 60° درجه است.



شکل ۱۸-۴ اطلاعات جهتگیری دسته شکستگی n45.



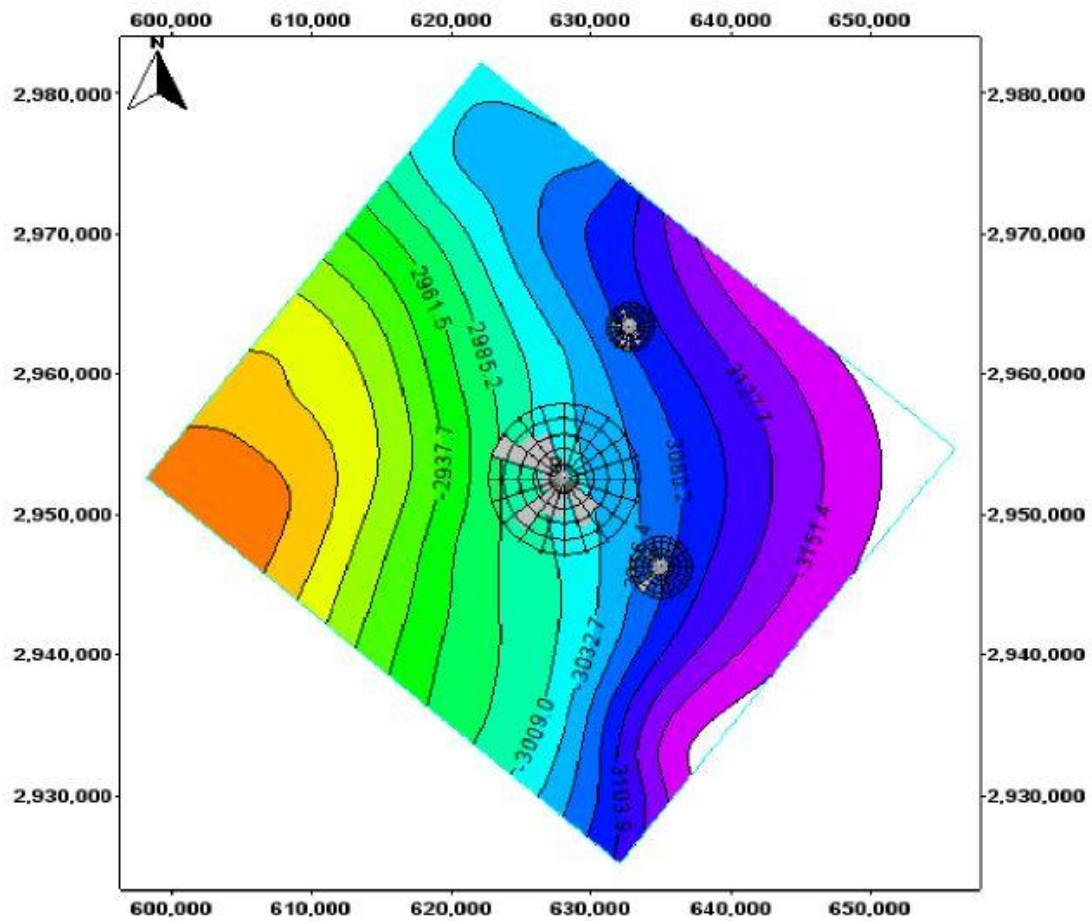
شکل ۱۹-۴ اطلاعات جهتگیری دسته شکستگی n50



شکل ۲۰-۴ اطلاعات جهت‌گیری دسته شکستگی .n127

در *FracFlow* می‌توان رز دیاگرام دسته شکستگی‌های هر چاه را در دو بعد و بر روی نقشه افق‌های لرزه‌ای^{۱۲۳} مشاهده نمود. در شکل (۲۱-۴) موقعیت چاه‌ها و همچنین رز دیاگرام مربوط به شکستگی‌های هر چاه در قالب دسته‌شکستگی‌ها بر روی افق لرزه‌ای *K1* می‌توان مشاهده نمود.

¹²³ Seismic Horizon



شکل ۲۱-۴ مشاهده رز دیاگرام دسته شکستگی‌ها و موقعیت چاه‌ها بر روی افق لرزه‌ای ناحیه مورد مطالعه از مخزن.

۴-۳-۶ اندازه و شکل شکستگی‌ها

بدلیل اینکه هیچ یک از ابزارهای درون‌چاهی قادر به اندازه‌گیری مستقیم اندازه شکستگی‌ها نمی‌باشد، این پارامتر کمتر از بقیه پارامترها مشخص است. به دست آوردن اندازه شکستگی‌ها از نمودارهای تصویری مشکل می‌باشد. به این دلیل که گمانه فقط قسمتی از شکستگی‌ها را قطع می‌نماید. منبع دیگری که قادر

به محاسبه این پارامتر می‌باشد، بررسی رخنمون می‌باشد. داده‌های دینامیکی نیز ایده‌ی کلی از اندازه شکستگی‌ها می‌دهند (Hoffman *et al*, 2009).

اطلاعات درباره شکستگی‌ها نیز بسیار محدود می‌باشد. توسط بررسی‌های رخنمون نیز نمی‌توان اطلاعات کاملی از شکستگی‌ها به دست آورد. در نرم‌افزار *FracFlow*، شکستگی‌ها به صورت مستطیل شکل و یا بیضوی شکل نمایش داده می‌شوند. طول شکستگی معرف اندازه محور اصلی مستطیل یا بیضی است. در *FracFlow* می‌توان نسبت وجه^{۱۲۴} را نیز تعریف نمود. نسبت وجه برابر با نسبت محور کوچکتر به محور بزرگتر در مستطیل و بیضی است. این مقدار همواره کوچکتر یا مساوی یک می‌باشد. در این مطالعه، برای مدل کردن شکستگی‌ها در نواحی اطراف چاه، شکل شکستگی‌ها به صورت مستطیلی شکل و در نواحی بین چاه‌ها به صورت بیضوی شکل در نظر گرفته شده است شکل (۲۲-۴).

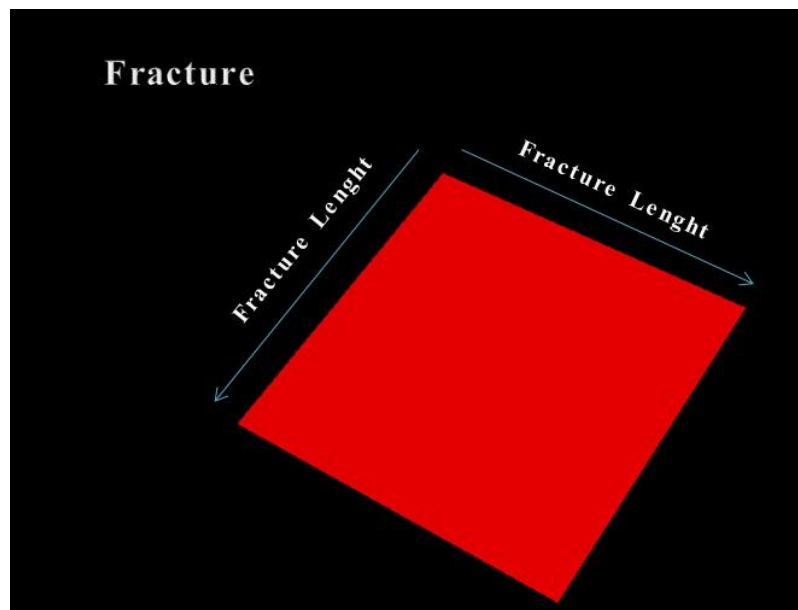
اندازه شکستگی‌ها را می‌توان از دو طریق محاسبه نمود و در مدل وارد کرد. راه اول، استفاده از اطلاعات بررسی رخنمون است که توسط زمین‌شناسان انجام می‌پذیرد. از آنجایی که نتایج بررسی رخنمون در دسترس نمی‌باشد، نمی‌توان از این طریق اندازه شکستگی را محاسبه و در مدل وارد نمود.

راه دوم، بر پایه تطابق بین توزیع دهانه شکستگی و طول آن می‌باشد. کاملاً واضح است که بین اندازه شکستگی و دهانه آن رابطه‌ای برقرار است. توزیع دهانه به نسبت وجه بین دهانه و طول بزرگتر مرتبط است. براساس معادله (۲-۴) دهانه شکستگی‌ها به دست می‌آید.

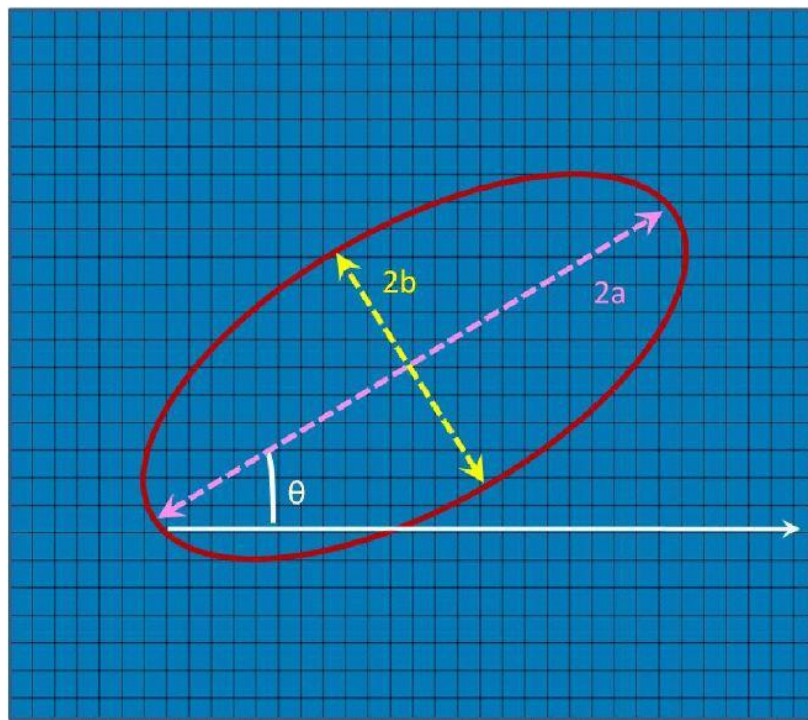
$$a = ar * L \quad (2-4)$$

که در این معادله، a دهانه شکستگی (m)، ar نسبت وجه (بی‌بعد) و L طول شکستگی (m) هستند.

¹²⁴ Aspect Ratio



شکل ۲۲-۴ مدل مربعی شکستگی در نرم افزار *FracFlow*

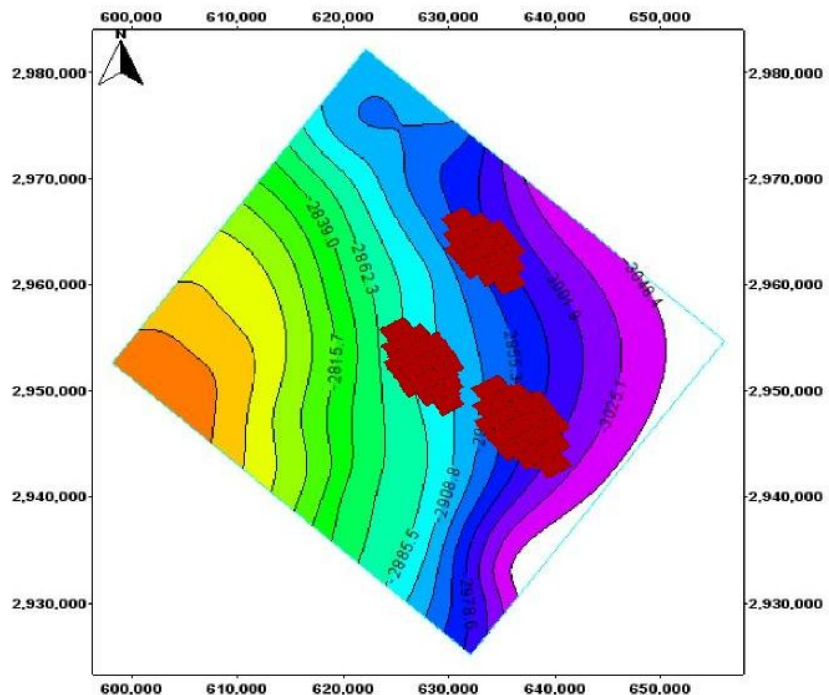


شکل ۲۳-۴ مدل بیضوی شکستگی در نرم افزار *FracFlow*

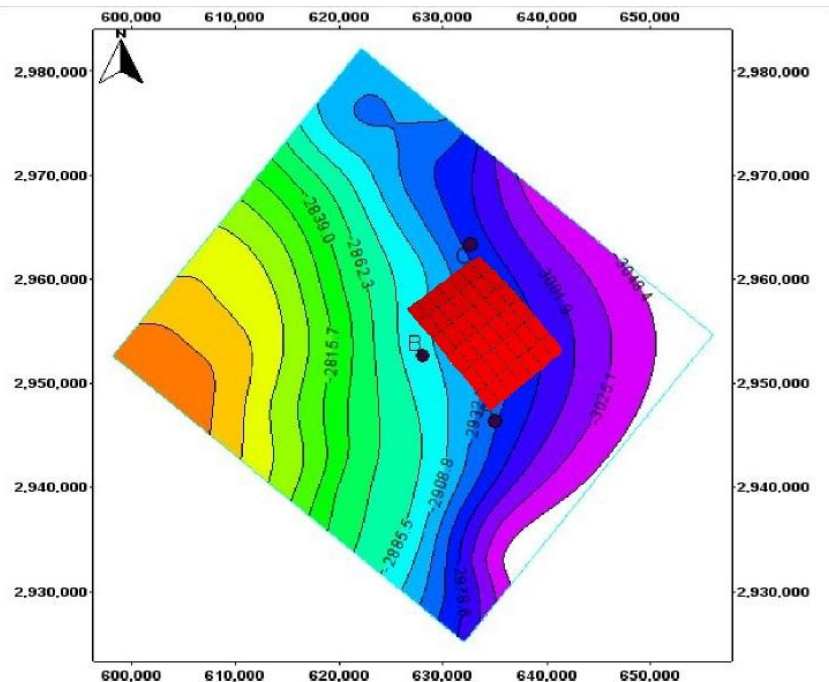
۴-۴ ساخت ناحیه مورد نظر^{۱۲۵}

برای ساخت مدل شبکه شکستگی‌ها باید ناحیه‌ای که می‌خواهیم شکستگی‌ها را در آن مدل کنیم مشخص نماییم. در تعیین این ناحیه، باید گسترش عمودی و گسترش جانبی جهت ساخت مدل را تعیین نمود. گسترش عمودی، لایه‌های مخزنی مورد مطالعه است. چندین نوع گسترش جانبی را می‌توان انتخاب نمود. این گسترش‌های جانبی شامل، انتخاب دستی سلول‌های شبکه، انتخاب کل شبکه، انتخاب شعاعی در اطراف چاه (تعداد سلول‌ها در اطراف گمانه) و انتخاب سلول‌های بین دو چاه می‌باشند. به دلیل اهمیت شکستگی‌های اطراف چاه در جریان سیال به طرف چاه و تولید از آن، در این پایان‌نامه شعاعی در اطراف چاه‌ها که برابر با سه سلول است، به عنوان ناحیه مورد نظر تعیین گردیده است. در شکل (۴-۴) ناحیه انتخاب شده اطراف چاه‌ها در دو بعد نمایش داده شده است. همچنین برای مدل‌سازی شکستگی‌های بین چاه‌ها نیز ناحیه بین چاه‌های مورد مطالعه انتخاب گردیده است. نمایش دو بعدی آن در شکل (۴-۵) قابل رویت است.

¹²⁵ Zone Of Interest (ZOI)



شکل ۲۴-۴ ناحیه انتخاب شده (شعاعی در اطراف چاه) جهت مدلسازی



شکل ۲۵-۴ ناحیه انتخاب شده (انتخاب سلول‌های بین چاهها) جهت مدلسازی

۴-۵ ساختن مدل‌های شبکه گسسته شکستگی

هدف از مدل‌سازی شکستگی‌ها یکپارچه‌سازی اطلاعات زمین‌شناسی، ژئوفیزیکی و داده‌های مهندسی مخزن، در صورت در دسترس بودن، جهت ساخت مدل‌های سه‌بعدی قابل قبول از شبکه شکستگی است. این کار با هدف (i) پیش‌بینی توزیع خصوصیات دسته شکستگی‌ها در واحدهای مخزنی و (ii) ساخت مدل سه‌بعدی شبکه شکستگی جهت استفاده در محاسبات جریان سیال، انجام می‌گیرد. برای ساخت مدل‌های شبکه گسسته شکستگی‌ها به یک سری از پارامترهای محاسبه شده در این فصل نیاز می‌باشد. این مدل‌های تصادفی براساس توزیع جهت‌گیری (مقدار میانگین و پراکندگی شیب و آزمیوت)، مقادیر چگالی شکستگی محاسبه شده، دهانه شکستگی‌ها و طول آنها ساخته می‌شوند. بعضی از دیگر پارامترهای مورد نیاز نیز مربوط به رخساره‌های سنگی می‌باشند مثل حداقل طول رخساره‌ها، چگالی شکستگی‌ها در هر رخساره. برای هر یک از پارامترهای فوق، مدل *DFN* نیازمند مقدار میانگین و بازه تغییراتی متغیرها برای محاسبه اطلاعات آماری و استفاده از آن در ساخت مدل سه‌بعدی می‌باشد. این مدل‌ها دارای شکل ظاهری متفاوت می‌باشند اما اطلاعات آماری تمامی مدل‌ها یکسان است.

در نرم‌افزار *fracaflow* و به طور کلی در مدل‌سازی تصادفی شبکه گسسته شکستگی، تمامی روش‌ها برای مدل‌سازی گسسته برمبنای روش‌های تصادفی^{۱۲۶} هستند. که تابعی برای تولید یک سری اعداد تصادفی هستند که "تولیدکننده تصادفی"^{۱۲۷} نامیده می‌شوند. این مفاهیم بدین معنی است که الگوی شکستگی تولیدشده، تنها یک مدل از میان اعداد نامتناهی از مدل‌های همارز^{۱۲۸} است که دقیقاً پارامترهای ورودی و محدودیت‌های یکسانی دارند. مدل‌های همارز از طریق اجرای روش تولید با پارامترهای یکسان ولی با یک جستجوی مختلف از تولید کننده تصادفی، به دست می‌آیند.

¹²⁶ Random Procedure

¹²⁷ Random Generator

¹²⁸ Equivalent Models

۱-۵-۴ فرآیند تصادفی

یک نقطه (یک سبد) به صورت تصادفی در فضای سه بعدی از سلول های شبکه زمین شناسی انتخاب می گردد. از احتمال شروع^{۱۲۹} برای شمارش چگالی سلول های مجاور یک دیگر استفاده می شود. این کار جهت اجتناب از انتخاب مقادیر با اختلاف زیاد بین سلول های با چگالی مختلف انجام می گیرد. از فرآیند پوآسون جهت تعیین چگالی در هر سلول استفاده می شود.

۲) شیب، آزیموت، موقعیت قرار گیری و اندازه شکستگی ها در توزیع های آماری تصادفی که توسط کاربر تعیین می شوند، انجام می گیرد.

۳) همچنین رخساره ها، واحد ها و محدوده مخزن را نیز می توان تعیین نمود.

۲-۵-۴ شرطی سازی فرآیندهای تصادفی

شبیه سازی را می توان بوسیله شکستگی های مشاهده شده در چاه ها شرطی سازی نمود. این کار از طریق زیر انجام می گیرد:

الف) حذف کردن تمام شکستگی های شبیه سازی غیرشرطی که چاه را قطع می کنند.

ب) تمام شکستگی های مشاهده شده در طول چاه تنها بوسیله جهت گیری و موقعیت تقاطع آنها با چاه شناخته می شوند. ارتفاع و طول آنها به صورت تصادفی از فرآیندهای ذکر شده تعیین می شوند.

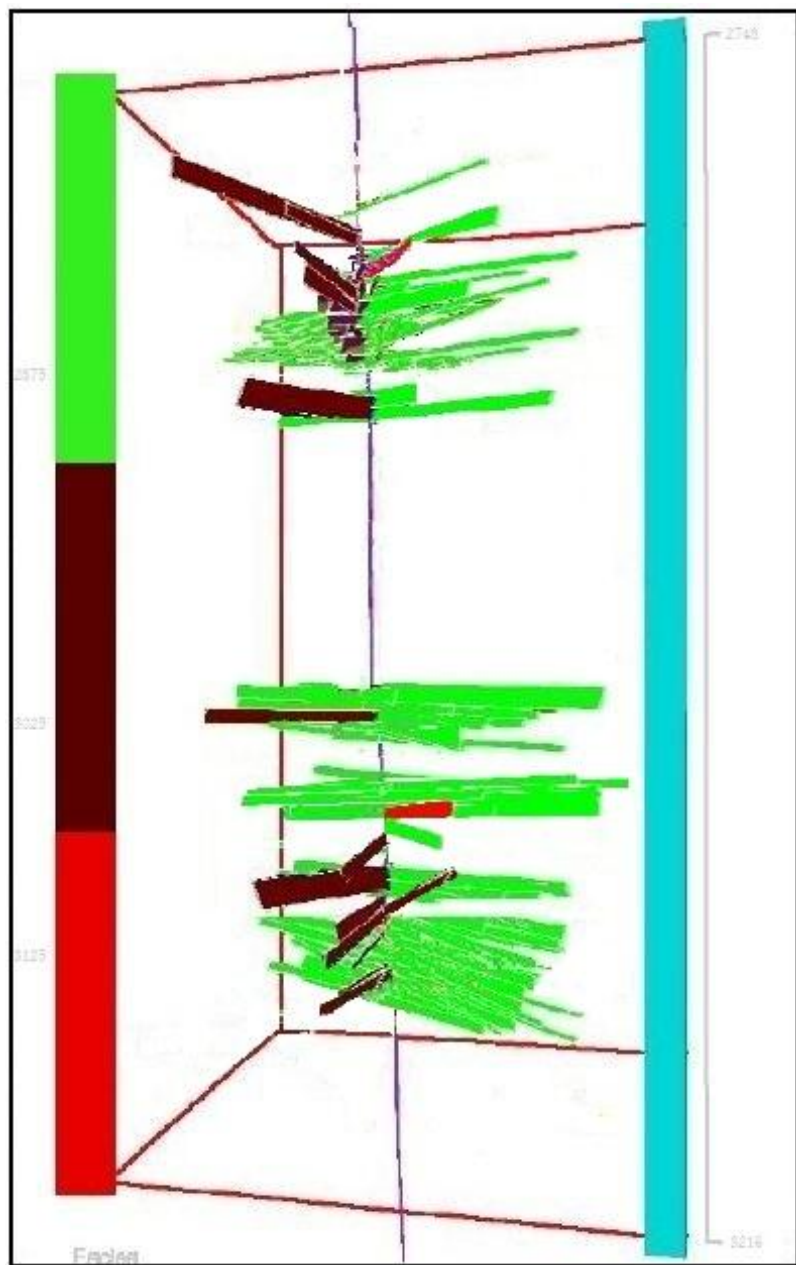
در شکل های (۴-۲۴، ۴-۲۵ و ۴-۲۶) مدل های تصادفی شبکه گسسته شکستگی ساخته شده در چاه نشان داده شده است. گرچه شکل ظاهری این مدل ها متفاوت می باشد ولی دارای اطلاعات آماری کاملاً یکسان می باشند. برای سهولت در مشاهده شکستگی ها فقط شکستگی های قطع کننده چاه نمایش داده

¹²⁹ Probability of Initiation

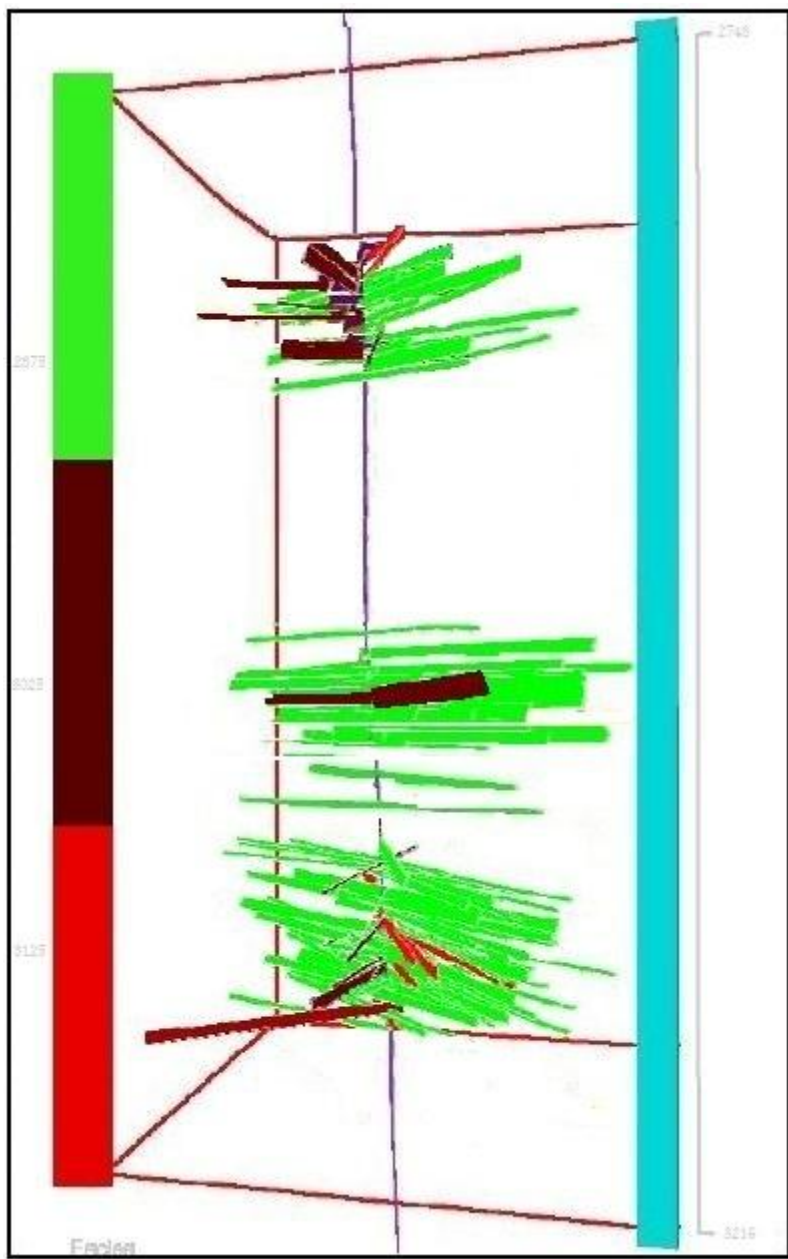
شده است. در این شکل رنگ سبز معرف شکستگی‌های محتمل باز، رنگ قرمز معرف شکستگی‌های باز پیوسته و شکستگی‌های باز متفرقه (باز ناپیوسته) به رنگ قهوه‌ای می‌باشند. این مدل‌ها معروفی ساده و کیفی از توزیع شکستگی‌ها در چاه براساس اطلاعات آماری استخراج شده با استفاده از آنالیزهای انجام شده است.



شکل ۲۶-۴ مدل تصادفی DFN ساخته شده در چاه B



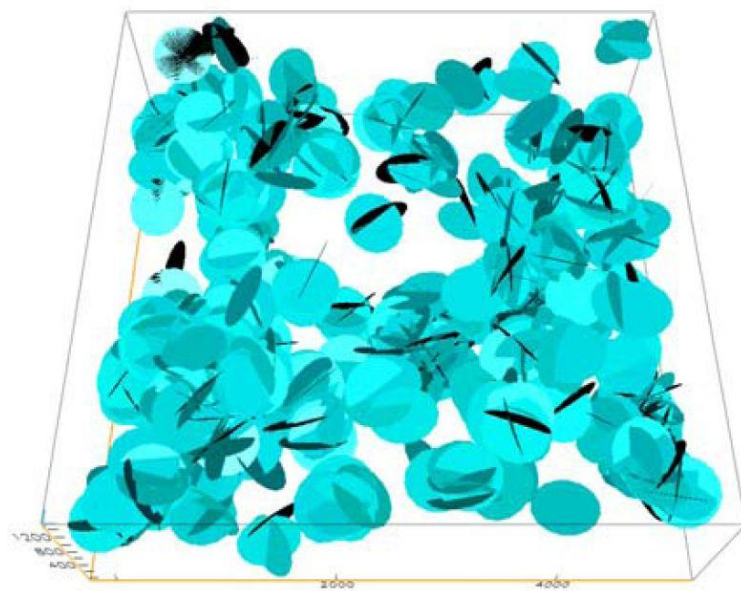
شکل ۲۷-۴ مدل تصادفی DFN ساخته شده در چاه B



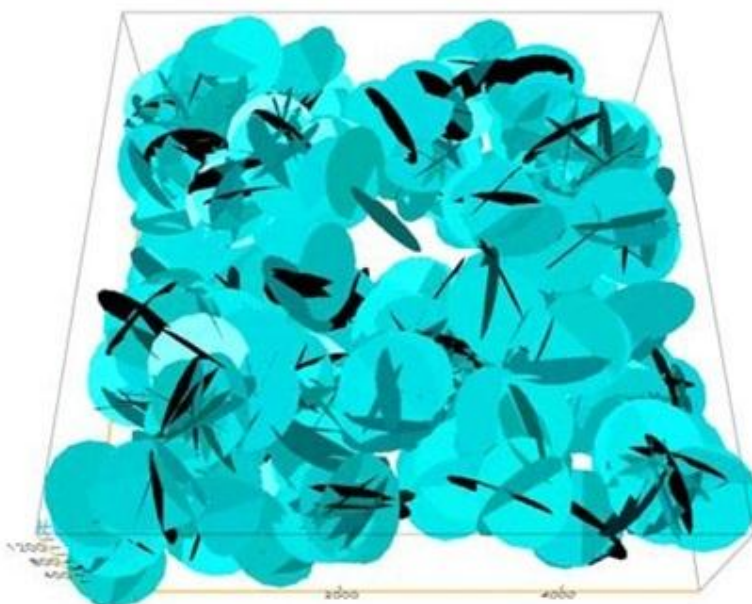
شکل ۲۸-۴ مدل تصادفی DFN ساخته شده در چاه B

همانطور که قبلاً ذکر گردید (بخش ۴-۳-۶) شکستگی‌ها به صورت مستطیلی شکل یا بیضوی شکل در نظر گرفته می‌شوند. در شکل‌های (۳۱-۴، ۲۹-۴ و ۳۰-۴) مدل‌های تصادفی شبکه گسسته ساخته

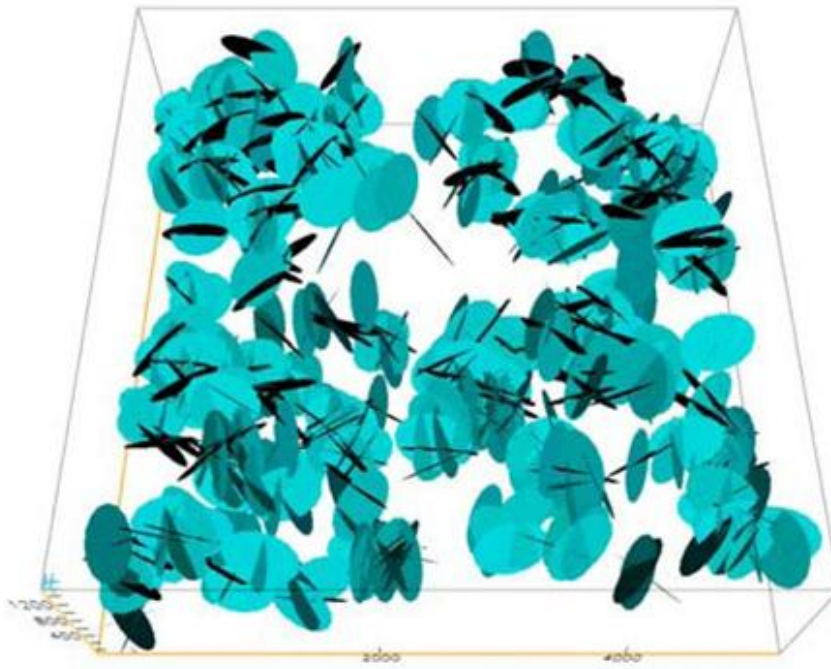
شده در ناحیه بین چاهها نمایش داده شده است. در بلوک بین چاهها، شکستگی‌ها بصورت بیضوی شکل در نظر گرفته شده‌اند.



شکل ۲۹-۴ مدل DFN ساخته شده در ناحیه بین چاه‌های مورد مطالعه



شکل ۳۰-۴ مدل DFN ساخته شده در ناحیه بین چاه‌های مورد مطالعه



شکل ۴-۳۱ مدل DFN ساخته شده در ناحیه بین چاههای مورد مطالعه

۶-۴ آنالیز دینامیکی شکستگی‌ها

برای کالیبره کردن مدل شکستگی‌ها و همچنین جهت تطابق با آنالیز شکستگی‌ها، از آنالیزهای دینامیکی باید کمک گرفت. در این بخش، هدف از انجام این آنالیزها و همچنین نتیجه آنالیز بر روی داده‌های موجود آورده شده است. در نهایت نتایج تطابق بین آنالیز دینامیکی و نتایج آنالیز شکستگی‌ها آورده شده است.

۶-۱ هدف از آنالیزهای دینامیکی

تأثیر شکستگی‌ها بر رفتار دینامیکی میدان را می‌توان از طریق آنالیزهای متفاوتی ارزیابی کرد. درواقع، با آنالیز اندازه‌گیری‌های تولید، داده‌های هرزروی گل و غیره می‌توان اطلاعاتی از مکان شکستگی‌ها و تأثیر

آنها بر عملکرد چاه به دست آورد. هدف از آنالیزهای دینامیکی، با استفاده از داده‌های دینامیکی، خواه مخزن شکسته باشد یا شکسته نباشد، تخمین اثر شکستگی‌ها بر روی رفتار دینامیکی مخزن، ارزیابی اثر همسایگی گسل‌ها و همچنین گرفتن ایده‌ای از بیشترین رخساره‌های شکسته شده و سهم آنها در جریان سیال است. به طور کلی هدف اصلی از آنالیز شکستگی‌ها پاسخ به سوالات زیر است؟

آیا میدان شکسته است؟ یا خیر؟ اگر شکسته است، آیا شکستگی‌ها بر روی جریان سیال تأثیر دارند یا خیر؟

۴-۶-۲- آنالیزهای دینامیکی انجام شده بر روی چاه‌های مورد مطالعه

بر اساس در دسترس بودن اطلاعات دینامیکی می‌توان آنالیزهای زیر را بر داده‌های ورودی انجام داد:

^{۱۳۰} ♦ آنالیزهای جریان سنج

^{۱۳۱} ♦ آنالیزهای هرزروی گل

^{۱۳۲} ♦ آنالیزهای شاخص تولیدپذیری

^{۱۳۳} ♦ آنالیزهای تولید

^{۱۳۴} ♦ آنالیزهای چاه آزمایی

¹³⁰ *Flowmeter analysis*

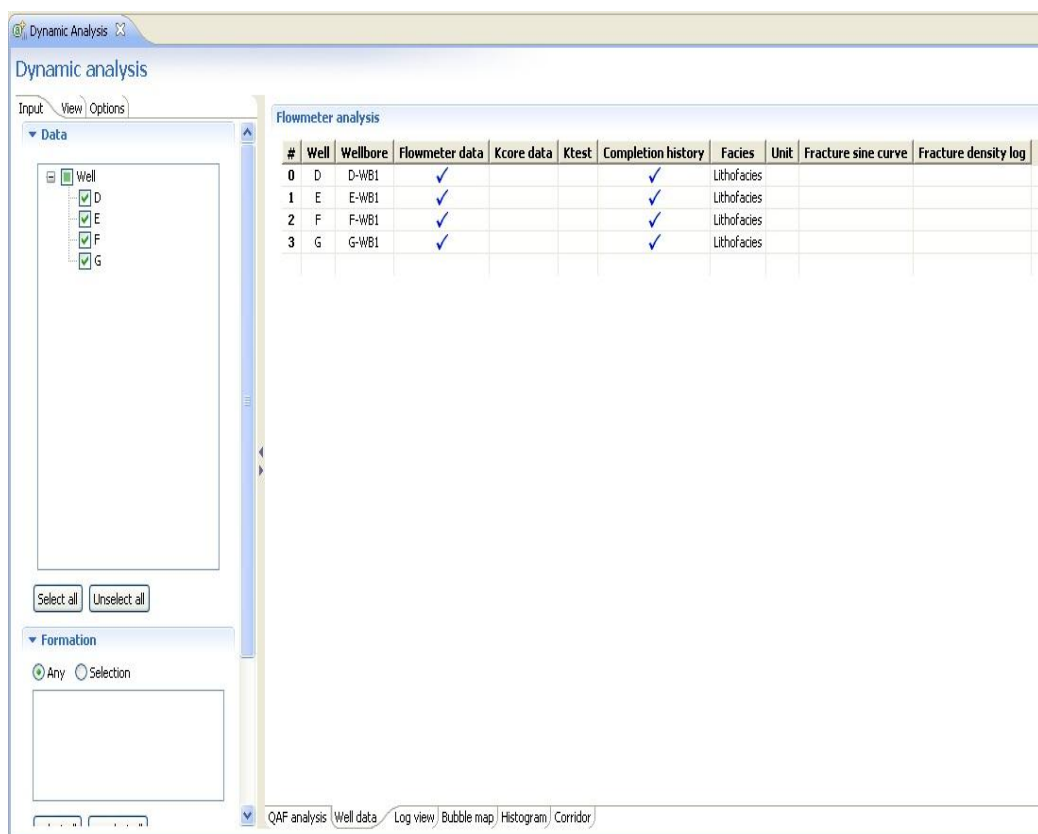
¹³¹ *Mud loss analysis*

¹³² *PI analysis*

¹³³ *Production analysis*

¹³⁴ *Well test analysis*

در پنل داده‌های چاه^{۱۳۵}، خلاصه‌ای از داده‌های موجود هر چاه برای آنالیز را به طور کلی می‌توان دید (شکل ۳۲-۴). همانطور که این شکل نشان می‌دهد، داده‌های جريان سنج و تاریخچه تکمیل چاه (بازه‌های مشبك‌کاری) و همچنین رخساره‌های سنگی برای انجام آنالیزها موجود می‌باشند. داده‌های جريان سنج از آزمایش‌های تولید^{۱۳۶} به دست آمده است.



شکل ۳۲-۴ داده‌های دینامیکی موجود در هر چاه جهت انجام آنالیزهای دینامیکی.

برای تفسیر کیفی تأثیر شکستگی‌ها بر جريان سیال، باید نمودارهای تولید تفسیر گردند و مقدار سهم مشارکتی هر یک از لایه‌ها در تولید مشخص گردد. در پنل *Log View* می‌توان نتایج آزمایش‌های جريان-

¹³⁵ Well data

¹³⁶ Production Logging Tools (PLT)

سنچ و مکان هرزروی گل، اگر در دسترس باشد، را به طور جزئی تر نگاه کرد (شکل ۴-۲۶). در این شکل می‌توان بر موارد زیر نگاه اجمالی داشت:

❖ عمق لایه‌های تولیدی

❖ بازه‌های پیک شده (پیک‌های تولیدی)^{۱۳۷}

❖ رخساره‌ها

❖ تکمیل (فواصل مشبک‌کاری)^{۱۳۸}

❖ ترک نرخ تجمعی فواصل^{۱۳۹}

❖ ترک نرخ جریان^{۱۴۰}

از لاغ جریان سنچ برای تعیین کمترین حد آستانه مقدار Q_f (نرخ جریان در طول چاه) استفاده می-

شود. اگر نرخ جریان از مقدار Q_f بیشتر باشد، یک پیک بازه بر روی لاغ ظاهر می‌شود.

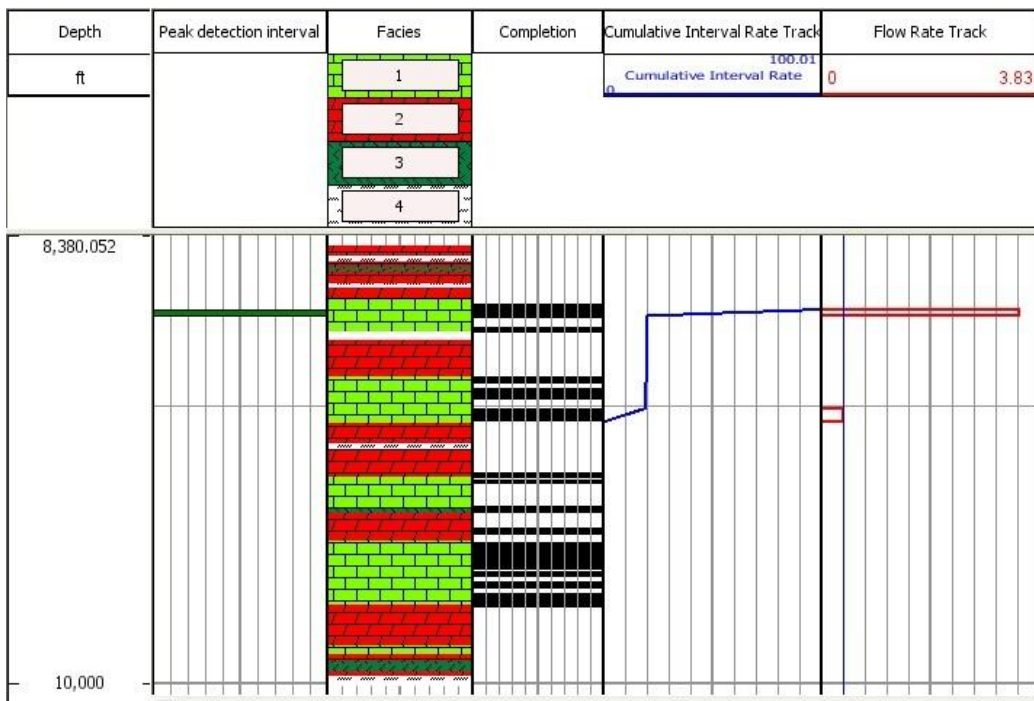
تمامی لایه‌های مخزنی چاه D مشبک‌کاری شده‌اند. در این چاه فقط از لایه‌های $K1$, $K2$ و $K3$ نمودارگیری انجام شده است. در این چاه براساس آزمایش انجام شده در سه لایه، بیشترین سهم تولید متعلق به لایه $K1$ بوده و دارای بیشترین درصد مشارکت در تولید می‌باشد (شکل ۴-۳۳).

¹³⁷ Peak Detection Interval

¹³⁸ Completion

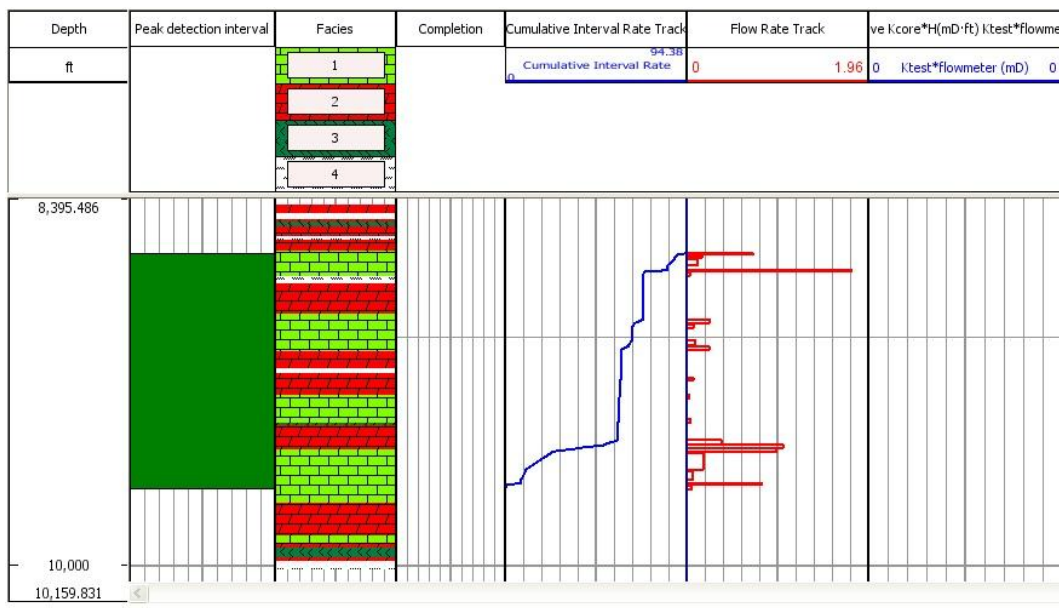
¹³⁹ Cumulative Interval Rate Track

¹⁴⁰ Flow Rate Track



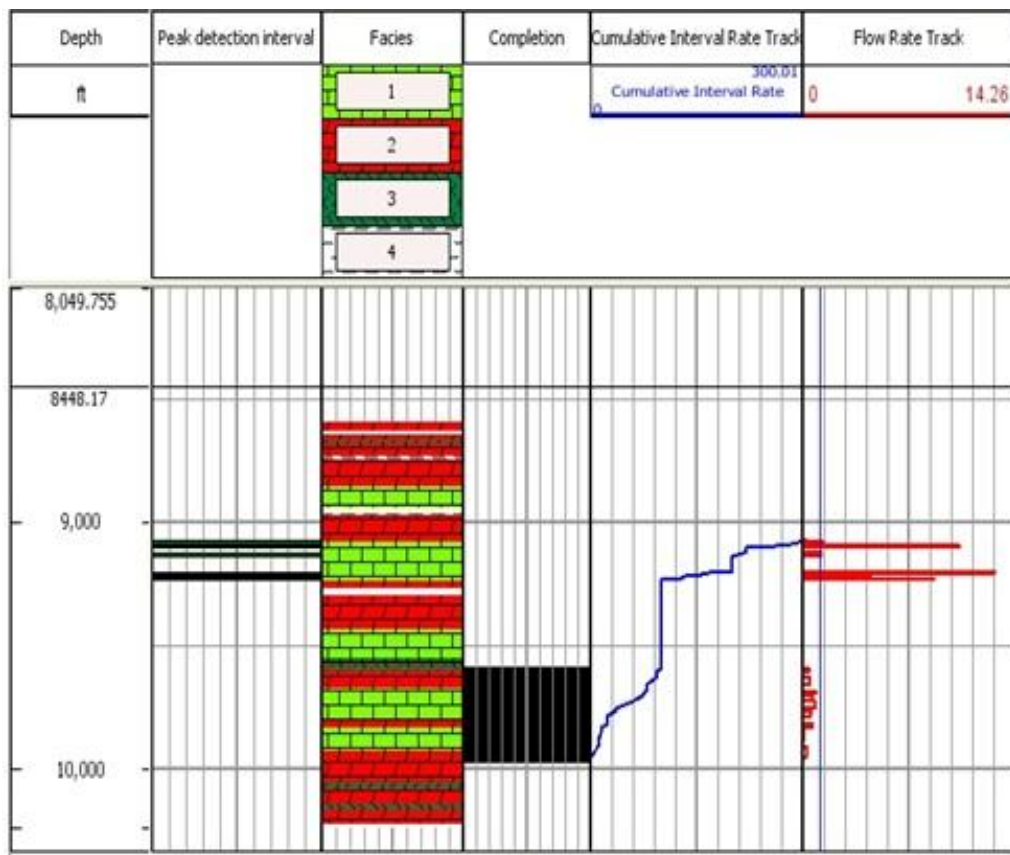
شکل ۴-۳۳ نمودارهای دینامیکی در چاه D

نمودارهای تولید در چاه E از تمامی لایه‌های مخزنی می‌باشد. در این چاه بیشترین سهم تولیدی مربوط به لایه K4 و بعد از آن لایه K1 دومین سهم تولیدی را دارد. فقط قسمت‌های بالای K3 نیز دارای سهم قابل توجه در تولید بوده و بقیه قسمت‌ها سهم خیلی کمی در تولید دارند شکل (۴-۳۴).



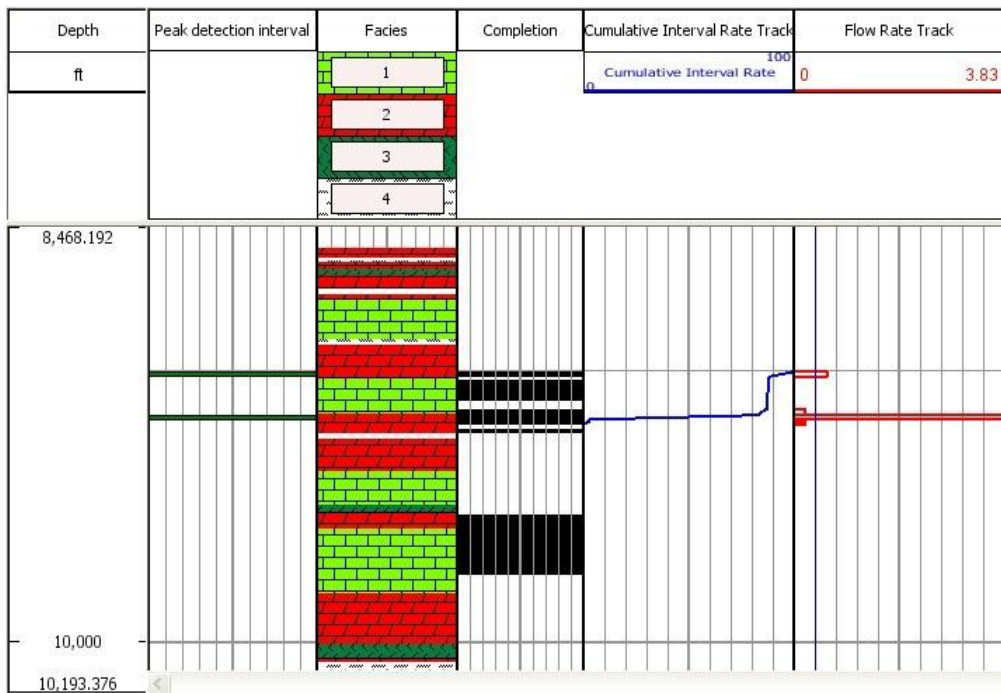
شکل ۳۴-۴ نمودارهای دینامیکی در چاه E

در چاه F، لاگ‌های تولید فقط در لایه‌های K2، K3 و K4 رانده شده‌اند (شکل ۳۵-۴). در این چاه لایه K2 دارای بیشترین سهم تولید بوده و بسیاری از بازه‌های لایه دارای بیشترین سهم تولید بوده و بسیاری از بازه‌های لایه K3 در تولید هیچ مشارکتی نداشته‌اند. لایه K1 در این چاه مشبک‌کاری نشده است.



شکل ۳۵-۴ نمودارهای دینامیکی در چاه F

نمودارهای تولید فقط در لایه‌های K_2 و K_3 در چاه G رانده شده‌اند و متاسفانه در لایه K_4 که دارای خصوصیات مخزنی قابل توجه بوداست، آزمایش‌های تولید انجام نگرفته است. لایه‌های K_2 و K_3 مشبک-کاری شده‌اند و لایه K_4 به صورت حفره باز تکمیل گردیده است. همانطور که در شکل (۳۶-۴) مشخص است بر اساس آزمایش انجام شده، لایه K_2 دارای سهم تولیدی یا لاتری نسبت به لایه K_3 بوده و قسمت-های بالایی K_3 در تولید مشارکت می‌کنند.



شکل ۳۶-۴ نمودارهای دینامیکی در چاه G.

از آنالیزهای دینامیکی انجام شده به دلیل محدود بودن اطلاعات دینامیکی موجود نمی‌توان درباره شکسته بودن یا نبودن میدان نتیجه‌ای گرفت. اما به طور کلی همانطور که در تفسیر هر چاه ذکر گردید، می‌توان نتیجه گرفت که لایه $K4$ دارای بالاترین سهم تولید می‌باشد. همچنین با تطبیق عمقی بین چاه‌های دارای اطلاعات شکستگی و چاه‌هایی که دارای نتایج آزمایش‌های تولید می‌باشند، می‌توان نتیجه گرفت که لایه $K4$ دارای بیشترین تعداد شکستگی‌ها و همچنین بیشترین سهم تولیدی در نمودارهای تولید نیز می‌باشد. لایه $K1$ نیز دارای بیشترین تعداد شکستگی‌های طبیعی بعد از لایه $K4$ بوده و همچنین در نمودارهای تولید نیز دارای سهم مشارکت قابل توجهی است. به طور کیفی می‌توان نتیجه گرفت که شکستگی‌ها در این دو لایه بر تولید تأثیرگذار بوده و بهتر است که در مطالعات مخزنی این نتایج حتماً گنجانده شوند.

۷-۴ جمع‌بندی و نتیجه‌گیری

ورودی‌های لازم جهت مدل کردن شکستگی‌های طبیعی به روش تصادفی شبکه گسسته شکستگی با استفاده از اطلاعات موجود باید استخراج گرددند. در این فصل با استفاده از اطلاعات زمین‌شناسی و نتایج تفسیر نمودارهای تصویری، ورودی‌های لازم با استفاده از آنالیز شکستگی‌ها استخراج گردید. از جمله این آنالیز‌ها محاسبه شدت شکستگی‌ها، محاسبه دهانه شکستگی‌ها، آنالیز جهت‌گیری شکستگی‌ها، دسته-بندی شکستگی‌ها و در نهایت محاسبه چگالی شکستگی‌ها است. از آنجایی که شکستگی‌ها دارای چندین جهت آزمیوت مختلف در تمامی چاه‌ها هستند به صورت شکستگی‌های پراکنده تفسیر گردیده‌اند. بر اساس آنالیز جهت‌گیری شکستگی‌ها در سه چاه مورد مطالعه، شکستگی‌ها به سه دسته شکستگی N45 و N127 و N50 دسته‌بندی گردیدند. از چگالی شکستگی محاسبه شده جهت شناسایی بازه‌های شکستگی در هر یک از چاه‌ها و انطباق بین چاه‌ها استفاده گردیده است. همچنین تأثیر هر یک از رخساره‌ها بر ایجاد شکستگی‌ها نیز بررسی گردید و به طور کلی نتیجه‌گیری شد که با افزایش شیلی شدن، شکستگی‌ها نیز کاهش می‌یابند. به دلیل اهمیت شکستگی‌ها در جریان سیال به سمت چاه در این مطالعه ناحیه مورد مطالعه در چاه B به صورت شعاعی به اندازه سه سلول انتخاب گردید. در نهایت مدل‌های سه‌بعدی شکستگی‌ها در نرم افزار FRACAFLOW با استفاده از روش تصادفی شبکه گسسته شکستگی‌ها ساخته شده است. این مدل‌های تصادفی براساس توزیع جهت‌گیری (مقدار میانگین و پراکندگی شیب و آزمیوت)، مقادیر چگالی شکستگی محاسبه شده، دهانه شکستگی‌ها و طول آنها ساخته شده‌اند. در نهایت از آنالیز‌های دینامیکی جهت بررسی صحت آنالیز‌های انجام گرفته و مدل‌های ساخته شده و همچنین انطباق در چاه‌ها و کل مخزن انجام گرفته است. مطابق نتایج بدست آمده به طور کلی سه‌هم مشارکتی لایه‌هایی که دارای شکستگی هستند در تولید بیشتر بوده و به صورت کیفی می‌توان نتیجه گرفت که شکستگی‌ها در این لایه‌ها تا حدودی در تولید نقش دارند.

۵ فصل پنجم: نتیجه‌گیری و پیشنهادات

۱-۵ نتیجه‌گیری

- مخازن شکافدار طبیعی، مخازنی پیچیده و با هتروزنسی بسیار زیاد می‌باشند. برای تعیین خصوصیات شکستگی‌ها منابع کافی در دسترس نمی‌باشند و منابع موجود نیز دارای مقیاس-های مختلف با محدوده تغییرات متفاوت می‌باشند. از نتایج تفسیر نمودارهای تصویری (*FMI*) جهت آنالیز شکستگی‌ها و استخراج ورودی‌های لازم جهت مدل‌سازی شکستگی‌ها در یکی از میادین کربناته جنوب ایران استفاده گردید.
- شیب میانگین برای تمامی شکستگی‌ها ۶۰ درجه می‌باشد. اما شکستگی‌های مورد مطالعه شکستگی‌هایی با شیب زیاد بوده و دارای محدوده تغییرات بین ۶۰ تا ۸۰ درجه هستند.
- در چاه A، شکستگی‌های باز دارای روند غالب N35E بوده و محدوده تغییرات شیب شکستگی‌ها بین ۴۰ تا ۸۰ درجه با شیب میانگین ۶۱ درجه می‌باشند.
- اطلاعات شکستگی‌های باز در چاه B، دارای جهت‌گیری غالب در امتداد N34E هستند. همچنین دو روند دیگر نیز مشاهده گردیده که در امتداد N35E و N45E می‌باشند. محدوده تغییرات شیب شکستگی‌ها بین ۴۵ تا ۷۵ درجه می‌باشد. و شیب غالب برابر با ۶۲ درجه می‌باشد.
- شکستگی‌های باز در چاه C دارای پراکندگی زیاد هستند. اما دو روند غالب در این چاه N35E و N35W می‌باشند. شیب شکستگی‌ها متغیر بین ۴۰ تا ۸۰ درجه بوده و شیب میانگین برابر

با ۶۵ درجه می‌باشد.

• در مطالعه انجام شده فقط یک گسل در چاه A در بازه ۳۱۷۹-۳۱۷۹/۵ متری شناسایی شده

است که بر حسب نشانگرها یش به عنوان گسل محتمل می‌باشد.

• شدت شکستگی‌ها در هر سه چاه محاسبه گردیده است جدول (۱-۵). به طور کلی شدت

شکستگی‌ها بسیار پایین می‌باشد.

جدول ۱-۵ شدت شکستگی محاسبه شده در چاه‌های مورد مطالعه

شدت شکستگی (I/m)	چاه مورد مطالعه
۰/۲۲	A چاه
۰/۲۹	B چاه
۰/۰۶۴	C چاه

• چگالی شکستگی محاسبه شده در تمامی چاه‌ها مقدار کمی است. بیشتر شکستگی‌های باز

دارای اثر ناپیوستگی کمی بر روی تصاویر بوده و درنتیجه احتمال تأثیر شکستگی‌ها بر جریان

سیال پایین می‌باشد. میانگین چگالی محاسبه شده در هر یک از چاه‌ها در جدول (۲-۵) آمده

است. همچنین براساس انطباق چگالی محاسبه شده در چاه‌ها، لایه K4 دارای بیشترین تعداد

شکستگی می‌باشد و عمدۀ شکستگی‌ها در این لایه تمرکز یافته‌اند.

جدول ۲-۵ اطلاعات آماری چگالی شکستگی در چاههای مورد مطالعه

انحراف معیار چگالی(I/m)	متوسط چگالی(I/m)	چاه
۰/۴۱۷	۰/۵۱۴	A
۰/۵۱۹	۰/۶۱۴	B
۰/۳۴۷	۰/۴۴۵	C

- تأثیر رخساره‌ها بر تشکیل شکستگی‌ها نیز مورد بررسی قرار گرفته است. بر این اساس، چگالی شکستگی‌ها در هر یک از رخساره‌ها محاسبه شده است و رخساره‌های کربناته دارای بیشترین تأثیر بر ایجاد شکستگی‌ها هستند جدول (۳-۵).

جدول ۳-۵ اطلاعات آماری تأثیر رخساره‌ها در ایجاد شکستگی‌ها

انحراف معیار چگالی(I/m)	متوسط چگالی(I/m)	رخساره
۰/۵۱۶	۰/۶۲۹	سنگ آهک
۰/۳۶۴	۰/۴۵۷	دولومیت
۰	۰/۱۲۴	اندیریت
۰	۰	شیل

- براساس شباهت بین شیب و روند سیستم گسلش و شکستگی‌ها، احتمال دارد که در ناحیه مورد مطالعه شکستگی‌ها در ارتباط با سیستم گسلش باشند.

- براساس ارتباط بین شکستگی‌ها و روند لایه‌بندی، شکستگی‌های باز به دو نوع طولی و عرضی تقسیم شده‌اند. بخاطر اینکه شکستگی‌های عرضی دارای روند مایل نسبت به لایه‌بندی هستند در نتیجه ممکن است دارای نقش حیاتی در تولید گاز و آب باشند.
- از نتایج آزمایش‌های تولید جهت کالیبراسیون مدل و اعتبارسنجی آنالیزهای انجام شده استفاده گردیده است. بر اساس آنالیزهای دینامیکی انجام شده، لایه $k4$ دارای بالاترین سهم مشارکت در تولید بوده و لایه $k1$ در جایگاه بعدی مشارکت قرار دارد.
- با مقایسه نتایج آنالیز شکستگی‌ها و بدليل حضور شکستگی‌ها عمدتاً در لایه‌های $k4$ و $k1$ با نتایج آنالیزهای دینامیکی که نشانده‌های سهم تولیدی بیشتر این لایه‌ها در تولید هستند، می‌توان نتیجه گرفت که شکستگی‌های طبیعی در این لایه‌ها مسیرهای تراوا برای جریان سیال به سمت چاه هستند.
- مدل‌های تصادفی شبکه گسسته شکستگی براساس توزیع جهت‌گیری (مقدار میانگین و پراکندگی شیب و آزیموت)، مقادیر چگالی شکستگی محاسبه شده، دهانه شکستگی‌ها و طول آنها در چاه B ساخته شده است ($24-4$ ، $25-4$ و $26-4$). در این شکل‌ها جهت سهولت مشاهده شکستگی‌ها تنها شکستگی‌های قطع‌کننده چاه نمایش شده‌اند.
- همچنین مدل‌های تصادفی در ناحیه‌ی بین چاه‌ها نیز ساخته شده است ($29-4$ ، $30-4$ و $31-4$). در این شکل‌ها شکستگی‌ها بصورت بیضوی شکل در نظر گرفته شده‌اند.

۲-۵ پیشنهادات

- از آنجاییکه شکستگی‌های طبیعی دارای شیب با زاویه زیاد هستند از این‌رو اگر حفاری چاه‌ها

به صورت انحرافی و افقی انجام گیرد، احتمالاً چگالی شکستگی افزایش یافته و چاه نیز بسیاری از شکستگی‌های عمودی و نزدیک به عمود را قطع نماید. از این‌رو جهت ارزیابی تأثیر شکستگی‌ها بر پایداری چاه و تولید، پیشنهاد می‌شود که در چاه‌های انحرافی نمودارهای تصویری از جمله *FMI* رانده شوند.

- از آنجاییکه ادغام نتایج لاغ‌های تصویری و مغزه‌ها برای آنالیز شکستگی‌ها لازم و ضروری است، پیشنهاد می‌شود که مطالعات شکستگی بر روی مغزه‌ها انجام گیرد.
- بر این اساس که شکستگی‌ها در محدوده مورد مطالعه از نوع شیب زیاد می‌باشند، پیشنهاد می‌شود که مطالعات پایداری چاه برای چاه‌های افقی و چاه‌های با انحراف زیاد، انجام گیرد.
- از آنجاییکه چگالی شکستگی محاسبه شده در ناحیه مورد مطالعه، مقدار پایینی است، لذا برای ساختن مدل شبکه گسسته شکستگی توصیه می‌شود، از منابع بیشتری به طور همزمان استفاده شود.
- بدلیل اینکه، شکستگی‌ها بیشتر در لایه *K4* تمرکز دارند، برای مطالعات گسترده‌تر و آنالیز شکستگی‌ها توصیه می‌گردد که مدل شبکه گسسته شکستگی منحصرًا در این لایه انجام پذیرد.
- برای کالیبره کردن و اعتبارسنجی مدل‌های ساخته شده، لازم است که این مدل‌ها به وسیله نتایج آنالیزهای دینامیکی کالیبره گردند. لذا پیشنهاد می‌شود برای ساخت مدل‌های قابل اعتماد و با دقت، از تمامی داده‌های دینامیکی استفاده گردد.

منابع

تمام منابعی که در متن این پایان نامه از آن نام برده شده است اگر سال انتشار میلادی داشته باشند در بخش منابع انگلیسی و اگر دارای سال انتشار هجری شمسی باشند در بخش منابع فارسی گردآوری شده‌اند.

الف - منابع فارسی

- آذین ر، ۱۳۸۸، "آلودگی نفتی خلیج فارس"، انتشارات دانشگاه بوشهر، ۲۱۵ ص.
- خان محمدی م، شرکتی ش، ۱۳۸۹، "تحلیل شکستگی‌ها در میدان گازی پارس جنوبی"، ماهنامه "اکتشاف و تولید"، شماره ۷۷، صفحه ۴۳ تا ۴۹.
- محبی ع، شریفی م، شکیب م ص، قزوینی ا، (۱۳۹۰)" فناوری مطالعه و مدل‌سازی شکستگی‌ها در مخازن نفت و گاز (از زمین‌شناسی تا شبیه‌سازی مخزن)" ماهنامه اکتشاف و تولید، شماره ۸۳، صفحه ۲۰ تا ۲۶.
- ملایوسفی ا، باغبانان ع، فتحیان پور ن، (۱۳۹۰)" تعیین پارامترهای مدل‌سازی عددی شبکه درزه‌های مجزا با استفاده از داده‌های لاغ تصویری FMI" نشریه علمی-پژوهشی "مهندسی معدن" ، شماره ۱۱، دوره ۶، صفحه ۷۱ تا ۷۷.
- نجم آبادی س، ۱۳۷۲، "گزارش نهایی چاه شماره یک میدان X"، گزارش داخلی شرکت ملی نفت ایران.

ب - منابع انگلیسی

- Aali J., Rahimpour-Bonab H., Kamali M.R., (2006). *Geochemistry and origin of natural gas in world's largest non-associated gas field. Journal of Petroleum Science and Engineering* 50, 163-175.
- Ahmadhadi F., Lacombe O. & Daniel J.M., (2007), *Early Reactivation of Basement Faults in Central Zagros (SW Iran): Evidence from Pre-folding Fracture Patterns in Asmari Formation and Lower Tertiary Paleogeography, in Trust Belts and Foreland Basins, Springer, Chapter 11, Pages: 205-228.*
- Adlet S. Jambayev, (2013), *DISCRETE FRACTURE NETWORK MODELING FOR A CARBONATE RESERVOIR: Colorado School of Mines, MSc Thesis.*
- Al-Husseini M.I., (2000), *Origin of the Arabian Plate Structures; Amar Collision and najd Rift, GeoArabia, V.5, N.4, Pages: 527-541.*
- Beda G., Carugo C., (2001), “*Use of Mud Microloss Analysis While Drilling to Improve the Formation Evaluation in Fractured Reservoir*”, **SPE 71737**.
- Dershowitz W. S., (1984), “**Rock joint systems**”: Massachusetts Institute of Technology, Cambridge, Massachusetts, Ph.D. Thesis.
- Dershowitz W. S., Einstein H.H., (1988), *Characterizing Rock Joint Geometry with Joint System Models: Rock Mechanics and Rock Engineering*, v. 21, p. 21-51.
- Dershowitz W.S., Schrauf T.S., (1987), “*Discrete Fracture Flow Modeling With The Jinx Package*”, **American Rock Mechanics Association 87-0433**.
- Deutsch C.V. and Journel A.G. (1994) *The Application of Simulated Annealing to Stochastic Reservoir Modeling. SPE23565, Society of Petroleum Engineers Advanced Technology Series, 2(2).*

- Einstein H.H., Stephansson O., (2000), “Fracture system, fracture propagation and coalescence”: *An International Conference on Geotechnical and Geological Engineering*.
- *Fracflow user manual*
- Glowka D.A., Schafer, Leoppke G.E., Scot, D.D., Wernig M.D. And Wright E.K. (1992) *Lost Circulation Technology Development Status. CONF/920378 Proceeding of Department of Energy Geothermal Program Review X, San Francisco, USA*, pp.81-88.
- Hoffman B. T., Narr W., Li L., (2009), *Using PLT data to estimate the size of natural fractures: Paper SPE 121293 presented at the SPE Western Regional Meeting*, 24-26 March.
- Konert G., Affifi A.M., Al-Hajiri S.A. & Droste H.J., (2001), *Paleozoic Stratigraphy and Hydrocarbon Habitat of the Arabian Plate, GeoArabia, V.6, N.3*, Pages: 407-442.
- Luthi S. and Souhaite P. (1990) *Fracture apertures from electrical borehole scans. SEG Technical Program Expanded Abstracts 1990*: pp. 18-21.
- Narr W., Schechter D. S., Thompson L. B., (2006), *Naturally fractured reservoir characterization: Society of Petroleum Engineers*, p. 1.
- Narr W., Tankersley T., King G., Camerlo R., Zhumagulova A., Skalinski M., Pan Y., (2010), *Reservoir modeling to characterize dual porosity, Tengiz field, Republic of Kazakhstan: Paper SPE 139836 presented at the SPE Caspian Carbonates Technology Conference*, 8-10 November.
- National Research Council (1996), *Rock Fracture and Fluid Flow – Contemporary Understanding and Applications*. National Academy Press. Washington D.C., USA.
- Nelson R.A. (2001), “*Geological analysis of naturally fractured reservoirs*”, 2nd edition. Gulf Professional Publishing, U.S.A, 332 pages.
- Ogilvi, S.R., Wennberg O.P., Idling M., (2004), “*Geological evaluation of fractured hydrocarbon reservoirs: Guidelines*”, Statoil Internal Docs.

- Ozkaya S. I., (2003), *Fracture length estimation from borehole image logs: Mathematical Geology*, v. 35, no. 6, p. 737-753.
- Schlumberger., (1998), “**Log Interpretation Principles/Applications**”, Seven Printing. March Sugar Land, Texas 77478.
- Schlumberger., (1992), “**Fullbore formation microimager**”, Schlumberger education services.
- Schlumberger., (2007), “**Carbonate Reservoirs**”, Schlumberger education services.
- Shamsnia E., Tamimi M., (2001), “**Analysis of Fullbore Formation Micro Imager (FMI)**” Well A, Field X.
- Serra O., (1989), “**Formation MicroScanner Image Interpretation**”, Schlumberger Education Services.
- Tavakkoli M., Mohammadsadeghi M., ShaheabadZ A., Khajee S., Malakooti R., Safari Beidokhti M., (2009), “Deterministic versus Stochastic Discrete Fracture Network (DFN) Modeling, Application in a Heterogeneous Naturally Fractured Reservoir”, **SPE 127086**.
- Tran N.H., (2004), “**Characterization and Modeling Fractured Reservoir**”, PhD Thesis in Petroleum Engineering, School of Petroleum Engineering, The University of New South Wales, Sydney, Australia.
- Vincent H., Caumon G., (2009), “Stochastic Propagation of Discrete Fracture Networks”, **International Petroleum Technology Conference**, 14053.

Abstract

Natural fracture provides complex paths for fluid flow, and therefore affects reservoir characterization, reservoir performance and recovery factor. Studying and using fracture characteristics in reservoir is an important factor for optimizing reservoir performance. This study, addresses the issues of how to derive different information from various dynamic and static sources, analyzing these information and finally modeling natural fractures. Present study focused on one of the Iranian south carbonate reservoirs. This reservoir's petrology consists of limestone, dolomite, anhydrite, and shale facies in reservoir layers of Dalan and Kangan formations. In this thesis stochastic discrete fracture network simulation approach is used for deriving 3D fracture models. In order to extract inputs for DFN modeling using this method some necessary analyses of the fractures is required. These analyses include fracture intensity calculation in wells, fracture aperture calculation, fracture orientation analysis, classification of fractures in fracture sets and analysis of these sets orientation, calculating density log in each well, calculating fractures density in each rock facies and also studying the role of each facies on fracturing. The Fullbore formation microimager (FMI) interpretations of three wells A, B and C, have been used in this study. Wells A, B and C were logged over the intervals from 2812m to 3297m, 2731m to 3226m and 2836m to 3286m, respectively. Also, for dynamic analysis of natural fractures, the dynamic data of four wells, D, E, F and G, have been used. Computed fracture intensities in wells, A, B and C were 0.22 (1/m), 0.29 (1/m) and 0.064 (1/m), respectively. Fractures aperture in all wells is also computed and the mean aperture in wells A, B and C is equal to 0.02 (cm), 0.01 (cm) and 0.23 (cm), respectively. Generally, fractures in all wells show dispersion in their strike and dip. In well A, the open fractures dip at an average inclination of 60 degree. They exhibit a dominant strike trend of N35E. In well B, open fractures dip at an average inclination of 62 degree and they show dominant strike toward N20E. Open fractures in well C dip at an average inclination of 65 degree and the main strikes are N35E and N35W. In order to categorize fractures, the orientation of total fractures in three wells is analyzed simultaneously and fractures are categorized into three sets. Fracture density for each well was computed and equals to 0.417, 0.519 and 0.347 respectively to well A, B and C, and for each facies it was computed and its value for

limestone, dolomite, and anhydrite was 0.629, 0.457 and 0.127, respectively. And computed fracture density for shale was equal to zero. Dynamic analysis has been used for confirmation of fracture analyses. Based on dynamic analyses, the main contributor layers have more natural fractures. This result shows that fractures are distributed all over the reservoir especially in these layers. Finally, based on mean value of extracted information in each well and fracture set, 3D fracture models using discrete fracture network approach were built.

Key words: *naturally fractured reservoirs, discrete fracture network, fracture aperture, fracture density, fracture set*



Shahrood University of Technology

Faculty of Mining, Petroleum and Geophysics Engineering

Master of Science in petroleum Exploration Engineering

*Fracture modeling using discrete fracture network approach in
one of the Iranian south reservoirs*

Alamdar Faramarzi

Supervisors:

Dr B. Tokhmechi

Dr M. Ansari Jafari

September 2013